

Titanyum, Zirkonyum ve Lantanyum Esaslı Hidrojen Depolama Alaşımlarının  
Elektro-deoksidasyon Yöntemiyle Üretilimi ve Elektrot Performansının Belirlenmesi

Tuğba Orbay

**DOKTORA TEZİ**

Metalurji ve Malzeme Mühendisliği Anabilim Dalı

Aralık 2020

Production of Titanium, Zirconium and Lanthanum Based Hydrogen Storage Alloys by  
Electro-deoxidation Technique and Determination of Electrode Performance

Tuğba Orbay

**DOCTORAL DISSERTATION**

Department of Metallurgical and Materials Engineering

December 2020

**Titanyum, Zirkonyum ve Lantanyum Esaslı Hidrojen Depolama Alaşımlarının  
Elektro-deoksidasyon Yöntemiyle Üretilimi ve Elektrot Performansının Belirlenmesi**

**Tuğba ORBAY**

Eskişehir Osmangazi Üniversitesi  
Fen Bilimleri Enstitüsü  
Lisansüstü Yönetmeliği Uyarınca  
Metalurji ve Malzeme Mühendisliği Anabilim Dalı  
Malzeme Bilimi Bilim Dalında  
**DOKTORA TEZİ**  
Olarak Hazırlanmıştır

Danışman: Prof. Dr. Mustafa ANIK

Bu Tez ESOGÜ BAP tarafından “201215D04” no’lu proje çerçevesince desteklenmiştir

Aralık 2020

## **ETİK BEYAN**

Eskişehir Osmangazi Üniversitesi Fen Bilimleri Enstitüsü tez yazım kılavuzuna göre, Prof. Dr. Mustafa ANIK danışmanlığında hazırlamış olduğum “Titanyum, Zirkonyum ve Lantanyum Esaslı Hidrojen Depolama Alaşımlarının Elektro-deoksidasyon Yöntemiyle Üretilimi ve Elektrot Performansının Belirlenmesi” başlıklı Doktora tezimin özgün bir çalışma olduğunu; tez çalışmamın tüm aşamalarında bilimsel etik ilke ve kurallara uygun davranışımı; tezimde verdığım bilgileri, verileri akademik ve bilimsel etik ilke ve kurallara uygun olarak elde ettiğimi; tez çalışmamda yararlandığım eserlerin tümüne atıf yaptığımı ve kaynak gösterdiğim ve bilgi, belge ve sonuçları bilimsel etik ilke ve kurallara göre sunduğumu beyan ederim. 26/11/2020

Tuğba ORBAY

İmza

## ÖZET

Bu araştırmada, titanyum zirkonyum esaslı  $Ti_{0,5}Zr_{0,5}Ni$  ve  $Ti_{1,85}Zr_{0,15}Ni$  alaşımaları ile AB<sub>5</sub> tipi hidrojen depolama合金ası LaNi<sub>5</sub> ve La<sub>(1-x)</sub>Ti<sub>x</sub>Ni<sub>5</sub> (x: ; 0,33; 0,5) alaşımalarının elektro-deoksidasyon yöntemi ile üretimi ve elektrot performansının belirlenmesi incelenmiştir.

$Ti_{0,5}Zr_{0,5}Ni$  ve  $Ti_{1,85}Zr_{0,15}Ni$  alaşımaları CaCl<sub>2</sub> elektrolitinde 900°C'de elektro-deoksidasyon yöntemi ile sentezlenmiş ve sentezlenen合金ının elektrokimyasal hidrojen depolama özellikleri gözlenmiştir. X-ışını kırınım pikleri,  $Ti_{1,85}Zr_{0,15}Ni$ 合金ının için hazırlanan TiO<sub>2</sub>-ZrO<sub>2</sub>-NiO karışımındaki stokiyometrik oksitlerin 5 saatlik elektro-deoksidasyon işleminin sonunda Ti<sub>3</sub>O<sub>5</sub>, CaTiO<sub>3</sub>, CaZrO<sub>3</sub>, Ni ve Ti<sub>2</sub>O<sub>3</sub> yapılarının elde edildiğini göstermiştir. Elektro-deoksidasyon süresinin 10 saatte uzatılması, TiO oluşumlarına ve Ti<sub>2</sub>Ni fazına neden olmakla birlikte 24 saatlik elektro-deoksidasyondan sonra elde edilen合金ının denge Ti<sub>2</sub>Ni faz yapısıyla ve içindeki çözünmüş Zr'nin maksimum miktarı elde edildiği görülmüştür. Sentezlenen合金ının maksimum deşarj kapasitesi 200 mAhg<sup>-1</sup> elde edilmiştir. Şarj / deşarj çevrim sürelerinin artmasıyla birlikte deşarj kapasitesi ciddi miktarlarda azaldığı ve bu azalmanın açıklanabilmesi için çeşitli DOD'larda elde edilen EIS verilerine göre, Ti<sub>2</sub>Ni合金ının elektrot performansındaki hızlı bozulmanın, elektrot yüzeyindeki gelişmiş bariyer oksit katmanına bağlı olduğu görülmüştür.

AB<sub>5</sub> tipi hidrojen depolama合金ası, LaNi<sub>5</sub> elektro-deoksidasyon yöntemiyle üretilmiş ve deşarj kapasitesi 223 mAhg<sup>-1</sup> elde edilmiştir. LaNi<sub>5</sub>合金ının, deşarj kapasitenin artırılması amacıyla titanyum ilave edilerek elektro-deoksidasyon yöntemiyle üretilen La<sub>(1-x)</sub>Ti<sub>x</sub>Ni<sub>5</sub> (x: 0,33, 0,5) alaşımalarının deşarj kapasitesine katkı sağlamamıştır.

**Anahtar Kelimeler:** Elektro-deoksidasyon, hidrojen depolama, Ti-Ni alaşımaları, La-Ti-Ni alaşımaları.

## SUMMARY

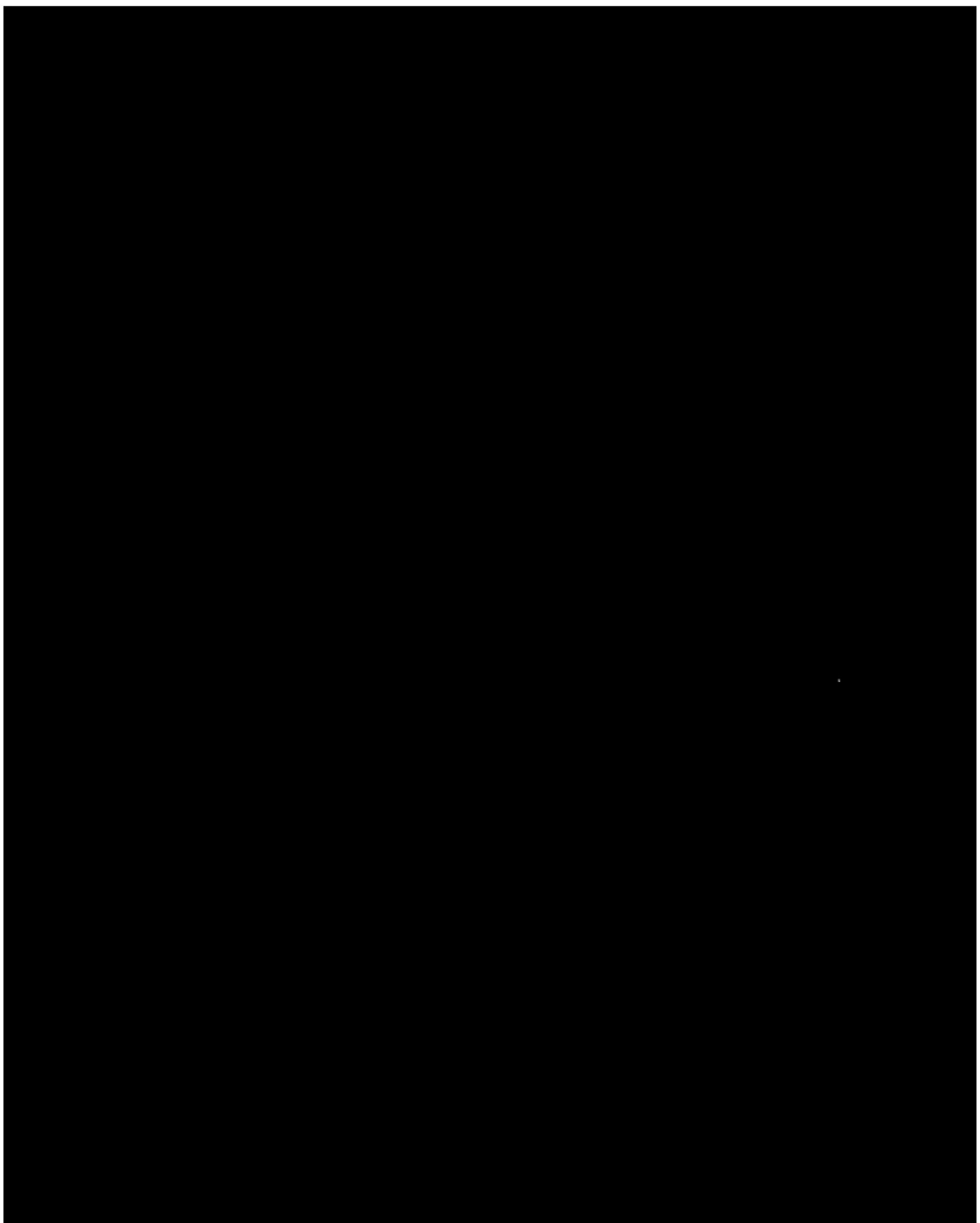
In this research, titanium-zirconium-based ( $Ti_{0.5}Zr_{0.5}Ni$  and  $Ti_{1.85}Zr_{0.15}Ni$ ) and AB<sub>5</sub> type hydrogen storage alloys ( $LaNi_5$  and  $La_{(1-x)}Ti_xNi_5$  ( $x: ; 0,33; 0,5$ )) were synthesized by the electrodeoxidation method and their hydrogen storage characteristics were determined

$Ti_{0.5}Zr_{0.5}Ni$  and  $Ti_{1.85}Zr_{0.15}Ni$  alloys were synthesized in the molten  $CaCl_2$  electrolyte at 900°C. The X-ray diffraction peaks indicated that the stoichiometric oxides in  $TiO_2-ZrO_2-NiO$  mixture reduced to  $Ti_3O_5$ ,  $CaTiO_3$ ,  $CaZrO_3$ , Ni and  $Ti_2O_3$  within 5 h electro-deoxidation process. Extension of the electro-deoxidation time to 10 h caused formations of  $TiO$  and equilibrium  $Ti_2Ni$  phase. After 24 h electro-deoxidation the target alloy consisted of equilibrium  $Ti_2Ni$  phase structure with the maximum amount of dissolved Zr was obtained. It was observed that the synthesized alloy had maximum discharge capacity of 200  $mAhg^{-1}$ . Upon increase in the charge/discharge cycles, however, the discharge capacity decayed sharply. According to the gathered EIS data at various depth of discharges, the rapid degradation in the electrode performance of  $Ti_2Ni$  alloy was attributed to the development of the barrier oxide layer on the electrode surface.

$LaNi_5$ , which is AB<sub>5</sub> type hydrogen storage alloy, was synthesized by electrodeoxidation method and it showed 223  $mAhg^{-1}$  discharge capacity. Replacing the part of La with Ti  $La_{(1-x)}Ti_xNi_5$  ( $x: 0,33, 0,5$ ) however, did not contribute to the hydrogen storage performance of this alloy.

**Keywords:** Electro-deoxidation, Hydrogen storage, Ti-Ni alloys, La-Ti-Ni alloys.

**TEŞEKKÜR**



## İÇİNDEKİLER

	<u>Sayfa</u>
<b>ÖZET .....</b>	<b>vi</b>
<b>SUMMARY .....</b>	<b>vii</b>
<b>TEŞEKKÜR .....</b>	<b>viii</b>
<b>İÇİNDEKİLER .....</b>	<b>ix</b>
<b>ŞEKİLLER DİZİNİ .....</b>	<b>xi</b>
<b>ÇİZELGELER DİZİNİ .....</b>	<b>xvi</b>
<b>1. GİRİŞ VE AMAÇ .....</b>	<b>1</b>
<b>2. ELEKTRODEOKSİDASYON PROSESİ .....</b>	<b>4</b>
2.1. Elektro-Deoksidasyon Proses Parametreleri .....	5
2.1.1. Elektrolit seçimi .....	5
2.1.2. Termodinamik ve mekanik hususlar .....	6
2.1.3. Sıcaklık .....	10
2.1.4. Uygulanan potansiyel .....	11
2.1.5. Elektro-deoksidasyon süresi .....	11
2.1.6. Pota ve elektrot seçimi .....	11
2.2. Elektro-deoksidasyon Mekanizması .....	13
2.3. Üç Faz Ara Hattı .....	14
2.4. Elektro-deoksidasyon Prosesinin Avantajları .....	20
2.5. Elektro-deoksidasyon Deneylerinde Çevrimsel Voltametri .....	22
<b>3. HİDROJEN DEPOLAMA .....</b>	<b>23</b>
3.1. Nikel-Metal Hidrür Piller .....	23
3.2. Hidrojen Depolama Alaşımları .....	25
3.3. Titanyum eklenmesinin Hidrojen Depolama Alaşımlarına Etkisi .....	29
<b>4. LİTERATÜR ARAŞTIRMASI .....</b>	<b>31</b>
4.1. Elektro-deoksidasyon Yöntemiyle Alaşım Üretimi .....	31
<b>5. MATERYAL VE YÖNTEM .....</b>	<b>41</b>
5.1. Elektro-deoksidasyon Deney Tasarımı .....	41

## İÇİNDEKİLER (Devam)

	<u>Sayfa</u>
5.1.1. Metal oksit peletlerin hazırlanması .....	42
5.1.2. Elektrolitin hazırlanması .....	43
5.1.3. Ön elektroliz ve elektro-deoksidasyon deney koşulları .....	43
5.1.4. Numunelerin temizlenmesi .....	45
5.1.5. Hidrojen depolama .....	45
5.1.6. Karakterizasyon.....	46
<b>6. BULGULAR VE TARTIŞMA .....</b>	<b>47</b>
6.1. $Ti_{0,5}Zr_{0,5}Ni$ Alaşımının Elektro-deoksidasyon Yöntemiyle Üretimi .....	47
6.1.1. Ergimiş tuz elektrolizi .....	47
6.1.2. $Ti_{0,5}Zr_{0,5}Ni$ alaşımının yapısal ve morfolojik gelişimi .....	49
6.2. $Ti_{1,85}Zr_{0,15}Ni$ Alaşımının Elektro-deoksidasyon Yöntemiyle Üretimi.....	55
6.2.1. Ergimiş tuz elektrolizi .....	56
6.2.2. $Ti_{1,85}Zr_{0,15}Ni$ alaşımının yapısal ve morfolojik gelişimi .....	57
6.2.3. Üretilen $Ti_{1,85}Zr_{0,15}Ni$ alaşımın hidrojen depolama karakteristikleri .....	60
6.3. $LaNi_5$ Alaşımının Elektro-deoksidasyon Yöntemiyle Üretimi .....	63
6.3.1. Ergimiş tuz elektrolizi .....	63
6.3.2. $LaNi_5$ alaşımının yapısal ve morfolojik gelişimi .....	65
6.3.3. $LaNi_5$ alaşımının hidrojen depolama özellikleri .....	70
6.4. $La_{0,5}Ti_{0,5}Ni_5$ ve $La_{0,67}Ti_{0,33}Ni_5$ Alaşımlarının Elektro-deoksidasyon Yöntemiyle Üretimi.....	71
6.4.1. $La_{0,5}Ti_{0,5}Ni_5$ alaşımının yapısal ve morfolojik gelişimi.....	72
6.4.2. $La_{0,67}Ti_{0,33}Ni_5$ alaşımının yapısal ve morfolojik gelişimi.....	77
6.4.3. $LaNi_5$ ve $La(Ti_xNi_{1-x})_5$ ( $x: 0,33; 0,5$ ) Alaşımlarının Hidrojen Depolama Karakteristikleri.....	82
<b>7. SONUÇ VE ÖNERİLER.....</b>	<b>84</b>
<b>KAYNAKLAR DİZİNİ.....</b>	<b>86</b>
<b>ÖZGEÇMİŞ .....</b>	<b>98</b>

## ŞEKİLLER DİZİNİ

<u>Sekil</u>	<u>Sayfa</u>
2.1. FFC Cambridge prosesinin şematik resmi. ....	5
2.2 FFC Cambridge prosesi için deney tasarımları. a)Peletler herhangi bir tele bağlı olmadan titanyum potanın zemininde, b)Peletler metal tele bağlı olarak potaya temas etmeden ergimiş tuzun içerisinde grafit potada, c) Peletler metal çubuğa bağlı bir metal kutunun içerisine yerleştirilmiş ergimiş tuzun içerisinde grafit potada, d) Pelet Mo Meş sarılı durumda tele bağlanmış şekilde ergimiş CaCl <sub>2</sub> banyosunda inert anot kullanılmış durumda. ....	12
2.3 Silindirik oksit peletin üç faz ara hattı ilerleme mekanizmasının şematik gösterimi. a) ergimiş tuz içerisinde daldırılan tele bağlı oksit pelet b) tel merkezinden yüzey boyunca üç faz ara hattının ayılması maksimum akıma ulaşılana kadar c) pelet içinde üç faz ara hattının ilerlemesi (akımın düz olduğu konum).....	15
2.4 Metal oksit ve elektrolit ara yüzeyindeki elektron ve oksijen transferi (3PI) .....	17
2.5 Metal oksidin elektro indirgenmesinde oksit yüzey alanının yeniden oluşumu metal atomlarının yerleşmesinin şematik gösterimi.....	17
2.6 Metal oksit tanelerinin devamlı ve ardışık metalleşmesinin şematik gösterimi.....	18
2.7.(a)Elektro-deoksidasyon deney sonrası ergimiş tuzun üstten fotoğrafı (b)Katlaşmış ergimiş tuzun yüzeyindeki karbonun optik mikroskop görüntüsü (c) CaO <sub>2</sub> Grafit anotta büyüyen CO <sub>2</sub> kabarcıklarının oluşturduğu döküntü (d) Erimiş CaCl <sub>2</sub> çözeltisinde bir metal oksidin (MO <sub>x</sub> ) elektro-deoksidasyonu sırasında hem gaz hem de sıvı fazlar yoluyla anottan katoda karbon taşınması mekanizması. ....	20
2.8.LaNi <sub>5</sub> alaşımı için geleneksel ve elektro-deoksidasyonla üretiminin karşılaştırılması .....	21
3.1 (a) Ni-MH pil mekanizması elektrokimyasal reaksiyonlarının, (b) Elektrokimyasal yük transferi sonucu hidrür oluşum ve ayrışma işlemi şematik gösterimi.....	25
3.2.LaNi <sub>5</sub> yüzey fazlarının şematik gösterilmesi.....	28

## ŞEKİLLER DİZİNİ (Devam)

<u>Sekil</u>	<u>Sayfa</u>
4.1.Na <sub>2</sub> Ti <sub>3</sub> O <sub>7</sub> 'nin akım-zaman grafiği. (b)Ergimiş CaCl <sub>2</sub> çözeltisi içerisinde Na <sub>2</sub> Ti <sub>3</sub> O <sub>7</sub> 'nin elektro-deoksidasyonun ilerlemesinin şematik gösterimi.....	39
4.2.Ergimiş CaCl <sub>2</sub> çözeltisi içerisinde Na <sub>2</sub> Ti <sub>3</sub> O <sub>7</sub> 'nin elektro-deoksidasyonun işleminin şematik gösterimi .....	39
5.1. (a) Elektro-deoksidasyon deney tasarımı b) Hücre görüntüsü c) Pota görüntüsü. ....	41
5.2. a) Sinterlenmiş numuneler b) sinter numunesi yakın görüntüsü      c)sinter sonrası deneye hazır katot tasarımı. ....	42
5.3. Elektro-deoksidasyon deneylerinde kullanılan elektrolitin çalışma sıcaklığına ilterleyen kurutma adımları. ....	43
5.4. Kuvars hücre şematik gösterimi. ....	44
5.5.Hidrojen Depolama Deney Düzeneği (Gamry model Referans 3000 potansiyostat/galvanostat unite ve üç elektrotlu hücre). ....	46
6.1. (a) Ti <sub>0,5</sub> Zr <sub>0,5</sub> Ni Alaşımının ön elektroliz işleminde (b) 24 saatlik elektro deoksidasyon işleminde elde edilen akım – zaman eğrisi.....	48
6.2. Sinterlenmiş numune, 1 saat ve 3 saat elektro-deoksidasyon'a uğratılmış numunelere ait X-Işın desenleri. ....	50
6.3. 6 saat ve 9 saat elektro-deoksidasyon'a uğratılmış numunelere ait X-Işın desenleri. ...	51
6.4. 12 saat, 18 saat ve 24 saat elektro-deoksidasyon'a uğratılmış numunelere ait X-Işın desenleri. ....	51
6.5. (a) 700°C'de Ti-Zr-Ni üçlü faz diyagramı. (b) NiTi-NiZr diagramın bir bölümü.....	52
6.6. Toz morfolojileri: (a) Sinterlenmiş numune ile (b) 3 saat (c) 6 saat .....	53
6.7. Elektro-deoksidasyon deneylerinde a) deney öncesi b) deney sonrası potanın görünümü. ....	54
6.8. (a) NiTi <sub>2</sub> – NiZr <sub>2</sub> faz diyagramı. (b)700°C için Ti-Zr-Ni üçlü faz diyagramı .....	55

## ŞEKİLLER DİZİNİ (Devam)

<u>Sekil</u>	<u>Sayfa</u>
6.9. Ti <sub>1,85</sub> Zr <sub>0,15</sub> Ni Alaşımının (a) Ön elektroliz işleminde (b) 24 saatlik elektro-deoksidasyon işleminde elde edilen akım – zaman eğrisi.....	56
6.10. Sinterlenmiş numune, 1 saat ve 5 saat elektro-deoksidasyon'a uğratılmış numunelere ait X-ışın desenleri. ....	57
6.11. 10, 15 ve 24 saat elektro-deoksidasyon'a uğratılmış numunelere ait X- ışın desenleri. ....	58
6.12. Toz morfolojileri: (a) Sinterlenmiş numune ile (b) 24 saat elektro-deoksidasyon uygulanmış numuneler. ....	60
6.13. elektro-deoksidasyonla üretilen Ti <sub>2</sub> Ni alaşımının şarj deşarj çevrim sayısına bağlı olarak deşarj kapasitesindeki değişim. ....	61
6.14. 24 saat elektro-deoksidasyon uygulanan numunelerin deneysel ve hesaplanmış empedans grafikleri. ....	62
6.15. Lantanyum-Nikel ikili faz diyagramı (Okatamo, 2020). ....	63
6.16. (a) Ön elektroliz işleminde elde edilen akım – zaman eğrisi (b) 20 saatlik elektro-deoksidasyon işleminde elde edilen akım – zaman eğrisi. ....	64
6.17. 1200°C'de farklı sürelerde uygulanan sinter işleminin XRD sonuçları. ....	65
6.18. Sinterlenmiş numune ile 2, 4 ve 6 saat elektro-deoksidasyon uygulanan numunelerin X-ışın desenleri. ....	67
6.19. 8, 10, 15 ve 20 saat elektro-deoksidasyon uygulanan numunelerin X-ışını desenleri. ....	67
6.20. 830°C'de elektro-deoksidasyon işlemi uygulanan LaNi <sub>5</sub> alaşımının; (a) 1200 °C'de 2 saat sinterlenmiş, (b) 2 saat, (c) 6 saat, (d) 10 saat, (e) 15 saat ve (f) 20 saat elektro-deoksidasyon işlemi uygulanan numunelerin SEM görüntüleri. ....	68

## ŞEKİLLER DİZİNİ (Devam)

<u>Sekil</u>	<u>Sayfa</u>
6.21. (a) Sinterlenmiş ve (b) 20 saat elektro-deoksidasyon numunelerinin EDS sonuçları.....	69
6.22. 20 saat elektro-deoksidasyonla üretilmiş LaNi <sub>5</sub> alaşımının 1, 7, 13 ve 30 çevrimlerdeki şarj/deşarj eğrileri.....	70
6.23. LaNi <sub>5</sub> alaşımının elektro-deoksidasyon yöntemiyle sentezleme adımları.....	71
6.24. Lantanyum-Titanyum-Nikel üçlü faz diyagramı .....	72
6.25. La <sub>0,5</sub> Ti <sub>0,5</sub> Ni <sub>5</sub> alaşımının elektro-deoksidasyon yöntemiyle sentezleme adımları. ....	74
6.26. Sinterlenmiş numune ile 2, 4 ve 6 saat elektro-deoksidasyon uygulanan numunelerin X-ışın desenleri.....	74
6.27. 10, 15 ve 20 saat elektro-deoksidasyon uygulanan numunelerin X-ışın desenleri....	75
6.28. (a) 2 saat (b) 4 saat elektro-deoksidasyon uygulanmış La <sub>0,5</sub> Ti <sub>0,5</sub> Ni <sub>5</sub> kesit deney numunesinin taramalı elektron mikroskopu görüntüsü.....	75
6.29. Toz morfolojileri: (a) Sinterlenmiş numune ile (b) 2 saat (c) 4 saat (d) 8 saat (e) 15 saat ve (f) 20 saat elektro-deoksidasyonla uğratılmış numuneler. ....	76
6.30. Sinterlenen La <sub>0,5</sub> Ti <sub>0,5</sub> Ni <sub>5</sub> ve La <sub>0,67</sub> Ti <sub>0,33</sub> Ni <sub>5</sub> alaşımlarının X-ışın desenleri.....	77
6.31. 2, 4 ve 6 saat elektro-deoksidasyon uygulanan numunelerin X-ışın desenleri.....	79
6.32. 10, 15, 20 saat elektro-deoksidasyon uygulanan numunelerin X-ışın desenleri. ....	79
6.33. La <sub>0,67</sub> Ti <sub>0,33</sub> Ni <sub>5</sub> alaşımının elektro-deoksidasyon yöntemiyle sentezlemesinin şematik gösterimi.....	80
6.34. La <sub>(1-x)</sub> Ti <sub>x</sub> Ni <sub>5</sub> (x: 0, 0,33, 0,5) Alaşımlarının Elektro-deoksidasyon Yöntemiyle Üretiminde Sinter Fazlarının Karşılaştırılması. ....	81
6.35. La <sub>(1-x)</sub> Ti <sub>x</sub> Ni <sub>5</sub> (x: 0, 0,33, 0,5) Alaşımının Elektro-deoksidasyon Yöntemiyle Üretiminde 20 saatlik Elektro-deoksidasyon Sonucunda Oluşan Fazların Karşılaştırılması. ....	81

**ŞEKİLLER DİZİNİ (Devam)**

<u>Sekil</u>	<u>Sayfa</u>
6.36. 20 saat elektro-deoksidasyon sonucunda üretilen LaNi <sub>5</sub> , La <sub>0,5</sub> Ti <sub>0,5</sub> Ni <sub>5</sub> ve La <sub>0,67</sub> Ti <sub>0,33</sub> Ni <sub>5</sub> alaşımlarının şarj-deşarj çevrim sayısına bağlı deşarj kapasiteleri..... 83	

## ÇİZELGELER DİZİNİ

<u>Cizelge</u>	<u>Sayfa</u>
2.1. 900°C'de ergimiş CaCl <sub>2</sub> çözeltisi içerisinde elektrot potansiyelleri (Ca/Ca+2) .....	8
3.1. AB <sub>5</sub> -tip hidrojen depolama alaşımlarından bazlarının hidrojen depolama kapasiteleri.....	26
3.2. Elementlerin AB <sub>5</sub> tip hidrojen depolama alaşımlarının üzerindeki etkileri. ....	28
6.1. Farklı sitokiyometrideki Ti-Zr-Ni alaşımlarının elektro-deoksidasyon işlemi sonucunda süreye bağlı oluşan fazlar. ....	59
6.2. LaNi <sub>5</sub> alaşımının elektro-deoksidasyon işlemi sonucunda süreye bağlı oluşan fazlar. ....	71
6.3. La <sub>0,5</sub> Ti <sub>0,5</sub> Ni <sub>5</sub> ve La <sub>0,67</sub> Ti <sub>0,33</sub> Ni <sub>5</sub> alaşımının elektro-deoksidasyon işlemi sonucunda süreye bağlı oluşan fazlar. ....	82

## SİMGELER VE KISATMALAR DİZİNİ

<u>Simge</u>	<u>Açıklama</u>
V	Volt
h	Saat
Å	Angstrom
M	Molar
% at.	% atomik
% wt.	% ağırlık

<u>Kısaltmalar</u>	<u>Açıklama</u>
XRD	X-Işını Kırınımı
SEM	Taramalı Elektron Mikroskopu
CV	Çevrimsel Voltametri
EDX	Enerji Dağılım Spektrometresi
PEG	Polietilen glikol
PVA	Polivinil alkol
JCPDS	Toz Kırınım Standartları Birleşik Komitesi
ICDD	Uluslararası Kırınım Veri Merkezi
EIS	Elektrokimyasal Empedans Spektroskopisi
DOD	Deşarj Derinliği
3PI	Üç Faz Ara Hattı
PRS	Gözeneklilik Modeli

## 1. GİRİŞ VE AMAÇ

Enerji, nasıl kullanıldığı nasıl karşılandığı ve nasıl elde edildiği gibi önemli başlıklarla sürdürülebilir kalkınma hedefine ulaşmada ciddi bir yere sahip olmakla birlikte; özellikle toplumlarım enerji ihtiyacının karşılanmasında hangi enerji kaynaklarının kullanıldığı ekonomik ve çevresel açıdan ciddi önem taşımaktadır. Hidrojen enerjisi pek çok yönden bakıldığından önemli bir alternatif olarak değerlendirilmektedir (Aslan v.d, 2008). Hidrojen temiz bir yakıt olması, ısıl değeri günümüzde yaygın kullanılan petrolden üç kat daha yüksek olmasına rağmen, üretim maliyeti pek çok yakıt kaynağından oldukça fazladır. Bu sebeple yakıt olarak kullanılacak hidrojenin depolama yönteminin düşük maliyetli olması istenilmektedir (Zhou.,2005).

Yakın gelecekte fosil enerji kaynaklarının tükenebileceği düşüncesiyle, mevcut metalurji endüstrisinin büyük ölçüde minerallerin kendi metallerine karbotermik olarak indirgenme işlemine dayanması gibi sebeplerle, gelecekte düşük maliyetli karbon elde edilememesile birlikte (örneğin kömür ve doğal gaz) metal üretiminin, pahalı ve karşılaşamaz hale geleceğini düşündürmektedir. Dünyada üretimin devam edebilmesi, metal tedarikinin sürdürülebilirliğinin sağlanmasıyla mümkün olmaktadır. Yenilenebilir kaynaklardan yararlanabilen alternatif süreçler geliştirilmesine ihtiyaç duyulmaktadır. (Metal oksit bazlı minerallerin karbotermik indirgenmesinde kullanılan karbon iki işlevi bulunmaktadır. Birincisi, mineralleri metallere indirmek için gereken elektronları sağlamaktadır ve ikincisi indirmeyi sağlamak için enerji (ısı) sağlamak için oksijen ile reaksiyona girmektedir. Metal oksitlerin indirgenmesinde kullanılan karbonun bu iki rolü, yenilenebilir enerjilerin elektriğe dönüştürülmesinin doğrudan ürünü olan elektronlar tarafından sağlanabilmektedir. Başka bir deyişle, yenilenebilir çağda tamamı olmasa bile, pek çok karbotermik indirmeye süreçleri doğrudan veya dolaylı elektrolitik süreçlerle değiştirileceği yapılan çalışmalarla desteklenmektedir (Chen., 2013).

Hidrojen gaz, sıvı ve katı halde depolanabilmektedir. Havadan hafif olan hidrojen gazını depolamak için çok büyük depolama gereçlerinin gerekli olduğu açıktır. Bu nedenle çok yüksek basınç altında depolamak en makul yol olarak görülmektedir. Ancak yüksek seviyede güvenlik tedbirlerini de beraberinde gerektirmektedir. Sıvılaştırılmış hidrojen kullanımı hem depolama hacmi hem de kolay taşınım açısından çok daha avantajlıdır. Bununla birlikte hidrojenin sıvılaştırılabilmesi için çok fazla enerji harcanması gerekmektedir ve uzay programı gibi ekonominin ikinci planda tutıldığı alanlarda tercih edilmektedir (Winter, 2009).

Hidrojenin katı halde depolanması hiçbir güvenlik tedbiri gerektirmediği için diğer iki yöntemde göre daha avantajlıdır. Bazı metallerle hidrojen reaksiyonu girerek metal hidrür oluşturmaktadır. Metal hidrür oluşum sürecinde çok küçük boyutlu atomik hidrojen metalin kristal yapısına yayılmakta ve böylece metal bünyesinde depolanmış olmaktadır.

Hidrojen depolamada yüksek hidrojen depolama kapasiteleri sebebiyle, metal hidrürler ön plana çıkmaktadır. Ancak şarj edilebilir nikel-metal hidrür (Ni-MH) pillerde, nikel elektrot pil kapasitesini belirlemektedir (Zhao vd., 2009; Garche, 2009). Ni-MH piller arasında AB<sub>5</sub> (CaCu<sub>5</sub> tipi) hidrojen depolama alaşımaları ile ilgili literatürde pek çok çalışma bulunmaktadır (Wronski vd., 2001; Cuevas vd., 2001; Zhou vd., 2013; Liang vd., 2001; Song vd., 2015; Tliha vd., 2014; Slepški v d., 2009; Kim vd., 1999; Ovshinsky ve Fetcenko, 2001; Wang vd., 2008; Ruiz vd., 2010; Han vd., 2005). AB<sub>5</sub> tipi hidrojen depolama metal hidrürlerinin deşarj kapasitesi teorik olarak 372 mAsg<sup>-1</sup> hesaplanmaktadır (Zhang vd., 2006). AB<sub>5</sub> tipi hidrojen depolama alaşımalarının gerçekte bundan çok daha düşük kapasitelere sahip olmaları sebebiyle, LaNi<sub>5</sub> hidrojen depolama alaşımına Al, Co, Mn, Ti, Mo, Fe metallerinin ilavesiyle elde edilen alaşımın hidrojen depolama kapasiteleri ve çevrim kararlılıklarının geliştirilmesi amaçlanmaktadır.

Elektrometalurji, minerallerden metal elde edilmesinde yaygın olarak kullanılan pirometalurji yöntemi ile karşılaştırıldığında (özellikle karbotermik indirgeme yoluyla), pek çok açıdan avantajlı olduğu düşünülmektedir. Bu avantajlar; daha basit bir cihaz gereksinimi, daha fazla işlem verimliliği, ürün kalitesinin kontrol edilmesi ve daha düşük çevresel etkileri olarak açıklanmaktadır. Ancak elektrometalurjik yollardan metal eldesinin en önemli dezavantajı, tüm elektrolitik süreçlerin daha yüksek bir enerji girdisi gerektirmesidir. Diğer bir dezavantaj, mevcut tüm elektrolitik işlemlerin belirli bir metale özgü olduğunu düşündürmesine rağmen, 1997 yılında yeni geliştirilen FFC Cambridge prosesi (Fray, Farthing ve Chen), pek çok metal oksidin doğrudan indirgenmesine ve böylece metal elde edilmesine olanak sağlamaktadır (Chen ve Fray, 2001; Chen, 2013; Chen ve Fray, 2001 b; Alexander vd., 2011, Burheim ve Haarberg, 2010).

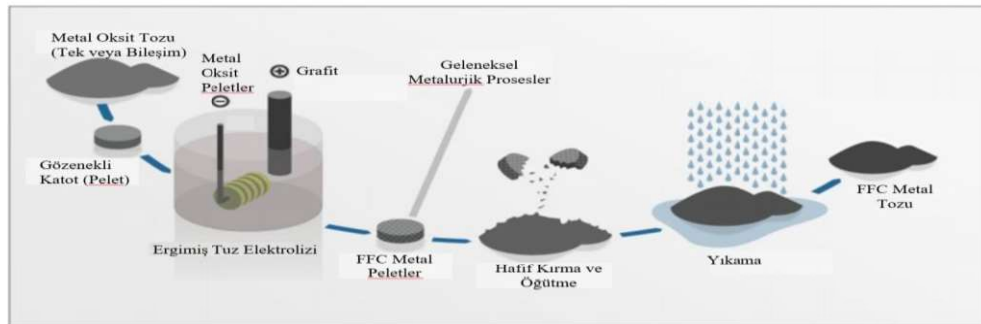
Bu çalışmada,  $Ti_{0,5}Zr_{0,5}Ni$  ve  $Ti_{1,85}Zr_{0,15}Ni$  ve AB<sub>5</sub> tipi LaNi<sub>5</sub>, La<sub>x</sub>Ti<sub>1-x</sub>Ni<sub>5</sub> (x: ; 0,33; 0,5) hidrojen depolama alaşımlarının elektro-deoksidasyon yöntemiyle üretilmesi ve elektrot performansının belirlenmesi amaçlanmaktadır.  $Ti_{0,5}Zr_{0,5}Ni$  ve  $Ti_{1,85}Zr_{0,15}Ni$  ve LaNi<sub>5</sub>, La<sub>x</sub>Ti<sub>1-x</sub>Ni<sub>5</sub> (x: ; 0,33; 0,5) alaşımlarının elektro-deoksidasyon yöntemiyle üretimi indirgenme mekanizmaları yardımıyla açıklanmıştır. Çalışmada kullanılan alaşımların tamamı elektro-deoksidasyon yöntemi kullanılarak ilk defa üretilmiştir. Çalışma toplam altı bölümden oluşmaktadır. Birinci bölümde çalışma hakkında genel giriş ve amacı açıklanmış, ikinci bölümde elektro-deoksidasyon yöntemi, mekanizmasının yanı sıra hidrojen depolama anlatılmaktadır. Üçüncü bölümde tez ile ilgili yapılan literatür çalışmaları özetlenmiştir. Dördüncü bölümde tezin konusunu oluşturan elektro-deoksidasyon yönteminde materyal ve metod anlatılmıştır. Beşinci bölümde çalışmanın amacını oluşturan alaşımların elektro-deoksidasyon yöntemiyle üretilmesi indirgenme mekanizmaları ve hidrojen depolama özellikleri açıklanmıştır. Altıncı bölümde çalışmanın sonuçları maddeler halinde özetlenmiştir.

## 2. ELEKTRODEOKSIDASYON PROSESİ

Genel anlamda 1998 yılında patenti alınan FFC Cambridge prosesi, ergimiş tuz içerisinde metal oksidin metalik hale indirgenmesi içeren yeni bir elektrolitik yöntemdir. Başlangıçta titanyum metali için geliştirilen elektro-deoksidasyon prosesi, yapılan çalışmalar sonucunda krom, tantalyum, silisyum, kobalt, molibden, vanadyum, tungsten ve niyobyum gibi diğer metal oksit tozlarının da üretilebileceği göstermiştir. (J.Fenn vd.,2004; Chen vd.,2000; Hu vd., 2019; Chen vd, 2020; Liu vd.,2019; Vishnu vd., 2015; Bin vd., 2011; Hu vd., 2017; Chen vd., 2004, Chen, 2014).

Reaktif metallerin çoğunun elde edilebilmesi yöntemleri pahalı ve karmaşık proseslerden oluşmaktadır. Titanyumun parlak, mukavemetli ve korozyon direncinin yüksek olması nedeniyle üretim yöntemi oldukça karmaşık ve maliyetli olmaktadır. Titanyumun günümüzde yaygın üretim yöntemi pirometalurjik bir yöntem olan Kroll yöntemidir (Chen vd.,2000; Fray ve Chen, 2004; Mohandas, 2013).

1950'lerde Kroll prosesi dünyada ilk olarak titanyum üretimi için geliştirilmiştir (Burheim O. ve Haarberg G.M., 2010). Bundan sonraki 40 yıl boyunca ise daha ucuz bir prosesin geliştirilebilmesi için araştırmacılar milyon dolarlar harcanmıştır. FFC Cambridge prosesi 1990'ların sonuna doğru Cambridge Üniversitesi Malzeme Bölümü öğretim görevlileri Derek Fray, Tom Farthing ve George Chen tarafından geliştirilen ve isimlerin baş harfleriyle patenti alınan işlemde ilk olarak titanyum yüzeyindeki oksit filminin uzaklaştırılması daha sonrasında yapılan çalışmalarda da ergimiş tuz elektrolizi işlemiyle doğrudan titanyum oksidin titanyuma indirgendiğini göstermektedir ( J.Fenn vd.,2004; Chen, 2014).



Şekil 2.1. FFC Cambridge prosesinin şematik resmi (Grainger L., 2014).

FFC Cambridge prosesinde mineral tozları (metal oksit, sülfür vd.) gözenekli pelet haline getirilir katot olarak bağlanır, uygun bir anot ile birlikte ergimiş tuz banyosuna yerleştirilir. Yüksek sıcaklıkta, elektrolitin termodinamik ayrışma potansiyelinden daha düşük, metal oksidin ayrışma potansiyelinden daha yüksek bir potansiyel uygulanır. Katottaki katı peletin yüzeyinden başlayarak metal oksidin indirgenmesi sağlanır ve katotta metal elde edilir (Chen G. Z.,2014; Chen vd.,2000; Fray ve Chen, 2004; Mohandas, 2013; Tripathy vd., 2007).

## 2.1. Elektro-Deoksidasyon Proses Parametreleri

### 2.1.1. Elektrolit seçimi

Elektrolitik işlemlerin pek çoğu olduğu gibi, FFC Cambridge prosesi de ergimiş tuz banyosu içerisinde 3 adımda gerçekleşmektedir. Birinci adımda sadece geniş bir sıcaklık aralığında iyonik akım iletilmez bunun yanında elektrokimyasal indirgenmenin gerçekleşerek katotta bulunan yapıdaki  $O^{2-}$ ,  $S^{2-}$  ya da  $Cl^-$  iyonlarının uzaklaşması sağlanmaktadır. İkinci olarak, elektro-deoksidasyon işlemi sırasında elektrolitin çözünmemesi gerekmektedir. Son olarak, elektrolitin ayrışma potansiyeli katottaki katı bileşigin indirgenme potansiyelinden daha yüksek olması gerekmektedir(Chen G. Z.,2013). FFC Cambridge prosesi ergimiş tuz ortamında gerçekleştirilir ve çalışma sıcaklığı kullanılan tuzun ergime sıcaklığının üzerinde seçilmesi (genellikle 800-1100 °C) zorunluluğu bulunmaktadır (Oosthuizen, 2011).

Elektrokimyasal deoksidasyon prosesinde  $\text{CaCl}_2$ ,  $950^\circ\text{C}$ 'de  $\text{TiO}_2$ 'nin indirgenmesi için seçilen ilk elektrolittir (Chen vd., 2000). Elektro-deoksidasyon çalışmalarında elektrolit olarak seçilen  $\text{CaCl}_2$  deoksidasyon için gerekli olan yüksek  $\text{O}^{2-}$ 'nin çözünürlüğü,  $\text{CaCl}_2$ 'nin suda yüksek çözünürlüğü, düşük maliyet, çok düşük toksiklik ve kolay bulunabilirlik gibi istenen özelliklere sahip olduğu için tercih edilmektedir.

$\text{CaCl}_2$ 'nin en önemli dezavantajlarından birisi yüksek ergime sıcaklığına sahip olmasıdır. Enerjinin korunması açısından daha düşük sıcaklıklarda çalışılması ve/veya elektrolitin elektronik iletkenliğinin azaltılması için  $\text{O}^{2-}$  iyonunun daha düşük çözünürlüğe sahip olmasının istenmesi gibi durumlarda bu klorür tuzlarının ikisi veya daha fazlası karıştırılarak kullanılabilir. Diğer sık kullanılan klorür tuzları  $\text{NaCl}$  ve  $\text{KCl}$  göreceli olarak düşük  $\text{O}^{2-}$  iyonu çözünürlüğüne sahip olduğundan FFC Cambridge prosesinde tek başlarına kullanım için uygun olmamaktadır (Chen, 2013).

Yapılan bu çalışmanın sonucunda yüksek sıcaklıkta pek çok refrakter metal oksidin indirgenebileceğini göstermektedir.  $\text{CaCl}_2$  ek olarak  $\text{LiCl}$ , ve  $\text{BaCl}_2$ 'de FFC Cambridge prosesinde metal oksitlerin indirgenmesinde elektrolit olarak kullanılmaktadır (Chen G. Z., 2013; J.M.Hur vd., 2007). Metal sülfürlerin elektro-deoksidasyon işleminde  $\text{CaCl}_2$  ve  $\text{BaCl}_2$  birlikte kullanılmaktadır.  $\text{NaCl}$  ve  $\text{KCl}$ 'den oluşan elektrolit karışımı düşük oksijen çözünürlüklerine rağmen elektro-desülfürasyon işlemlerinin de kullanıldığı görülmektedir (T.Wang vd., 2011). Toprak alkali metal klorürü arasında özellikle  $\text{CaCl}_2$  ve  $\text{BaCl}_2$  bazı metal oksitleri çözme özelliğine bulunmaktadır. Bunun sonucu elektro-deoksidasyon prosesleri için uygun eriyik tuz ortamı mümkün olmaktadır. Ergimiş kalsiyum klorür  $900^\circ\text{C}$ 'de yaklaşık molce %20  $\text{CaO}$  (Threadgill, 1965; Wenz vd., 1969; Perry ve McDonald, 1985) ve %2-4 (Peterson ve Hinkebein, 1959; Sharma, 1970; Zaistev ve Mogutnov, 2001) kalsiyum çözmemektedir.

### 2.1.2. Termodinamik ve mekanik hususlar

Basit bileşimleri sebebiyle, ergimiş tuzlar termodinamik çalışmalara referans olarak kullanılabilen saf metallere kolayca ayırtılabilirmektedir. Bu durum istenmeyen reaksiyonların kaçınılmaz olduğu durumlara karşı avantaj sağlamaktadır. Ergimiş tuz elektrolizi bileşenlerin termodinamik özelliklerinin açıklanması bakımından kullanılan ilk

yöntemlerden biridir. Ergimiş  $\text{CaCl}_2$ ,  $\text{TiO}_2$  ve  $\text{Fe}_2\text{O}_3$ ' elektrolizi uygulanan potansiyele ve anot malzemesinin aktivitesine bağlı olarak değişkenlik gösteren reaksiyonlar Çizelge 2.1'de yer almaktadır (Chen G. Z.,2013).

Anot malzemesi karbon esaslı (grafit), inert  $\text{SnO}_2$  ya da  $\text{CaRuO}_3/\text{CaTiO}_3$  kompozit malzemeleri kullanılabilmektedir. Çizelge 2.1'de ergimiş  $\text{CaCl}_2$ 'ün ayrişma potansiyellerini gösteren 1 ve 7 nolu reaksiyonlar termodinamik hususların belirlenmesinde referans olarak alınabilmektedir. FFC Cambridge prosesiyle ilgili olarak yapılan pek çok araştırmada 1 nolu reaksiyon referans olarak kullanılmıştır.

$(E^\circ (\text{Ca}/\text{Ca}^{+2}) = 0 \text{ V})$ . (2.1) nolu reaksiyonun  $900^\circ\text{C}$ 'de Gibbs Serbest Enerjileri sırasıyla;  $\Delta G^\circ (\text{CaCl}_2,\text{I}) = 667,413 \text{ kj}$  ve  $\Delta G^\circ (\text{CaO},\text{I}) = 486,359 \text{ kj}$ 'dir.



$\Delta G^\circ = nF\Delta E^\circ$  ( $F = 96485 \text{ C/mol}$ ) denkleminden yola çıkılarak;  $\Delta E^\circ = E^\circ(\text{anot}) - E^\circ$  (katot, referans)  $E^\circ (\text{Cl}^-/\text{Cl}_2) = 3,459 \text{ V}$  ve  $E^\circ (\text{O}^{2-}/\text{O}_2) = 2,520 \text{ V}$  hesaplanmaktadır.

Benzer bir şekilde Çizelge 2.1'de, toplam hücre reaksiyonları 2, 3 ve 6 nolu reaksiyonların elektrot potansiyelleri 1 ve 6 reaksiyonlarının toplamıyla birlikte hesaplanabilmektedir. Örneğin, 5b reaksiyonu için, toplam reaksiyon;  $\Delta G^\circ = 576,679 \text{ kj}$  ve  $\Delta E^\circ = 1,494 \text{ V}$  olarak hesaplanmaktadır.



Eğer ergimiş tuz  $\text{CaCl}_2$  çözeltisi içerisinde, doyma noktasından önce  $\text{CaO}$  tamamen ayrişması reaksiyon 2.2'de olduğu gibi gerçekleşirse  $E^\circ(\text{Ca}/\text{Ca}^{+2}) \approx E^\circ(\text{Ca}/\text{CaO})$  olarak değerlendirilmektedir. Böylece  $E^\circ = (\text{C}/\text{CO}_2) = 1,494$ 'tür (Chen G. Z.,2013).  $\text{CaCl}_2$ 'nin kullanıldığı bir elektro-deoksidasyon deneyi için uygulanması gereken potansiyelin belirlenmesi için Çizelge 2.1'de gösterilen değerlere dikkat edilmesi gerekmektedir.

Çizelge 2.1. 900°C'de ergimiş CaCl<sub>2</sub> çözeltisi içerisinde elektrot potansiyelleri (Ca/Ca+2) (Chen G. Z.,2013).

No	Reaksiyon	Elektrot	Potansiyel
1	Ca <sup>+2</sup> + 2e <sup>-</sup> ↔ Ca(I)	Katot	0 V
2a	Ti <sub>1,5</sub> O ↔ 1,5Ti + O <sup>-2</sup>	Katot	0,283 V
2b	CaTiO <sub>3</sub> + 4e <sup>-</sup> ↔ Ti + CaO + 2O <sup>-2</sup>	Katot	0,396 V
3	TiO <sub>2</sub> + 4e <sup>-</sup> ↔ Ti + 2O <sup>-2</sup>	Katot	0,623 V
4	Fe <sub>2</sub> O <sub>3</sub> + 6e <sup>-</sup> ↔ 2Fe + 3O <sup>-2</sup>	Katot	1,628 V
5a	O <sup>-2</sup> + C ↔ CO <sub>(g)</sub> + 2e <sup>-</sup>	Anot (Karbon)	1,404 V
5b	2O <sup>-2</sup> + C ↔ CO <sub>2(g)</sub> + 4e <sup>-</sup>	Anot (Karbon)	1,494 V
6	2O <sup>-2</sup> ↔ O <sub>2(g)</sub> + 4e <sup>-</sup>	Anot (İnert)	2,520 V
7	2Cl <sup>-</sup> ↔ Cl <sub>2(g)</sub> + 2e <sup>-</sup>	Anot (İnert)	3,459 V

Çizelge 2.1, Fe<sub>2</sub>O<sub>3</sub> indirgenmesi için karbon anot kullanılan bir elektrodeoksidasyon sürecinde 4 numaralı reaksiyonun 5a ve 5b'den daha pozitif olması sebebiyle termodinamik olarak kendiliğinden gerçekleşeceğini göstermektedir. Ayrıca 3 ve 4 numaralı reaksiyonların her ikisi de katottaki değişimi göstermekte ancak burada mekanik ve kinetik komplikasyonların varlığı düşünülmektedir.

CaCl<sub>2</sub> içerisinde TiO<sub>2</sub> elektrodeoksidasyonu sırasında yeterince düşük oksijen miktarlarındaki titanyum fazını elde edilinceye kadar yapıda magnelli fazı (Ti<sub>n</sub>O<sub>2n-1</sub>, 3<n<10), peroksit fazı (Ca<sub>α</sub>TiO<sub>β</sub>, α ≤ 1, 2 < β ≤ 3) yalancı metalik fazları buna örnek gösterilebilmektedir. Özellikle Çizelge 2.1'deki, peroksit ve yalancı metalik fazlarının oluşumu örneğin 2a,2b reaksiyonlarındaki gibi, 3 numaralı reaksiyona göre daha negatif potansiyellerde gerçekleşmektedir (Chen G. Z.,2013).

FFC Cambridge prosesinde, katottaki metal oksitten oksijenin ergimiş tuz ortamında nasıl giderilebileceği termodinamik yolla incelendiğinde bu proseseki elektrokimyasal olayı açıklamaya yönelik olarak yapılacak termodinamik incelemelerde esas alınması gereken durumun, oksijenin metalle kimyasal bileşik oluşturması şekli olduğu anlaşılmaktadır. FFC sisteminde meydana gelen oksijen giderme deoksidasyon işlemidir. Bir metalin deokside edilebilmesi için oksijene karşı afinitesi daha yüksek bir metalin (örneğin Ca) kullanılması gerekmektedir (Suzuki, R.O. v.d.,2003).

Bir metal oksidin deoksidasyon işlemine tabii tutulabilmesi için, meydana gelecek reaksiyonun oluşması, oksijene afinitesi bu metalden daha yüksek olan bir ortamın oluşturulması ile mümkün olmaktadır. Aşağıda verilen reaksiyon, bu durumu göstermektedir:



$M(O)$ , içinde oksijenin çözündüğü metali( $M$ );  $R$ : redüktan ve  $RO$  ise oksit ürünü göstermektedir. Bu reasyonda yarı-hücre reaksiyonlarının termodinamik özelliklerinin belirlenmesi Nerst eşitliğinden faydalılarak açıklanmaktadır (Denklem 2.3).

$$E = E^\circ - \frac{RT}{nF} \ln \frac{a_{MO_x}^{x_0}}{a_{MO_x}} \quad (2.3)$$

Denklem 2.3'de gösterilen  $E$ ; oluşum potansiyeli,  $E^\circ$ ; oluşum tepkimesinin standart potansiyeli,  $R$ ; gaz sabiti,  $T$ ; sıcaklık (Kelvin),  $a$ ; aktivite ve  $n$ ; reaksiyonda yer alan elektronların sayısını ifade etmektedir. Birim aktivite 1 değerinde olduğu zaman; logaritmik ifade sıfır eşit olur ve standart elektrot potansiyeli  $E^\circ$  denklem 2.4' den hesaplanmaktadır. Denklem 2.4'te gösterilen  $\Delta^\circ$ ; oluşum Gibbs serbest enerjisini ifade etmektedir (Abdelkader vd., 2013).

$$E = \frac{\Delta G^\circ}{nF} \quad (2.4)$$

Örneğin titanyum oksidin indirgenmesi için Ca metali kullanıldığında ( $Ti(O)$ ) aşağıdaki reaksiyonda (2.5) görüldüğü gibi gerçekleşmektedir.



Denge durumunda metal içinde çözünmüş O konsantrasyonunu  $[O]$  veren termodinamik denklem (2.6) aşağıdaki gibi gösterilmektedir:

$$[O] = (a_{CaO} / a_{Ca})(1/\gamma_0) \cdot \exp(\Delta G^\circ / RT) \quad (2.6)$$

Sırasıyla reaksiyonun içerisindeki,  $\Delta G^\circ$  standart serbest enerji değişimini,  $a_{\text{CaO}}$  kalsiyum oksidin aktivitesini,  $a_{\text{Ca}}$  kalsiyumun aktivitesini,  $\gamma_0$  ise metal içindeki oksijenin aktivite katsayısını göstermektedir. (2.6) eşitliğinden görüldüğü gibi sabit bir sıcaklıkta ulaşılabilcek oksijen konsantrasyonunun seviyesi  $a_{\text{CaO}} / a_{\text{Ca}}$  oranı ile doğru orantılı olmakla birlikte bu oran ne kadar küçük olursa deoksidasyon prosesi de o kadar verimli gerçekleşmektedir.

Bu reaksiyon sonucunda oluşan CaO, metal yüzeyinde birikmekte ve kalın bir tabaka oluşturmakta ve bu kalın tabaka, oksijenin kalsiyum metaline doğru geçişini ve de kalsiyum metalinin içe doğru difüzyonunu engellemektedir. Bunun sonucu olarak ortaya çıkan kinetik engel tabaka içinde  $a_{\text{CaO}} / a_{\text{Ca}}$  oranı aşırı yükselmesi olarak açıklanmaktadır. TiO<sub>2</sub>'ye elektro-deoksidasyon işlemi uygulandığında, 1000°C sıcaklıkta termodinamik olarak ulaşılan oksijen içeriği 500ppm civarında iken engelleyleyi kinetik faktörler dolayısıyla pratik oksijen içeriği birkaç bin ppm dolaylarında kalmaktadır (Suzuki, R.O. v.d., 2003; Okabe vd., 1990).

### **2.1.3. Sıcaklık**

FFC Cambridge Süreci ilk önce üç elektrot hücresinde (bir Ti metal sözde referans elektrodu ile) ve iki elektrot hücrende argon altında erimiş CaCl<sub>2</sub> çözeltisi içerisinde gerçekleştirılmıştır. CaCl<sub>2</sub>'nin ergime noktası, saflığa bağlı olarak yaklaşık 780°C'dir. Buna bağlı olarak, ergimiş kalsiyum klorür içerisinde gerçekleştirilen deney sıcaklıkları 800 ve 950°C arasında seçilmektedir. Sıcaklığın daha da arttırılması CaCl<sub>2</sub>'nin kaynama sıcaklığı olan 1600°C'nin altında olmasına rağmen buharlaşmasına sebep olmaktadır. Ancak elektro-deoksidasyon deneylerinde indirgenme reaksiyonları yüksek sıcaklıklarda gerçekleşmektedir. Elektro-deoksidasyon deneylerinde dikkat edilmesi gereken diğer hususlardan birisi ürünün oksijenle kirlenmesini ve bazı durumlarda klorür tuzlarının azot veya buharlaşmasını önlemek için işlemin açık hava veya vakum altında yapılamaması gerektirdiğiidir (Chen G.Z., 2014).

#### **2.1.4. Uygulanan potansiyel**

İki elektrotlu bir hücrede elektroliz işlemi ilk olarak sabit voltaj altında gerçekleştirilmesinin yanı sıra elektrot reaksiyonlarının anlaşılabilmesi için sabit akımda kullanılmıştır. Elektroliz deneyleri sırasında uygulanan potansiyel metal oksit yapısının indirgenmesini sağlayacak kadar yüksek ancak ergimiş tuzun ayrışmasını önleyecek bir değerde olması gerekmektedir. Artan potansiyel değerleri elektroliz hızını arttırmamasına rağmen akım için aynı şeyi söylemek mümkün olmamaktadır. Mevcut verimliliği etkileyen en önemli faktörlerden birisi çözünmüş metal ve/veya çevrimsel redoks reaksiyonlarının potansiyeli arttırmasıdır (Chen G.Z.,2014).

#### **2.1.5. Elektro-deoksidasyon süresi**

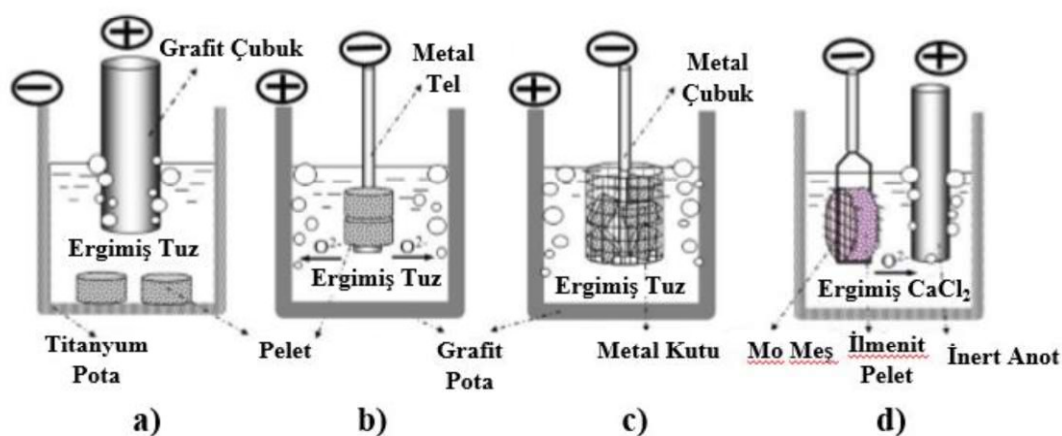
Elektro-deoksidasyon süresi nihai ürün olarak elde edilmek istenilen metalin oksijen içeriğinin belirlenmesi açısından önemli bir değişkendir. Fe ve Cr gibi 1-3 g oksit pelet daha az reaktif metaller için süre 10 saatten daha az iken Ti ve Nb gibi metaller için bu süre çok daha uzundur. Örneğin, Cr<sub>2</sub>O<sub>3</sub> peletinin elektrolizi için, 2,8V ve 950°C'de 6 saat elektroliz düşük oksijen içeriğini elde etmek için yeterli olmakla birlikte bu durumda mevcut verim %75'in üzerinde olmaktadır. Deneysel olarak doğrulanmış en hızlı indirgenme oranını elde etmek için 2-3 mm kalınlığındaki bir TiO<sub>2</sub> peletinde yaklaşık % 68'lik bir gözeneklilik olması gerektiğini göstermektedir (Chen G.Z.,2014).

#### **2.1.6. Pota ve elektrot seçimi**

FFC Cambridge prosesinin ilk deneysel çalışmalarında, argon gazı altında ergimiş CaCl<sub>2</sub> içerisinde 800-950°C'de 3 elektrotlu hücre (kimyasal analizler için Titanyum metalini sözde elektrot olarak kullanarak) ve 2 elektrotlu hücre kullanılarak gerçekleştirilmiştir. Elektro-deoksidasyon deneylerinde titanyum, grafit, paslanmaz çelik ve alümina gibi çeşitli malzemeler pota olarak kullanılmıştır. Silika, CaO ve Ca metal ve oksitlerine karşı kimyasal hassasiyetinin bulunmasından ötürü kullanılmamaktadır (Chen G.Z.,2014).

Titanyum esaslı metaller, titanyumun yüksek sıcaklıklardaki oksijene olan yüksek afinitesi sebebiyle genellikle ergimiş tuz kimyasında pota malzemesi olarak tercih edilmemektedir. Elektro-deoksidasyon deneylerinde yaygın olarak kullanılan pota malzemesi geniş sıcaklık aralıklarındaki kimyasal ve fiziksel kararlılığı nedeniyle alüminadır. Kimyasal ve fiziksel kararlığının olması yüksek sıcaklıklarda yapılan deoksidasyon deneyleri için istenilen bir durumdur. Grafit pota kullanımı çevresel etkileri ve potanın ömrünün kısa olması, akım verimlerinin düşük olmasına rağmen alümina pota en çok tercih edilenlerdir (Chen vd., 2001a).

Elektro-deoksidasyon deneylerinin ilk çalışmalarında, elektrot ya da katot olarak ince titanyum folyo kaplı  $TiO_2$  tabaka ya da sıkıştırılmış toz  $TiO_2$ 'den oluşan pelet kullanılmıştır. Anot malzeme olarak titanyum pota kullanılan deneylerde grafit kullanılmıştır. 2000 yılından bu güne kadar yapılan çalışmalarda, elektro-deoksidasyonun ön elektroliz kısmında pek çok değişiklik yapılmıştır. İki elektrotlu hücrelerde pek çok metal oksit ve sülfürlerin elektro-deoksidasyon işleminde pelet tasarımları deney tasarımları için önemli bir seçenek olarak kalmaktadır. Laboratuvar ortamında oksit tozundan pelet üretimi genellikle pres ya da kaydırma döküm yoluyla üretilmektedir. Üretilen peletler yüksek sıcaklıkta sinterlenmektedir (örneğin  $TiO_2$  için 900-1000°C ) (Chen G.Z.,2014).



Şekil 2.2 FFC Cambridge prosesi için deney tasarımları. a)Peletler herhangi bir tele bağlı olmadan titanyum potanın zemininde, b)Peletler metal tele bağlı olarak potaya temas etmeden ergimiş tuzun içerisinde grafit potada, c) Peletler metal çubuğu bağlı bir metal kutunun içerisinde yerleştirilmiş ergimiş tuzun içerisinde grafit potada, d) Pelet Mo Meş sarılı durumda tele bağlanmış şekilde ergimiş  $CaCl_2$  banyosunda inert anot kullanılmış durumda.

Elektro-deoksidasyon deneylerinde peletin katot olarak sisteme bağlanması Şekil 2.2'de gösterilmektedir. Burada laboratuvar çalışmalarında kullanılmak üzere d, e ve g gösterimleri daha uygun olmakla birlikte, f gösterimi ticari araştırmalar için 1kg'lık pelet kullanılarak yapılmıştır(Chen G.Z.,2014).

## 2.2. Elektro-deoksidasyon Mekanizması

Elektro-deoksidasyonla ilgili deneysel çalışmalar ilk olarak 2000 yılında Chen vd., tarafından Nature dergisinde yayımlanan makaleyle; ergimiş  $\text{CaCl}_2$  içerisinde ince titanyum levhanın elektrokimyasal indirgenmesinin açıklanmasıyla başlamıştır. Alternatif bir açıklama olarak, oksijenin iyonlaşmasının kalsiyumun birikiminden daha az katodik bir potansiyelde meydana gelmesiyle titanyum oksidin titanyuma indirgenmesi kimyasal reaksiyondan ziyade elektrokimyasal olarak gerçekleştirilebilmektedir (Chen vd.,2000).

Elektro-deoksidasyon deneylerinde uygulanan potansiyel altında, titanyum dioksit katot, grafit anot ve ergime noktası  $775^\circ\text{C}$  olan kalsiyum klorür elektrolit olarak kullanılır ve çalışma sıcaklığı genellikle  $850\text{-}900^\circ\text{C}$  olarak seçilmektedir. Katottaki katı  $\text{TiO}_2$  içindeki oksijen elektron kaybetmekte ve oksijen iyonlarına dönüşmektedir (Chen vd.,2001).

Yüksek sıcaklıkta elektrolitin termodinamik ayrışma potansiyelinden daha düşük, metal oksidin ayrışma potansiyelinden daha yüksek bir potansiyel uygulanmaktadır. Böylece elektrolitte sürekli elektrolizden ve katotta kalsiyum metali oluşumundan kaçınılır. Bu şartlar altında, elektrolit elektrotlar arasında oksijen iyonunun transferini mümkün kılkaren, reaksiyon boyunca katottan oksijen giderilir ve anotta karbondioksit ya da karbon monoksit oluşur.

Yüksek sıcaklık ve uygulanan elektrik potansiyelinin etkisi altında katodu terk eden oksijen iyonları ergimiş elektrolit vasıtasyyla grafit anoda doğru hareket eder. Bu iyonlar grafit anotta deşarj olmakta ve karbon monoksit ya da karbon dioksit gazları teşekkül etmektedir.



$\text{TiO}_2$  için (2.7) nolu reaksiyon şu şekilde yazılmaktadır:



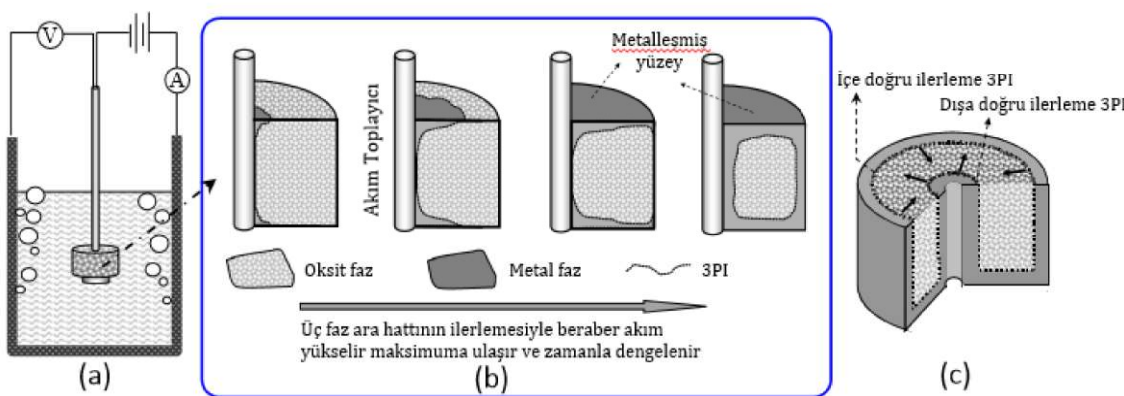
İnert anot kullanılırsa, anotta sadece oksijen gazı ortaya çıkacaktır. Bu durumda hücredeki toplam reaksiyon aşağıdaki şekilde olacaktır (2.9).



Reaksiyon (2.7), (2.8) ve (2.9) katottaki katı metal oksidin Elektro-deoksidasyon yöntemiyle indirgenmesini açıklamaktadır. Gerçekte elektro-deoksidasyon mekanizmasının kullanılan metal oksidin bileşimine, ergimiş tuza ve diğer çeşitli elektroliz koşullarına bağlı olmasından ötürü daha karmaşık olmaktadır (Chen vd.,2004).

### 2.3. Üç Faz Ara Hattı

Elektrolitik bir hücrede, akımın oluşmadığı bölgeler dışında, elektronik ve iyonik iletkenlerden oluşması gereği düşünülmektedir. Bu sebeple iletken olmayan katı  $\text{TiO}_2$  bileşığının doğrudan Ti metalle deokside olması şaşırtıcı bir durum olmaktadır (Chen vd.,2000).  $\text{TiO}_2$ 'nin deokside olmasının sebebi deoksidasyon başladığında oluşan Magnelli fazının iletken olmasından kaynaklanmaktadır. Bununla birlikte  $\text{SiO}_2$  ve Si arasında ara bir faz bulunmamasına rağmen, yalıtkan  $\text{SiO}_2$ 'nin Si deokside olması kısmi olarak cam silika ve tamamıyla silika tozu olarak mümkün olabilmektedir. Aynı şekilde diğer bir yalıtkan yapı  $\text{ZrO}_2$ 'nde Zr arasında ara faz bulunmamasına rağmen deoksidasyon işlemi gerçekleşmektedir (Chen G. Z.,2013). Tüm bu durumlarda dikkat çeken durum metal/oksit/elektrolit 3'lü faz ara hattıdır (3PI). Bu üç farklı fazı birbirine bağlayan sınır sadece bir çizgi (ya da bir nokta) olabileceğinden, üç fazlı ya da 3PI olarak adlandırılır. Deneysel olarak gözenekli silindirik bir pelet içerisinde gerçekleşen elektro-deoksidasyon sırasında üç faz ara hattı kesit alınarak Şekil 2.3'de gösterilmektedir.



Şekil 2.3 Silindirik oksit peletin üç faz ara hattı ilerleme mekanizmasının şematik gösterimi. a) ergimiş tuz içerisinde daldırılan tele bağlı oksit pelet b) tel merkezinden yüzey boyunca üç faz ara hattının ayılması maksimum akıma ulaşılana kadar c) pelet içinde üç faz ara hattının ilerlemesi (akımın düz olduğu konum) (Chen G. Z.,2013).

Şekil 2.3 (a)'da görüldüğü gibi silindirik pelet metal telin ucuna bağlanarak hücrenin içerisinde ergimiş tuz banyosuna daldırılır. Elektroliz işlemi başladığında üçlü ara faz hattı (3PI) tel, ergimiş tuz ve metal oksit arasındadır. Elektron transferi devam ettikçe, metal telin yanındaki oksit 3PI 'yı genişleten metale doğru indirgenir. Daha sonra indirgenme 3PI'da devam etmektedir (Chen G. Z.,2013).

FFC Cambridge prosesinin ilk çalışmalarından bu yana, akım uygulandıktan birkaç dakika sonra peletin bağlı bulunduğu telin çevresinde temas ettiği kısımlarından içeriye doğru kesit olarak incelendiğinde farklı renklerde değişiklikler olduğu gözlenmiştir (Chen, G. Z.; Fray, D. J.,2001). Elektrokimyasal reaksiyonların bu bölgeden başladığı ve peletin merkezine doğru ilerlediği düşünülmektedir. Bu varsayıımı test etmek için Chen vd., 30 dakika boyunca deoksidasyon işlemi uygulamış ve peletin enine kesiti incelemiştir. SEM ve EDX analizi, iki fazın varlığını göstermektedir; yüzeye bir "yüksek saflıkta krom" fazı ve peletin merkezinde bir oksit fazı. Bu bulgulara dayanarak, yazarlar metal oksitlerin elektro-deoksidasyonunun metal / oksit / elektrolit üç fazlı ara hattında (3PI) başladığını belirlemiştir (Şekil 2.3, Şekil 2.4.),(Abdelkader vd., 2013).

Elektro-deoksidasyon işlemi devam ederken 3PI'lar oksit peletin tüm yüzeyi metalize olana kadar pelet ve metal telin temas ettiği yüzey boyunca ilerler. Daha sonra; metalize olan yüzey tabakasının gözenekli olması sebebiyle (metalin molar hacminin oksitinkinden küçük olması yüzünden) ergimiş tuz, tanelerin iç kısımlarına ulaşabilir,

oksijen iyonları metalleşmiş yüzeydeki boşluklarda bulunan ergimiş tuza doğru taşınabilir ve indirgenme devam eder. Buna 3PI'nın oksit tanelerin iç kısımlarına doğru hareketi eşlik eder (Chen, 2013). Yüzey bölgesindeki (özellikle en dış yüzey) oksijen taşınımı; daha kısa difüzyon/yer değiştirme mesafesi ve ergimiş tuzun doğal konveksiyon yardımı sebebiyle daha çabuktur (Chen vd., 2004).

3PI modeli ergimiş elektrolit çözeltisi içerisinde AgCl elektro indirgenmesi sırasında teorik ve deneyel olarak açıklanmasında kullanılmıştır. Elektro-deoksidasyon proseslerinde yüksek sıcaklıkta ergimiş tuzlarının haricinde sulu elektrolit veya iyonik çözeltiler terch edilmektedir. AgCl'nin Ag metaline elektro-indirgenmesinin sulu veya organik elektrolitlerde gerçekleştirildiği yol çıkışarak suda çözünebilen klorür elektro-indirgenmenin kinetiğini açıklayan birleşik/metal/elektrolit 3PI modeli kullanılmıştır (Deng vd., 2005; Xiao vd., 2007).

3PI modeli esas alınarak, en yüksek indirgenme oranı ile oksidin optimum gözenekliliği arasındaki korelasyonun tanınması ve metalden okside molar hacim oranı da dahil olmak üzere FFC Cambridge prosesinin daha iyi anlaşılabilmesi için Denklem 2.10 ile hesaplanabilmektedir. Gözeneklilikle ilişkilendirilen PRS modeli, TiO<sub>2</sub>, Ta<sub>2</sub>O<sub>5</sub> ve SiO<sub>2</sub>'nın ergimiş tuz banyosundaki elektro-deoksidasyon deneyleriyle çok iyi anlaşılabilmektedir.

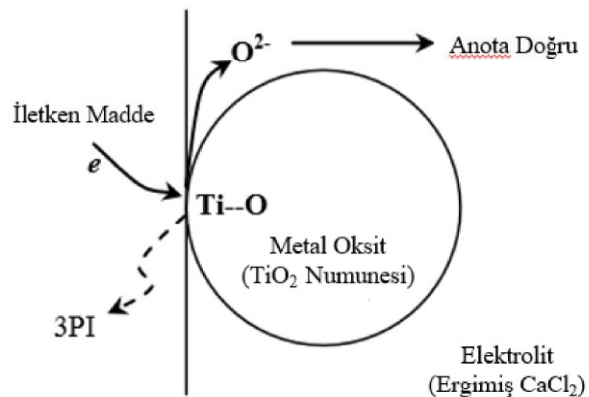
$$P_{opt} = \frac{3R+S-1}{3R} \times 100 \% \quad (2.10)$$

P<sub>opt</sub>: Yüzde hacimdeki optimum oksit gözenekliliği

R: Metalden okside molar hacim oranı

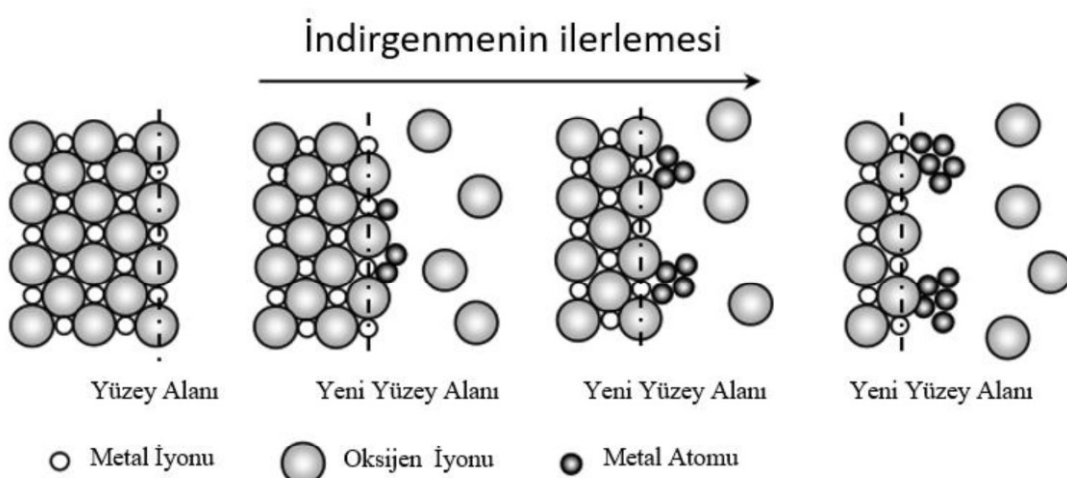
S: Hacim fraksiyonundaki katodun hacimsel büzülme miktarı

Örneğin TiO<sub>2</sub> ve Ta<sub>2</sub>O<sub>5</sub> katotlarının elektro-deoksidasyonu için tahmin edilen P<sub>opt</sub> değerleri sırasıyla % 67 ve % 25 olup, eğer katodun gözenekliliği bu değerlerden çok farklı olduğu durumda deoksidasyonun gerçekleşmesinin zorlaşacağı düşünülmektedir (Hualin Chen, vd., 2013).



Şekil 2.4 Metal oksit ve elektrolit ara yüzeyindeki elektron ve oksijen transferi (3PI) (Chen vd.,2004).

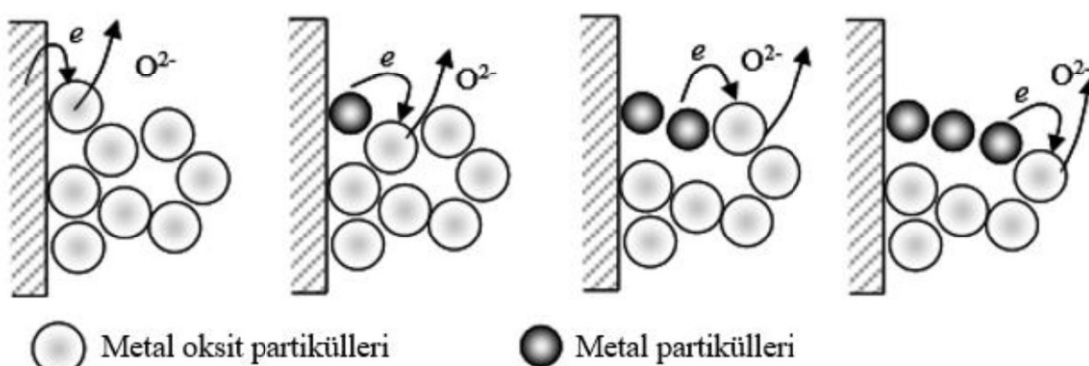
Metal atomlarının bir araya gelmesi ve oksit yüzey yenilemesine bakıldığından, oksijen atomu metal atomundan daha büyük olduğu için indirgenme sırasında oksijen atomunun uzaklaşması toplam hacimde küçülmeye sebep olmaktadır. Bunu sonucu olarak azalan hacimle birlikte metal atomları yeni kafes konumlarına doğru hareket etmektedirler. Metal atomları, oksitlerin yüzeylerini örtmek yerine enerji seviyeleri daha düşük alanlara doğru ilerlemektedirler. Metal atomlarının agregasyonu, ergimiş tuz tarafından erişilebilen oksit yüzeyinin yenilenmesine 3PI'nin ve indirgenmenin oksit fazının iç kısmına ilerlemesini mümkün kıldığı Şekil 2.5'te gösterilmektedir (Chen vd.,2004).



Şekil 2.5 Metal oksidin elektro indirgenmesinde oksit yüzey alanının yeniden oluşumu metal atomlarının yerleşmesinin şematik gösterimi (Chen vd.,2004).

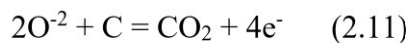
Şekil 2.6'te görüldüğü gibi agregalar küçük kristallerin içine doğru büyümektedir. Küçük kristallerin boyutu ve şekli, ergimiş tuz ve kristaller arasındaki yüzey gerilimi, oksit tanelerinin boyutu ve sıcaklık gibi pek çok faktörden etkilendiği düşünülmektedir. Başka bir deyişle metal atom agregalarının büyümesi, ergimiş tuzun metal oksitlere doğru ilerlemesini kolaylaştırın mikro ya da nano boyutlarda gözenekler oluşumunu sağlamaktadır. Sonuç olarak, bu mikro ve nano gözenekler çok derinliğinde, bu gözeneklerde bulunan ergimiş tuz içindeki kütte transferinin tamamlanması uzun zaman almakta ve bu nedenle hız kontrol basamağı haline gelmektedir (Chen vd.,2004).

FFC Cambridge prosesinde yoğunluğu yüksek yapıların elde edilebilmesi için genellikle metal tozları tercih edilmektedir. Bu metal oksit tozları gözenekli peletleri oluşturmaktadır. FFC Cambridge prosesinde seçilen tozların tane boyutları yeterince küçükse (örneğin mikrometrenin çeyreği kadar) içerisindeki tanelerin her birinde indirgenme 3PI bir sonraki taneye atlamanın önce tamamlanmaktadır. Bu durumun aksine, tane boyutları çok büyükse (örneğin, 100 mikrometreden daha fazla) 3PI'nin yayılması yüzeyde çok daha fazla olacağının potansiyelde temelde 3 farklı soruna sebep olmaktadır. Bunlardan birincisi, şekillendirilmiş metalin ergime sıcaklığı işlem sıcaklığından daha yüksek değilse, metal atom agregalarının tane yüzeyinde sinterlenmesi sonucunda gözeneklerden içeri girilmesine ve iç kısımlardaki indirgenmesine engel olacağı düşünülmektedir. İkinci olarak, indirgenmeden önceki metal oksit ve indirgenme sonucu oluşan metal arasında oluşabilecek ara reaksiyonlardan olumsuz etkilenmektedir. Son olarak, eğer metal oksit tam indirgenmeden, elektrolitteki CaO ile reaksiyona girerse, ara basamaklarda  $\text{CaTiO}_x$  ( $x \leq 2$ ) yapısı oluşabilmektedir (Chen vd.,2004).

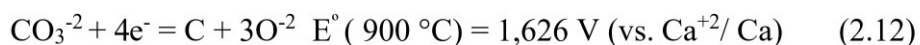


Şekil 2.6 Metal oksit tanelerinin devamlı ve ardışık metalleşmesinin şematik gösterimi (Chen vd.,2004).

FFC Cambridge prosesindeki anodik reaksiyon, oksijen iyonlarının katottan anoda taşınmasıdır. Literatürde uygulanmış pek çok deney için, karbon anotlar kullanılmıştır ve bunun sonucu olarak karbon anodun tüketilmesine neden olan az miktarda oksijenle karbonun reaksiyona girmesi sonucu karbon monoksit, karbondioksit oluşumuna sebep olmaktadır (Reaksiyon 2.11).

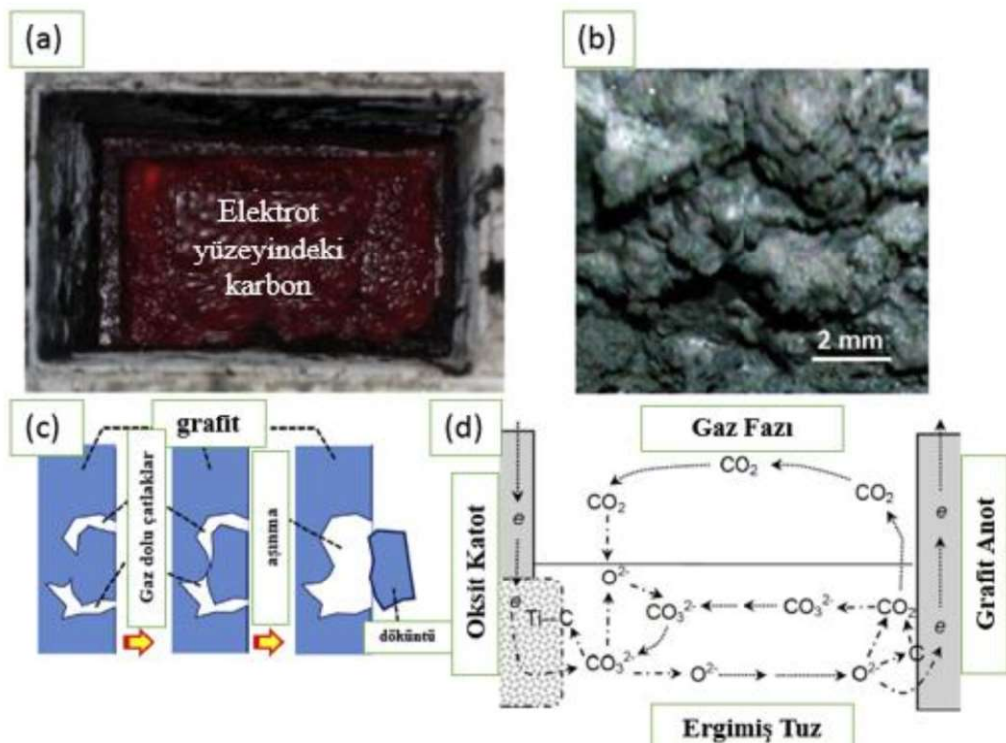


$\text{CO}_2$  gaz kabarcıklarının oluşması nedeniyle, ergimiş tuz yüzeyinde birikebilecek karbon oluşturan parçacıkların veya potadan aşınmasına neden olarak, anot ve katot arasında kısa devreye yol açar; akım verimliliğini düşer ve enerji tüketimi artar. Karbondioksit de ergimiş tuz içerisinde,  $\text{O}_2$  iyonu ile reaksiyona girerek, (2.12) reaksiyonu sonucunda oluşan Ca katota doğru ilerler.



Serbest kalan oksijen iyonları daha sonra anota tekrar difüze olmasıyla karbonun anottan katoda gerçekleşen bu yayılımı sonucunda verim azalır ve enerji tüketimi artar. Katoda yakın biriken veya serbest kalan karbonun bu yapısı nanopartiküllerin ve hatta nanotüpelerin bir karışımı olabileceği düşünülmektedir. Şekil 2.7(a), elektro-deoksidasyon hücresinin, elektrotların çıkarılmasından sonra, erimiş  $\text{CaCl}_2$  yüzeyinde yüzen karbon kalıntılarını gösteren üstten görünümünün bir fotoğrafıdır. Katılaşmış  $\text{CaCl}_2$  eriyiğinin yüzeyinde gözlemlenen karbon kalıntısının optik mikroskop görüntüsü Şekil 2.7.(b)'de gösterilmektedir. Şekil 2.7 (c) ve (d), elektro-deoksidasyon sırasında  $\text{CO}_2$  gazının anodik oluşumunun fiziksel ve kimyasal sonuçlarını açıklamaktadır.

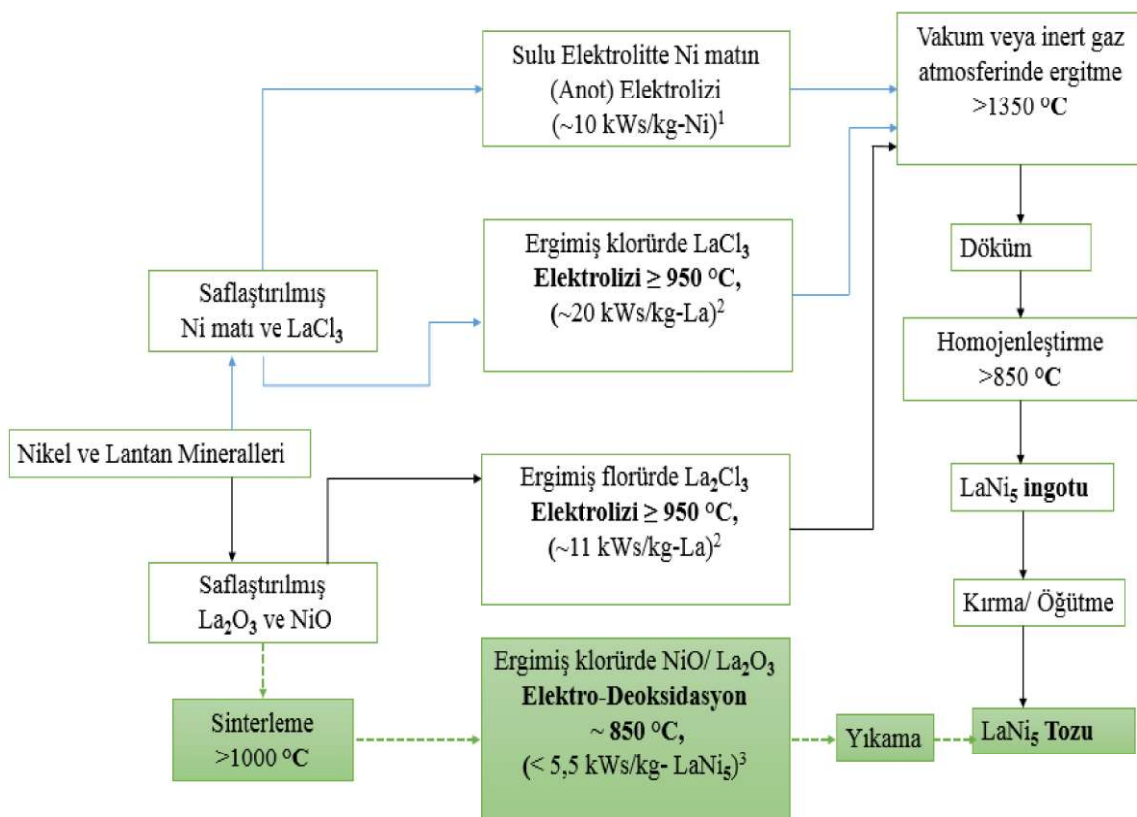
Karbon anodun, bir inert anotla değiştirilmesi, mevcut verimliliğin artırılması, enerji tüketiminin azaltılması ve genel olarak işlemi çok daha çevreci hale getirme gibi birçok faydasının olacağı düşünülmektedir. Elektro-deoksidasyon deneyleri sırasında ergimiş tuzun içerisinde bulunan anodun yüksek sıcaklıklarda fiziksel stabilitesi, elektriksel iletkenlik, ergimiş tuzun korozyon özelliğinden seçimi büyük önem taşımaktadır (Chen G.Z. ve Fray D.J., 2020).



Şekil 2.7. (a) Elektro-deoksidasyon deney sonrası ergimiş tuzun üstten fotoğrafı (b) Katılışmış ergimiş tuzun yüzeyindeki karbonun optik mikroskop görüntüsü (c)  $\text{CaO}_2$  Grafit anotta büyüyen  $\text{CO}_2$  kabarcıklarının oluşturduğu döküntü (d) Erimiş  $\text{CaCl}_2$  çözeltisinde bir metal oksidin ( $\text{MO}_x$ ) elektro-deoksidasyonu sırasında hem gaz hem de sıvı fazlar yoluyla anottan katoda karbon taşınması mekanizması (Chen G.Z. ve Fray D.J., 2020).

#### 2.4. Elektro-deoksidasyon Prosesinin Avantajları

1998 yılında patenti alınan FFC Cambridge prosesiyle elektro-deoksidasyon yönteminin en büyük avantajlarından birisi indirgenme esnasında metal oksitten katı metal elde edilmesi ve ergime gerçekleşmemesidir. Geleneksel prosesle karşılaştırıldığında oksitli metalin indirgenmesi kolay olduğundan tanecik boyutlarının geniş aralıklarda üretililebilirliğinin olması ve giderek gelişen teknolojiyle yılda 20 tonu aşan kapasitelerle üretilmesi yöntemin yaygınlaşmasını sağlamaktadır (J.Fenn vd., 2004).



Şekil 2.8.  $\text{LaNi}_5$  alaşımı için geleneksel ve elektro-deoksidasyonla üretiminin karşılaştırılması (Chen, 2013).

Reaktif metallerin çoğunun elde edilebilmesi yöntemleri pahalı ve karmaşık proseslerden oluşmaktadır. Titanyumun parlak, mukavemetli ve korozyon direncinin yüksek olması nedeniyle üretim yöntemi oldukça karmaşık ve maliyetli olmaktadır (Şekil 2.8.). Titanyumun günümüzde yaygın üretim yöntemi pirometalurjik bir yöntem olan Kroll yöntemidir. Ancak bu yöntemle karşılaştırıldığında FFC Cambridge prosesi, daha hızlı ve basit olması, pek çok metal oksidin indirgenmesine olanak sağlaması ve en önemlisi üretim maliyetlerinin düşük olması en büyük avantajları arasında yer almaktadır (Chen vd., 2000).

## 2.5. Elektro-deoksidasyon Deneylerinde Çevrimsel Voltametri

Sisteme belirli bir akım ya da potansiyel uygulandıktan sonra, onun kutuplaşma eğrisindeki karakteristik değişkenlerin ölçülmesi ilkesine dayanan tekniklerin tamamı voltametrik teknikler olarak tanımlanmaktadır. Çevrimsel voltametri (CV) elektrot reaksiyonları ve mekanizmalarını anlamak amacıyla yaygın olarak kullanılan potansiyel kontrollü ters elektrokimyasal tekniktir. Bir çevrimsel voltametri hücresi 3 elektrottan oluşmaktadır. Birincisi çalışma elektrodu (WE), ikincisi karşı elektrot (CE) ve sonucusu referans elektrot (RE) ve bunlara temas eden elektrolit çözeltisi yer almaktadır. Bu teknikte çalışma elektroduna, referans elektrodu ile belirli bir tarama hızında değişen çevrimsel bir potansiyel ile uygulanır ve karşılık gelen akımlar izlenmektedir. Tipik bir CV hücrende, CE alanı, WE'ninkine kıyasla çok yüksektir, böylece sonraki akım yoğunluğu çok yüksek olmakla birlikte öncekinin çok düşük olduğu gözlenmektedir. Bu durum sonucunda WE daima polarize kalır, CE'nin polarizasyonu ise ihmali edilebilir düzeyde tutulabilmektedir.

Elektrokimyasal reaksiyonlarda meydana gelen tepkiler WE'deki değişkenlere göre ölçülmektedir. Temel olarak, çevrimsel voltametri deneyleri elektro-deoksidasyon deneylerinde de, temel elektrot ve redoks reaksiyonlarını mekanizmalarını anlamak amacıyla kullanılan analitik bir yöntem olmasının yanı sıra, bir elektrokimyasal hücrede meydana gelen reaksiyonları hem nitelik hem de nicelik olarak tanımlanmasında kullanılmaktadır. Örneğin, ergimiş  $\text{CaCl}_2$  ya da  $\text{LiCl}$  tuzlarının oluşumu için standart serbest enerjilerinin tahminini sağlayarak deneylerin elektrokimyasal durumlarının belirlenmesinde yardımcı olmaktadır (Vishnu vd., 2017).

Çevrimsel voltametri tekniğinin elektro-deoksidasyon adımlarının belirlenmesinde ilk kez kullanımı; FFC-Cambridge prosesinin patentine sahip kişiler tarafından ara ürün fazlarının kaydedilmesi ile gerçekleştirılmıştır. Çevrimsel voltametri deneyleri elektrokimyasal deneylerin kinetiğinin araştırılmasında kullanılan bir yöntemdir. Bu potansiyodinamik yöntemde bir  $E_1$  potansiyelinden  $E_2$  potansiyeline daha sonra tekrar  $E_1$  potansiyeline sabit bir  $v$  oraniyla potansiyeli artırmak için potansiyostat kullanılır. (Abdelkader vd., 2013).

### **3. HİDROJEN DEPOLAMA**

Bugün dünyada ihtiyaç duyulan enerjinin büyük miktarı fosil yakıtlardan sağlanmaktadır. Buna alternatif temiz enerji kaynağı olan hidrojen, araştırmacıları bu alanda çalışmaya yönlendirmiştir. Fosil yakıtlar belirli bir rezerve sahip olması, yanmasıyla açığa çıkan gazların çevreye verdiği zararlar, bununla birlikte sera gazı etkisi yaratan CO<sub>2</sub> gazı salınımı ile küresel ısınmaya da neden olması nedeniyle alternatif enerji kaynakları araştırmaları giderek artmaktadır. Hidrojeni depolamak için farklı yöntem türleri kullanılmaktadır. Hidrojen depolama yöntemleri arasında en iyisi elektrokimyasal yöntemdir, çünkü hidrojen üretilir, normal basınç ve sıcaklık koşullarında yerinde depolanır. Hidrojen depolamayı elektrokimyasal yollarla incelemek için farklı yöntemler kullanılabilir. Hidrojeni verimli bir şekilde depolayabilen çeşitli malzemeler bulunmaktadır (Zhang vd.,2015; Kaur ve Pal, 2019; Gholami ve Pirsahab, 2020).

Hidrojenin enerji olarak kullanılabilmesindeki en önemli problemler, üretilmesi ve depolanması olarak tanımlanmakta ve yapılan çoğu araştırma, hidrojen depolamanın mobil uygulamaları için yapılmaktadır. Elektrokimyasal hidrojen depolamada, üretilmiş bir hidrojen gazına ihtiyaç duyulmamaktadır. Element halindeki hidrojen suyun ayırmasıyla elde edilen hidrojen elementinin metal (negatif elektrot) yüzeyine adsorbe olması ve daha sonra metalin içine difüze olup metal hidrür oluşturmasıdır (Zhang vd.,2015, Wang H.,2016).

#### **3.1. Nikel-Metal Hidrür Piller**

Ni-MH hidrür piller, en çok kullanılan elektrokimyasal güç kaynaklarından biridir. Ni-MH piller nikel-kadmium pillerden çok daha az toksiktir ve lityum-iyon pillerden çok daha ucuz ve güvenlidir. Güç kaynağı olarak iyi görünselerde, birçok taşınabilir cihazda veya Hibrit Elektrikli Araçlarda (HEV), Ni-MH pillerin elde edilen akım yoğunlukları, çok yüksek güç yoğunlukları gerektiren cihazlarda veya düşük sıcaklıklarda kullanım için yeterli değildir. Ni-MH pillerde anot malzemesi olarak kullanılabilecek, yeni hidrojen depolama alaşımlarının hazırlanması üzerinde pek çok çalışmanın sürdürüldüğü konular arasında yer almaktadır (Karwowska vd., 2014).

Elektrokimyasal hidrojen depolamada şarj/deşarj da gerçekleşen reaksiyonlar şematik olarak Şekil 3.1.'de gösterilmektedir. Bir Ni/MH pilinde şarj/deşarj sürecinde gerçekleşen elektrokimyasal reaksiyonlar aşağıda gösterilmektedir (Ouyang L., vd., 2017; Slepiski vd., 2009; Tliha vd., 2014).

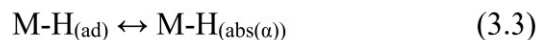
Pozitif elektrotta şarj sırasında;  $\text{Ni(OH)}_2$ ,  $\text{NiOOH}$  yükseltgenir (Reaksiyon 3.1).



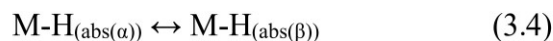
Negatif elektrotta şarjda; M hidrojen depolama alaşımı olarak tanımlanmıştır. Suyun indirgenmesi, çözelti-katı ara yüzeyinde  $\text{OH}^-$  iyonu oluşur. (Reaksiyon 3.2).



Hidrojenin alaşım içeresine doğru difüzyonu gerçekleşmesiyle, adsorbe olan olarak katı-çözelti fazı  $\text{M}-\text{H}_{\text{abs}(\alpha)}$  oluşmaktadır (Reaksiyon 3.3) (Şekil 3.1).

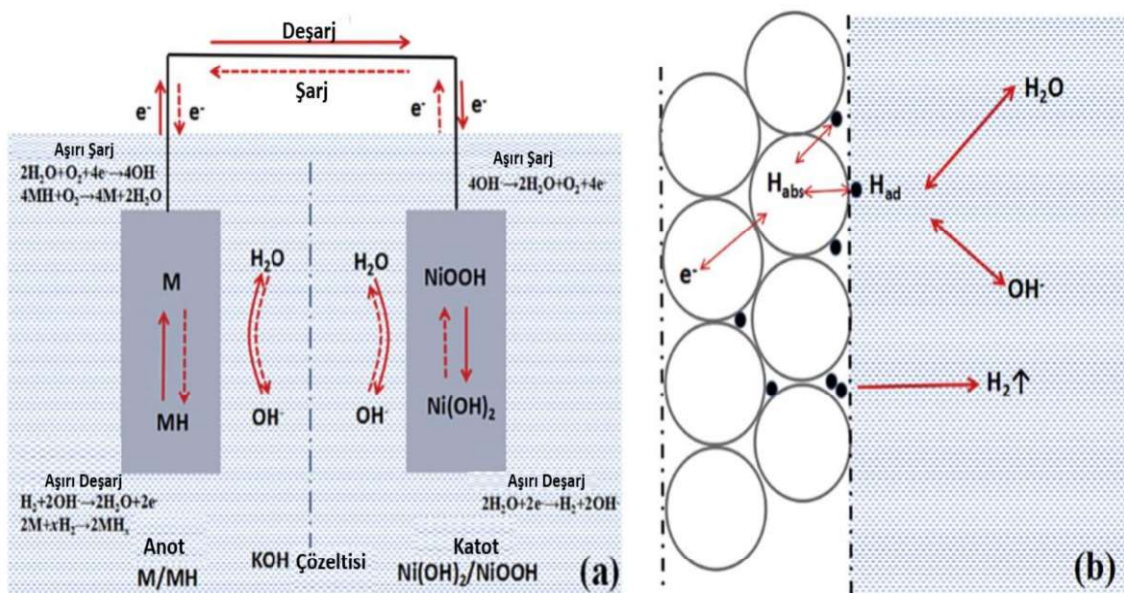


Artan hidrojen konsantrasyonu ile  $\alpha$  fazı bir hidrür fazına dönüşmektedir (Reaksiyon 3.4, Şekil 3.1 (b)).



Deşarjda, şarj sürecinde oluşan reaksiyonların tam tersi gerçekleşir. Toplam Reaksiyon 3.5 olarak verilmiştir.





Şekil 3.1 (a) Ni-MH pil mekanizması elektrokimyasal reaksiyonlarının, (b) Elektrokimyasal yük transferi sonucu hidrür oluşum ve ayrışma işlemi şematik gösterimi (Ouyang vd., 2017).

Hidrojen depolamada kullanılan Ni-MH pillerin elektrokimyasal performansları, kapasite, çevrim kararlılığı, akım yoğunluğu ve denge potansiyeli önemli özellikleridir. Bu Ni-MH'ların elektrokimyasal davranışları, çeşidine, mikroyapıya, intermetalik bileşikteki her bir elementin çeşidi ve miktarına ve gerçekleşen elektrokimyasal işlemlere bağlıdır. Bu elektrokimyasal özellikler, Ni-MH pillerin optimum performansını sağlamak için hidrojen depolama alaşımının bileşimi tasarılanarak değiştirilebilir (Tliha vd., 2014).

### 3.2. Hidrojen Depolama Alaşımları

Hidrojen depolama alaşımının temel veya geleneksel olarak  $\text{AB}_5$ -tipi alaşımlar,  $\text{AB}_2$ -tipi alaşımlar,  $\text{AB}_3$ -tipi alaşımlar,  $\text{AB}$ -tipi alaşımlar, Mg-bazlı alaşımlar ve V-bazlı katı çözelti alaşımını sınıflandırılabilir. Performansları, hidrojen depolama kapasiteleri, aktivasyonu ve çevrim kapasiteleri açısından büyük farklılıklar gösterir.

$\text{AB}_5$  ve  $\text{AB}_2$ -tipi çok bileşenli metal hidrür alaşımları, Ni-MH pillerde ticari kullanımları için yoğun bir şekilde incelenmektedir. (Tliha vd., 2014; Liu ve Pan 2013).

Farklı stokiyometrilerde A ve B metal elementi hidrojen depolama alaşımaları olarak kullanılmaktadır. A, periyodik tabloda 3. veya 4. sütündaki element, B bileşeni periyodik tabloda 5-10 sütünlarında bulunan geçiş elementtir. CaCu<sub>5</sub>-tip hekzagonal kristal yapısına sahip, AB<sub>5</sub>-tipi hidrojen depolama alaşımı için genellikle A nadir toprak elementi; B ise Ni, Co, Mn vb. geçiş elementinden oluşmaktadır. AB<sub>5</sub> tip hidrojen depolama alaşımalarının depolama kapasiteleri Çizelge 3.1'de verilmiştir (Çizelge 2), (Tliha vd., 2014;).

Çizelge 3.1. AB<sub>5</sub>-tip hidrojen depolama alaşımlarından bazılarının hidrojen depolama kapasiteleri (Tliha vd., 2014).

Kompozisyon	Hidrojen Depolama kapasitesi mAhg <sup>-1</sup>
<b>LaNi<sub>5</sub></b>	387
<b>LaNi<sub>4,7</sub>Al<sub>0,3</sub></b>	370
<b>LaNi<sub>4,25</sub>Co<sub>0,75</sub></b>	386
<b>LaNi<sub>3</sub> Co<sub>2</sub></b>	334
<b>LaNi<sub>4</sub>Cu</b>	334
<b>LaNi<sub>4</sub>Fe</b>	327
<b>LaNi<sub>4,6</sub>Mn<sub>0,4</sub></b>	386
<b>LaNi<sub>4</sub>Mn</b>	364
<b>LaNi<sub>4,5</sub>Sn<sub>0,5</sub></b>	304
<b>LaNi<sub>3,55</sub>Mn<sub>0,4</sub>Al<sub>0,3</sub>Co<sub>0,75</sub></b>	334
<b>MmNi<sub>3,55</sub>Co<sub>0,75</sub>Mn<sub>0,4</sub>Al<sub>0,3</sub></b>	332

AB<sub>5</sub> tipi, LaNi<sub>5</sub>'in Ni-MH pillerde negatif elektrot malzemesi olarak kullanımıyla ilgili pek çok çalışma bulunmaktadır ((Karwowska vd., 2014; Wronski vd., 2001; Cuevas vd., 2001; Zhou vd., 2013; Liang vd., 2001; Song vd., 2015; Tliha vd., 2014; Slepiski v d., 2009; Kim vd., 1999; Ovshinsky ve Fetcenko, 2001; Wang vd., 2008; Ruiz vd., 2010; Han vd., 2005) Ancak bu çalışmalar sonucunda LaNi<sub>5</sub> alaşımının oldukça yüksek denge basıncı ve az çevrim ömrüne sahip olduğu görülmüştür. AB<sub>5</sub> tipi, LaNi<sub>5</sub>'in lantanyumun yükseltgenmesiyle yüzeyinde La(OH)<sub>3</sub> ve nikel tanelerinin oluşumu çevrim kararlılığının az olmasına, hidrojen depolama sırasında hacim değişiminin olması ufanmasına sebep olmaktadır (Cuevas vd., 2001).

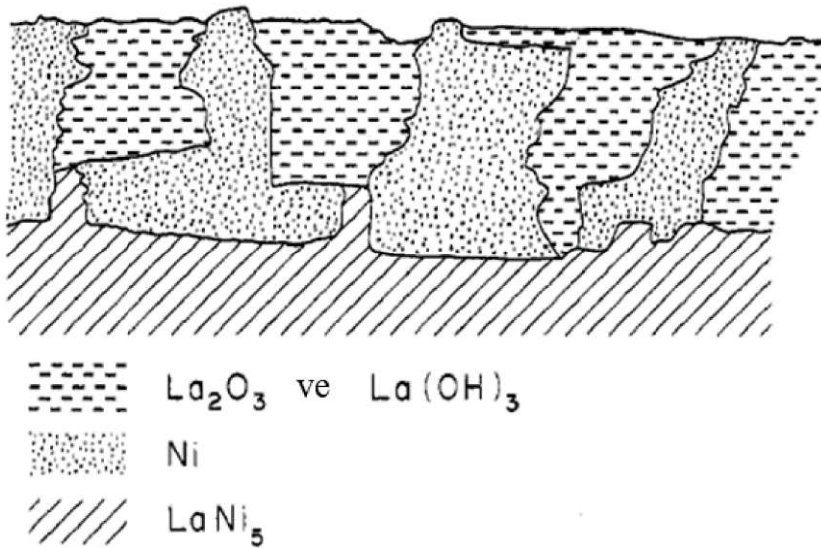
Bir LaNi<sub>5</sub> hücresi LaNi<sub>5</sub>H<sub>6</sub> formunda 6 hidrojen atomu absorblamaktadır. Bu teorik olarak 372 mAsg<sup>-1</sup>'dir. Hidrojen depolama alaşımı olarak LaNi<sub>5</sub> alaşımları ile yapılan çalışmalar çevrim kararlılıklarının iyi olmaması sebebiyle pratikte kullanılmanın zor olduğunu göstermiştir (Liang vd., 2001; Pandey vd., 2007; Zhu vd., 2007; Deng vd., 2006; Kuang vd., 2014). Ancak LaNi<sub>5</sub>'in elektrokimyasal çevrim kararlılığının geliştirilmesi amacıyla Ni atomlarının Co atomları ile kısmi yer değiştirmesiyle geliştirilebileceğinin mümkün olduğu anlaşılmışla birlikte, AB<sub>5</sub>-tipi Ni-MH piller için, A grubunda La, Ce, Pr, Nd ve B grubunda Ni, Co, Mn, Al, Ti, Sn, veya Fe içeren 250-350 mAsg<sup>-1</sup> arasında kapasitelerde hidrojen depolama alaşımları geliştirilmiştir. (Liu vd., 2011a).

LaNi<sub>5</sub> 'in oluşturduğu hidrür yapısının birincisi hidrojen içeriği az olan  $\alpha$  fazı, LaNi<sub>5</sub>H<sub>0,3</sub> ikincisi hidrojen içeriğiyle daha fazla  $\beta$  fazı, LaNi<sub>5</sub>H<sub>5,5</sub>'dir.  $\alpha$  ve  $\beta$  fazı arasındaki birim kafes hacim değişimleri %25 olmakla birlikte,  $\alpha$  fazından  $\beta$  fazına geçişte kafeste oluşan genişleme alaşımın ufalanmasına neden olduğu görülmektedir (Kleperis, 2001). Elektrot malzemelerin ticari şarj edilebilir pillerde rekabet edilebilmesi için üretim maliyeti yüksek olan elementlerin kullanımının azaltılması veya bu elementler yerine başka elementlerin kullanılması ile üretim maliyetini düşürmek mümkün olmaktadır (Yao vd., 2014).

LaNi<sub>5</sub> yüzeyinde La(OH)<sub>3</sub> ve elemental nikel bulundurmaktadır. Yüzeyde bulunan bu pasif tabakaya rağmen LaNi<sub>5</sub>'in nasıl hidrojeni absorbladığı; 1) çözünmüş oksijenin yüzeye göç etmesi ve LaNi<sub>5</sub> ile reaksiyonu veya 2) LaNi<sub>5</sub>'in atmosferik oksijen ile reaksiyonu (3.6) gerçekleşmektedir.



Oksit oluştuğunda Ni ayrışarak yüzeyde belli aralıklarda bulunur (Şekil 3.2) bunun sonucunda yüzeye 50-100 Å kalınlığında Ni ve La<sub>2</sub>O<sub>3</sub> karışımı bulunmaktadır. Eğer sistem H<sub>2</sub> ile temas ederse, atomik hidrojen oluşacak ve hızlıca oksit tanelerine ulaşacaktır. Daha sonrasında La<sub>2</sub>O<sub>3</sub> ile etkileşimi sonucunda La(OH)<sub>3</sub> oluşacaktır (Wallace vd., 1979).



Şekil 3.2.LaNi<sub>5</sub> yüzey fazlarının şematik gösterilmesi.

Yüzeydeki bu parçalı tabaka hidrojenin LaNi<sub>5</sub> ile etkileşimine izin vermektedir. Hidrojen Ni ve La(OH)<sub>3</sub>'te çok düşük çözünürlüğe sahip olmasından dolayı hidroksit-Ni araya yüzeyinden ilerleyerek LaNi<sub>5</sub>'e ulaşmaktadır (Şekil 3.2) Şekil 3.2'de görülen A fazlarının toprak alkali metalle yer değiştirmesi şarj/deşarj çevrim ömrüne olumlu etki yapacağı görülmektedir. (Wallace vd., 1979; Adzic vd., 1995). LaNi<sub>5</sub> hidrojen depolama alaşımına kısmi olarak ilave edilen elementlerin hidrojen depolama alaşımının elektrokimyasal özelliklerine etkileri Çizelge 3.2'de verilmiştir.

Çizelge 3.2. Elementlerin AB<sub>5</sub> tip hidrojen depolama alaşımlarının üzerindeki etkileri.

Element	AB <sub>5</sub> tip hidrojen alaşımlarına elementlerin etkileri
Al	Korozyon direncini artırır Daha az uflanma(pulverization) Çevrim kararlılığını artırır. Aktivasyon özelliklerini artırır.
Co	Hidrojen depolama sırasında hacimsel genişlemeyi azaltır (Pulverization azalır) Hidrürleme/dehidrürleme basıncını düşürür. Aktivasyonu artırır. Çevrim ömrü artar

<b>Fe</b>	Korozyon direncini artırır Elektrokimyasalreaksiyonun kinetik özelliklerini geliştirir. Yüzey aktivasyonunu artırır.
<b>Mn</b>	Elektrokimyasal reaksiyonun kinetik özelliklerini geliştirir. Hidrojen depolama kapasitesini artırır. Aktivasyonu artırır. Çevrim Kararlılığını artırır.
<b>Sn</b>	Elektrokimyasalreaksiyonun kinetik özelliklerini geliştirir. Aktivasyonu artırır. Çevrim kararlılığı artar Çevrim ömrü artar.
<b>Si</b>	Al, Mn göre elektrokimyasal kinetik özelliklerini daha iyi geliştirir. Aktivasyon özelliklerini artırır.
<b>Ce</b>	Kafes kristal yapısını değiştirmez. Kafes parametresi artar. Korozyon direncini artırır. Çevrim ömrünü artırır. Hidrojen depolama kapasitesini artırır Yüksek hız deşarj edilebilirliği artırır.
<b>Nd, Pr</b>	Hidrojen depolama kapasitesini artırır Yüksek hız deşarj edilebilirliği artırır Aktivasyon özelliklerini artırır.

### 3.3. Titanyum eklenmesinin Hidrojen Depolama Alaşımlarına Etkisi

Hidrojen depolama alaşımlarına Ti eklenmesi aynı Mg gibi etki yaratarak hibrit oluşmasına neden olmaktadır. Şarj/deşarj çevrimleri sırasında titanyum alaşım yüzeyine yayılarak atomik hidrojenin geçiş'i için hidroksit tabakası bariyerinden kolay transfer yolları olmasını sağlamaktadır (Jiang and Gasik, 2000; Anık, 2009b). Titanyumun alaşımı eklenmesi ve hidrojen depolamasına etkileri incelendiğinde;

MgNi, Mg<sub>0,9</sub>Ti<sub>0,1</sub>Ni ve Mg<sub>0,9</sub>Ti<sub>0,06</sub>Zr<sub>0,04</sub>Ni alaşımalarını mekanik alaşımlama yöntemi kullanarak üretildiği çalışmaya bakıldığından, MgNi, Mg<sub>0,9</sub>Ti<sub>0,1</sub>Ni alaşımalarında titanyum eklenmesi ile maksimum deşarj kapasitesini 432 mAsg<sup>-1</sup>'den 412,6 mAsg<sup>-1</sup>'e düşmesine rağmen kapasite koruma oranı 15, 30 ve 50, çevrimlerde titanyumca zengin Mg<sub>0,9</sub>Ti<sub>0,1</sub>Ni alaşımında daha yüksek olduğu görülmüştür. Aynı çalışmada, Ti ve Zr eklenmesinin alkali çözeltide korozyonu engelleyici davranışını geliştirdiği gözlenmiştir (Feng vd., 2007).

(La<sub>1-x</sub>Ti<sub>x</sub>)<sub>0,67</sub>Mg<sub>0,3</sub>Ni<sub>2,75</sub>Co<sub>0,25</sub> (x: 0, 0,05, 0,1, 0,15, 0,2) hidrojen depolama alaşımaları hazırlanarak farklı miktarlarda titanyum eklenmesinin hidrojen depolamalarına etkisi incelenmiş deşarj kapasitelerinin titanyum içeriğinin artması ile azaldığını göstermiştir. Alaşımaların maksimum hidrojen depolama kapasiteleri sırasıyla 384,6 mAsg<sup>-1</sup>, 381 mAsg<sup>-1</sup>, 359,8 mAsg<sup>-1</sup>, 343,6 mAsg<sup>-1</sup> ve 321,9 mAsg<sup>-1</sup>'dir. Deşarj kapasitesinin düşmesinin sebebi oksidasyon ve ufalanmadan ötürü olduğu açıklanmıştır. Optimum miktarda eklenen titanyumun çevrim kararlılığını iyileştirdiğini göstermişlerdir (Dong vd., 2010a).

(La<sub>0,67</sub>Mg<sub>0,33</sub>)<sub>1-x</sub>Ti<sub>x</sub>Ni<sub>2,75</sub>Co<sub>0,25</sub> (at. % x: 0, 0,05, 0,10, 0,15 ve 0,20) hidrojen depolama alaşımaları hazırlanarak alaşım yapısı, elektrokimyasal özellikleri ve kinetik karakteristikleri incelenmiştir. Alaşımaların maksimum deşarj kapasitelerine ulaşması için 5 çevrim aktive edildiği ve Ti içeriğindeki artışla alaşım elektrotlarının maksimum deşarj kapasitesi 386,7 mAsg<sup>-1</sup> (x: 0) değerinden 319,6 mAsg<sup>-1</sup> (x: 0,20) değerine düşüğünü göstermişlerdir. Titanyum miktarına bağlı olarak belli bir miktarın üzerinde eklenmesi durumunda çevrim kararlılığının düşüğünü açıklamışlardır (Dong vd., 2010b).

Mg<sub>2</sub>Ni hidrojen depolama alaşımı için, Mg'nin yerine Al, Ti ve Zr alaşımaları eklenmiş elektrokimyasal hidrojen depolama performansındaki değişimine bakılmıştır. Mg<sub>2</sub>Ni alaşımı 20 çevrim sonunda başlangıçtaki deşarj kapasitesinin %10'unu koruyabildiği görülmüştür. Mg<sub>1,5</sub>Ti<sub>0,5</sub>Ni alaşımı çalışmada elde edilen en yüksek deşarj kapasitesine sahiptir ve 20 çevrim sonunda başlangıçtaki deşarj kapasitesinin %34'ünü korumuştur. Sonuçta titanyumda hidrür yapıcı bir elementtir ve alaşımın deşarj kapasitesi titanyum varlığında yükselmektedir (Anık, 2009).

## 4. LİTERATÜR ARAŞTIRMASI

Tez çalışmasının bu kısmında elektro-deoksidasyon prosesi ve hidrojen depolama ile ilgili literatür çalışmaları kısaca özetlenmektedir.

### **4.1. Elektro-deoksidasyon Yöntemiyle Alaşım Üretime**

Chen, Fray ve Farthing'in 2000 yılında yaptıkları çalışmalarında, titanyum metalinin oksitli yapısından geleneksel Kroll yöntemiyle indirgenmesine alternatif bir üretim yöntemi geliştirmişlerdir. Bu çalışmada, ergimiş  $\text{CaCl}_2$  çözeltisi içerisinde bir dizi çevrimisel voltametri deneyleri gerçekleştirilmiş,  $950^\circ \text{C}$ 'de grafit çubuk yardımıyla titanyum levhaların indirgenme işlemi gerçekleştirılmıştır. Deneysel çalışmalar  $3.0 \text{ cm}^2$ 'lik bir yüzey alanında gerçekleştirilmiş indirgenme potansiyelleri  $2.8\text{-}3.2 \text{ V}$  aralığında uygulanmıştır.  $\text{TiO}_2$  fazı normalde yalıtkan olmasına rağmen ikili faz diyagramı incelendiğinde çok küçük miktarlarda oksijen kaybıyla  $\text{TiO}_{(2-x)}$  oluşturan iletken Magnelli fazı sayesinde elektro-deoksidasyon yöntemiyle titanyumun indirgenmesi gerçekleştiğini göstermişlerdir (Chen vd.,2000).

Chen ve Fray'in 2004 yılında yaptıkları çalışmalarında,  $\text{Cr}_2\text{O}_3$ 'ün elektrolizi için, metal tozu üretiminde, % 75 ve  $5 \text{ kWh / kg}$ 'lık akım verimi ve enerji tüketimi sırasıyla %75'in altında oksijen elde edilebildiği ve bununla birlikte,  $\text{TiO}_2$ 'nin elektrolizinin daha az etkili olduğu göstermektedirler. Deneysel gözlemlere ve varsayımsal modellere dayanarak; (1) üç fazlı ara çizgide (sınırda) ayrılmış elektron ve oksijen transferi, (2) metal atomunun bir araya getirilmesi ve oksit yüzeyinin yenilenmesi, (3) azaltma mekanizması, arka arkaya oksit partikül metalizasyonu, (4) üç fazlı arafaz ve oksit katod yüzey metalizasyonu, (5) kalsiyumun metal oksit katoduna karışması, (6) katı ve sıvı fazlarda oksijen taşınması, (7) etkileşimleri indirgenme öncesi ve sonrasında ergimiş tuz ve katot arasındaki ilişkileri, göstermektedir. FFC Cambridge prosesinde elektro-deoksidasyonun tamamlanabilmesi için uzun sürelerde ihtiyaç duyulduğu ve bunu peletin yoğunluğu ile bağlantılı olduğunu bunun sonucunda ise, gözenekli pelet yapısının tercih edilmesinin uygun olacağını göstermektedir (Chen vd.,2004).

Hu vd., 2017 yılında yaptıkları çalışmalarında, FFC Cambridge prosesinin düşük akım verimliliği sebebiyle geleneksel yöntemlerle karşılaştırıldığında önemli bir avantaj sağlayamadığı değerlendirilmiştir. Bu sebeple, farklı elektro-deoksidasyon hücre tasarımlarının verime etkileri incelenmiştir. Kısa devre ve grafit anotun ürettiği karbonun kirletmesinden korumak amacıyla katot alümina bir tüp içerisinde yerleştirilmiştir. DeneySEL sonuçlar elektroliz hücresindeki elektriksel yoğunluğunu azaltarak mevcut verimin iyileştirilebileceğini göstermektedir. Kirlilikten kaynaklanan akım yoğunluğunun değişkenliğinin azaltılmasıyla; anotun tükenmesi azalır, katot daha az kirlenir ve numunelerin indirgenmesi daha kolay gerçekleşir. FFC Cambridge prosesinde uygulanan sabit potansiyel sonucunda ortaya çıkan elektriksel iletkenlik arka planda gerçekleşen yüksek akıma ve verimliliğin düşmesine sebep olan etken olduğu göstermektedir. Elektro-deoksidasyon prosesinde elektriksel akımın kontrol altına alınması mevcut verimliliği arttırmada en önemli etkenlerden birisi olduğu görülmektedir (Hu vd.,2017).

Vishnu vd., 2015 yılında yaptıkları çalışmalarında, ağırlıkları 1,5-10g arası değişen 1200 ve 1400°C'de sinterlenen TiO<sub>2</sub> toz numunelerinin, elektrokimyasal indirgenmesinde numune ağırlığı ve sinter sıcaklığının etkileri araştırılmıştır. Ağır ve hafif numunelerinin her ikisinde de numune miktarlarında azalma olmasına rağmen hafif numunelerinin indirgenmelerinin daha iyi olduğu görülmüştür. Numune ağırlıkları daha fazla olan elektro-deoksidasyon deneylerinde daha az olan numunelere göre anot malzemesi grafitin daha fazla aşındığı ve bu durumun düşük sıcaklıklarda sinterlenen numunelerin tane boyutları ile ilişkilendirilmiştir. 1200°C'de sıcaklıkta sinterlenen numunelerin porozitelerinin aksi duruma göre daha yüksek olması sebebi sadece elektro-deoksidasyon deneyleri sırasında elektrolitin iç kısma doğru ilerlemesini sağlamaz bunun yanı sıra reaksiyon ara yüzeyindeki oksijenin uzaklaşmasını sağladığı görülmektedir (Vishnu vd.,2015).

Du Ji hong vd., 2007 yılında yaptıkları çalışmalarında, TiO<sub>2</sub> pelet numunelerin içerisinde çeşitli miktarlarda CaO ve CaCO<sub>3</sub> ekleyerek elektro-deoksidasyon deneylerindeki düşük akım yoğunluğu ve reaksiyon hızlarının yavaş olmasının önüne geçebilmek amaçlamışlardır. % 1 ila % 5 arasında CaO eklenen TiO<sub>2</sub> numunelerinin elektro-deoksidasyonu sonrasında yapıda Ti yanında CaTiO<sub>3</sub> gözlenmekte; % 15 oranında CaO eklenen TiO<sub>2</sub> numunelerinde ise sadece Ti metali gözlemlenmiştir. CaCO<sub>3</sub> eklenen numunelerde de elektro-deoksidasyon ürünü olarak en iyi sonuçlar % 15 oranında eklenen

numunelerde görülmüştür.  $TiO_2$  tozlarına  $CaO$  ve  $CaCO_3$  eklenmesi elektro-deoksidasyon deneylerinde reaksiyon hızına olumlu etki yarattığı görülmektedir (Du Ji Hong vd., 2007).

Schwandt C. vd., 2005 yılında yaptıkları çalışmalarında, ergimiş  $CaCl_2$  çözeltisi içerisinde  $TiO_2$ 'nin Ti metaline indirgenmesinin kinetiği incelenmiştir. Deneylerde farklı reaksiyon sürelerinde tamamlanmış ardından taramalı elektron mikroskopu ve X-ray analizi yoluyla incelemelerinin sonunda indirgenin ardı ardına gerçekleşen pek çok reaksiyonla ilerlediği görülmektedir. Titanyum dioksitin elektrokimyasal indirgenmesinin ilk aşamasında, titanyumun çeşitli yapıdaki alt oksitleri  $Ti_xO_y$  ve kalsiyum titanat ( $CaTiO_3$ ) oluşturur; ikinci aşamada daha önceden oluşturulmuş kimyasal bileşikler arasındaki reaksiyondan kaynaklandığı düşünülen ve düşük değerli bir titanat olan  $CaTi_2O_4$ 'e ve son aşamada,  $CaTi_2O_4$  ayrıştırılır ve  $TiO$  oluşur nihai ürün olan titanyum metali de oksijenin çözelti içerisinde indirgenmesiyle elde edildiği görülmektedir. çalışmanın sonucunda kalsiyum metalinin çözeltideki varlığı ve zamanla azalan oksijen miktarıyla kalsiyumun da azalmasının kinetiği etkileyen bir faktör olduğu anlaşılmaktadır (Schwandt vd., 2005).

Ergimiş  $CaCl_2$  çözeltisi içerisinde titanyum oksidin indirgenme mekanizmasını anlaşılabilmesi amacıyla geri elektromotor kuvveti deneyleri, sabit voltaj deneyleri, farklı katotların kullanılması ve çevrimsel voltametri deneyleri gerçekleştirılmıştır. Sonuçlar indirgenmenin adım adım gerçekleştiğini ve titanyum dioksitin doğrudan indirgenmesinin birincil katodik reaksiyon olmasının yanı sıra katotta pek çok kalsiyotermik reaksiyonun da gerçekleştiğini göstermektedir (Wang Bin vd., 2015).

X.Y.Yan vd., 2009 yılında yaptıkları çalışmalarında, ergimiş  $CaCl_2$  ya da  $CaCl_2$  ve  $XCl$  (x: Na, Li) çözeltileri içerisinde niobyum alüminatların niobyum ve alüminyum karışımı peletlerden doğrudan indirgenmesi araştırılmıştır. Yapılan çalışmada artan sinter sürelerinin poroziteye ciddi oranda etki etmediği; peletlerin mukavemetini arttırdığı görülmektedir.  $CaCl_2$  çözeltisinin yerine ötektik  $CaCl_2+NaCl$  çözeltisi kullanıldığında elde edilen yapı düşük karbondioksit çözünürlüğü ve çözünmüş  $O^{2-}$  aktivitesinin azalır ve bunun sonucunda niobyum alüminatlarda karbonun toplanmasını düşürdüğü görülmektedir. Elektro-deoksidasyon deneylerinin en düşük katodik potansiyelde gerçekleşen reaksiyonlarla başladığı ve böyle devam ettiği, bu durumun uygulanan potansiyelden bağımsız olduğu anlaşılmaktadır. Peletlerin oksijen içeriği deney süresince

ilk 2 saatte hızla azaldığı sonraki 3-4 saatte ise yükseldiği ve bunun sebebi elektrolitteki çözünmüştür oksijenin CaO ve oksitli katot arasındaki kimyasal reaksiyonlar olarak açıklanmıştır (X.Y.Yan vd.,2009).

Gordo vd., tarafından, Cr<sub>2</sub>O<sub>3</sub> redüklenmesi 900 ° C ile 1450 ° C arasında değişen sıcaklıklarda sinterlenen peletler, kullanılmıştır (2004). Cr<sub>2</sub>O<sub>3</sub>'den Cr indirgenmesi 600 ° C ile 950 ° C arasında değişen sıcaklıklarda hem saf CaCl<sub>2</sub> hem de NaCl-CaCl<sub>2</sub> ötektik kompozisyonu içerisinde gerçekleştirilmiştir. Elektroliz hücre voltajı 2,8 V ila 3,3 V arasında değişmekte ve süresi genelde 4 saat olarak uygulanmıştır. Sonuçlar redüksiyonun düşük sıcaklıklarda sinterlenen numunelerde daha iyi gerçekleştirildiğini göstermiştir. Bu durum küçük parçacık boyutları ve düşük sıcaklıklarda sinterleme ile ilişkilidir. 2,8 V'den 3.3 V'e artan hücre gerilimi oksijen içeriği azalması sebep olmakla birlikte, ancak mevcut verimi de azaltmıştır (Gordo vd., 2004).

Xue Kang vd., 2009 yılında yaptıkları çalışmalarında, LaNi<sub>5</sub> alaşımı CaCl çözeltisine göre daha düşük ergime noktası olan, CaCl<sub>2</sub>-NaCl ötektik çözeltisi içerisinde 850°C'de elektro-deoksidasyon yöntemiyle üretimi incelenmiştir. Değişen deoksidasyon sürelerine bağlı olarak XRD, SEM VE EDX analizlerine bakıldığından La<sub>3</sub>Ni<sub>2</sub>O<sub>7</sub> ve NiO fazlarının LaNi<sub>5</sub> yapısının elde edilmesinde öncü olduğu görülmüştür. Elektro-deoksidasyonun ilk aşaması hızlı bir şekilde Ni ve LaOCl oluşumunu içermekte ve hemen sonrasında Ni ile karşılaşan yüzeylerde LaNi<sub>5</sub> görülmektedir (Kang vd., 2009).

Abdelkader A.M. vd., 2007 yılında yaptıkları çalışmalarında, zirkonyum oksidin, zirkonyuma elektro-deoksidasyon yöntemiyle indirgenmesi ve bu indirgenmeye etki eden uygulanan potansiyel, deoksidasyon süresi, ergimiş çözeltinin sıcaklığı ve kompozisyonu gibi faktörlerin etkisini incelemiştir. Farklı potansiyel değerleri uygulanarak yapılan deney sonuçları incelendiğinde, akım zaman grafiklerine bakıldığından, akımın zamanla azaldığı ve bu durumun hangi potansiyel uygulanırsa uygulansın zamanla düşüğü ve bu durumun metal oksidin içerisindeki oksijen çözünürlüğünə bağlı olduğu anlaşılmıştır. CaO<sub>2</sub>'nin ayrışma potansiyelinin (2,5V 900°C'de) üstünde ancak CaCl<sub>2</sub>'nin ayrışma potansiyelinin (3,2V 900°C'de) altında uygulanan potansiyelin (2,8V) uygun değer olduğu görülmüştür (Abdelkader A.M. vd., 2007).

Taylan Ö. vd., 2009 yılında yaptıkları çalışmalarında, Fe-%4,6 B合金 elektro-deoksidasyon yöntemiyle elde etme deneyleri 850 °C'de ergimiş CaCl<sub>2</sub> ve 600 °C'de CaCl<sub>2</sub>-NaCl ötektik çözeltisi içerisinde 3,1 V potansiyel uygulanarak gerçekleştirılmıştır. 850°C'de ergimiş CaCl<sub>2</sub> çözeltisi içerisinde gerçekleştirilen deneylerde Fe<sub>2</sub>O<sub>3</sub> ve borik asitten oluşan toz pelet Fe ve Fe<sub>2</sub>B karışım合金'ına tamamen indirgenmiş; 600 °C'de NaCl ve CaCl<sub>2</sub> ötektik çözeltide gerçekleştirilen deneylerde oksitlerin tamamen indirgenmesi için yeterli olmadığı görülmüştür (Örs T. vd., 2009).

Zhu vd., 2007 yılında yaptıkları çalışmalarında, La<sub>2</sub>O<sub>3</sub> ve NiO tozları elektro-deoksidasyon yöntemi ile hidrojen depolama deneylerinde kullanılan LaNi<sub>5</sub>合金'ını elde etmeyi amaçlamışlardır. Geçiş metallerinin nadir toprak metallerine elektro-deoksidasyon yöntemiyle indirgemesinde beklenen bazı zorluklar üzerinde durulmaktadır. Örneğin nadir toprak metalleri oldukça reaktif olması sebebiyle suda yıkanmamakta bunun sonucunda CaCl<sub>2</sub> tuzundan ayrılmaları zorlaşmaktadır. Diğer birçok metal oksitten farklı olarak La<sub>2</sub>O<sub>3</sub> ve ergimiş çözeltideki CaCl<sub>2</sub> kendiliğinden aşağıdaki reaksiyona girebilmektedir.



Bu reaksiyonun sonucunda daha fazla enerji ve katodun ergimiş tuz içerisindeki bütünlüğünün bozulmasına sebep olmaktadır. 1000°C'nin altında yapılan sinterleme görmüş peletler CaCl<sub>2</sub> ergimiş çözeltisi içerisinde kararsızdır bir bu durum malzeme kaybına sebep olmaktadır.

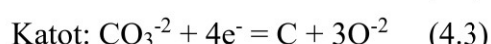
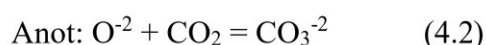
LaNi<sub>5</sub>合金'ının elektro-deoksidasyon yöntemiyle üretilmesindeki en önemli sorunlardan birisi de La<sub>2</sub>O<sub>3</sub>'ün havadaki nemi absorbe ederek La(OH)<sub>3</sub>'e dönüşmesidir. 200 °C'den yüksek sıcaklıklara hava ortamında yapılan ısıtmayla absorbe olan suyun uzaklaştırılması mümkün olabilmektedir.

La<sub>2</sub>O<sub>3</sub> yapısının vakum ya da koruyucu atmosfer kullanılmadan hava ortamında, 900-1400 °C sıcaklık aralıklarında 2 saat veya daha uzun süre sinterleme işlemeye tabii tutulması neme karşı duyarlılıklarını kaybetmesini sağlamaktadır. Zhu vd., çalışmalarında; La<sub>2</sub>O<sub>3</sub> ve NiO tozları kullanarak elektrodeoksidasyon yöntemi ile LaNi<sub>5</sub> tipi hidrojen depolama malzemesi elde etmişlerdir. Bu çalışma esnasında çeşitli problemlerle

karşılaşmışlardır.  $\text{La}_2\text{O}_3$  ve  $\text{NiO}$  tozlarının pelet haline getirilmesinde karıştırma ya da presleme aşamaları problemli değildir. Problem  $\text{La}_2\text{O}_3$ 'ün havadaki nemi absorbe ederek tamamen  $\text{La}(\text{OH})_3$ 'e dönüşmesidir. Absorbe olan su  $200^\circ\text{C}$ 'den yüksek sıcaklıklara havada ısıtma yapılarak etkili bir şekilde uzaklaştırılabilmektedir. Ancak dış ortamda soğuma gerçekleştirildiğinde suyunu kaybeden pelet kısa sürede tekrar suyu absorbe etmektedir.

Erdoğan M. ve arkadaşlarının 2017 yılında yaptıkları çalışmalarında,  $\text{CaMoO}_4$  ve  $\text{MoS}_2$  yapılarının elektro-deoksidasyon yöntemiyle ergimiş  $\text{CaCl}_2\text{-NaCl}$  çözeltisi içerisinde  $600^\circ\text{C}$ 'de bile indirgenmesinin mümkün olmadığı;  $750^\circ\text{C}$ 'de  $\text{MoS}_2$ 'nin indirgemesinin mümkün olduğu görülmektedir (Erdoğan M. vd., 2017).

Kilby K.T. ve arkadaşlarının 2010 yılında yaptıkları çalışmalarında, metal oksitlerin elektro-deoksidasyon yöntemiyle indirgenmesinde grafit ve  $\text{SnO}_2$  anot malzemeleri farklı kullanılarak,  $\text{Cr}_2\text{O}_3$ 'ün indirgenmesindeki etkileri araştırılmıştır.  $900^\circ\text{C}$ 'de gerçekleştirilen elektro-deoksidasyon deneyleri, grafit ve  $\text{SnO}_2$  anotları için potansiyeller 3,0 V, ve sadece grafit için 2,0 V seçilerek gerçekleştirilmiştir. Aynı potansiyel uygulanmasına rağmen ergimiş çözeltide karbon kirlenmesinin olmaması ve yüksek anodik potansiyelin düşük katodik potansiyele yol açması sebebiyle;  $\text{SnO}_2$  anot malzemesinin kullanılması deneylerde akım verimliliğini artttırduğu görülmektedir.



Her iki anot malzemesi için akım yoğunluğunun büyük yüzey alanları ya da daha düşük akım yoğunlukları kullanıldığı zaman azaldığı ve bunun yanı sıra anodik potansiyelin artışıyla birlikte katodik potansiyelin düşmesiyle ortaya çıkan yukarıda gösterilen parazitik reaksiyonların artışına sebep olduğu gözlenmiştir (Kilby K.T.. 2010).

Xie Kaiyu ve arkadaşının 2019 yılında yaptıkları çalışmalarında, demir oksit tozlarının düşük potansiyel kullanılarak elektrokimyasal yolla indirgenmesi incelenmiştir. Yapılan çalışmada elektrolit olarak  $\text{LiCl}$  kullanılmış; grafit potanın alt yüzeyi katot olarak kullanılarak hidrojenin açığa çıkışını ve bu hidrojenin doğrudan indirgenmede kullanılmasına olanak sağladığı görülmektedir.



Ergimiş LiCl çözeltisi içerisinde su iyonları ile karşılaşmasının ardından oluşan HCl katodun yüzeyinde indirgenerek hidrojen iyonlarının açığa çıkışını ve bu hidrojenin  $\text{Fe}_2\text{O}_3$ 'ün indirgenmesinde aşağıdaki tepkimeler sonucunda Fe elde edilebileceğinin mümkün olduğunu göstermektedir (Xie Kaiyu., 2019).



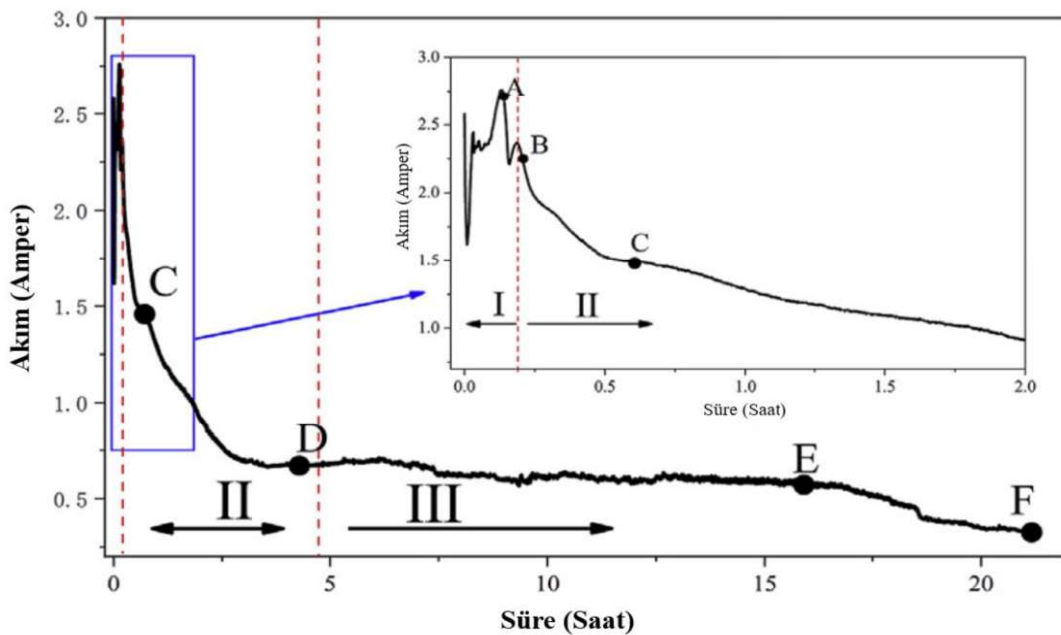
Zhao J. Ve arkadaşlarının 2019 yılında yaptığı çalışmaları, günümüzde kullanılan Lityum iyon pillerin geri dönüştürülmesi işleminde elektro-deoksidasyon yöntemi diğer yöntemlerle birleştirilerek kullanılması ve sonucunda lityum ve kobaltın elde edilmesinin mümkün olup olmadığı araştırılmıştır.  $\text{Li}_2\text{CO}_3$  hidrometalurjik bir yöntem olan liç ile ayırtırıp filtrasyon uygulandıktan sonra  $\text{Li}_2\text{CO}_3 + \text{Co(OH)}_2$  elde edildiği, kalsinasyon uygulanmış ve elde edilen  $\text{Co}_3\text{O}_4$  peletler ergimiş  $\text{Na}_2\text{CO}_3-\text{K}_2\text{CO}_3$  çözeltisi içerisinde 2,2 V potansiyel uygulanarak  $750^\circ\text{C}$ 'de elektro-deoksidasyon yöntemiyle Co indirgendiği görülmektedir (Zhao J., 2019).

S.Sri Maha Vishnu ve K.S. Mohandas ve arkadaşlarının yaptığı çalışmada  $\text{TiO}_2$  toz numunelerin  $1200^\circ\text{C}$  ve  $1400^\circ\text{C}$  1,5-10g arası değişen ağırlıklarda, 3.1V ve  $900^\circ\text{C}$  sıcaklığında elektrodeoksidasyon işlemi uygulanmıştır. Düşük sıcaklık ve düşük ağırlıkta sinterlenmiş numunelerin indirgenmesinin daha iyi olduğu gözlemlenmiştir. Ağırlık arttıkça indirgenmenin gerçekleşmesi zorlaşmaktadır. Boyut ve  $\text{TiO}_2$  partiküllerin numune içerisindeki konumlarının indirgenmede önemli bir role sahip olduğu belirtilmektedir (Vishnu S. ve Mohandas K.S., 2015).

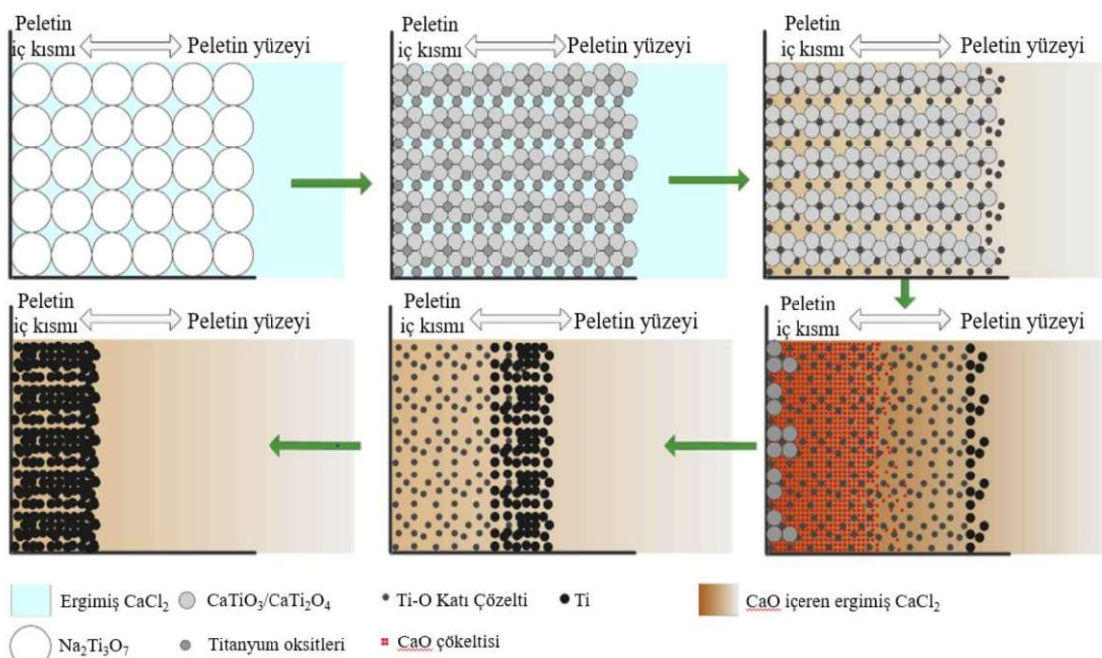
K.Liu ve arkadaşlarının 2019 yılında yaptıkları çalışmalarında, TiO indirgenmesinde kullanılan alkali metodunun ara ürünü olan  $\text{Na}_2\text{Ti}_3\text{O}_7$ 'nin (sodyum titanat) FFC Cambridge prosesi ile indirgenerek titanyum elde edilmesi amaçlanmıştır. Ergimiş  $\text{CaCl}_2$  çözeltisi içerisinde 900°C'de 3.1V potansiyel uygulanarak gerçekleştirilen deneylerde indirgenmenin üç aşamadan meydana geldiği; birinci aşamada elektrolitten gelen  $\text{Ca}^{2+}$  iyonlarının  $\text{Na}_2\text{Ti}_3\text{O}_7$ 'nin içine doğru ilerlemesi ve bunun sonucunda kalsiyum titanatların ( $\text{CaTiO}_3$  ve  $\text{CaTi}_2\text{O}_4$ ) oluşmasıdır. Bu aşama yaklaşık 30 dakikalık bir polarizasyonla meydana gelmekle birlikte  $\text{Ca}^{+2}$  iyonlarının peletin içerisinde doğru nüfuz etmesini içermektedir. Bu adım yeterli  $\text{Ca}^{+2}$  bulunasından dolayı çok hızlıdır. İkinci aşama oluşan bu kalsiyum titanatların peletlerin dışından içine doğru Ti-O katı çözeltisine indirgenmesidir. Yaklaşık 20 dakika ila 4 saat arası süren bir polarizasyon sürelerinde meydana gelmektedir.

Polarizasyon süresinin artmasıyla birlikte akım/zaman grafiğinden de anlaşıldığı gibi oluşan CaO metalin iç yüzeyine doğru hareketinin yavaş olmasından dolayı yeterli  $\text{Ca}^{+2}$  bulunamamasından indirgenme yavaşlamaktadır. Son aşama bu katı çözeltinin titanyum metalle indirgenmesi aşamalarından oluşur ve indirgenmenin en yavaş olduğu aşamadır. Şekil 4.1.'de bu adımlar gösterilmiştir.

İndirgenmenin üç aşamasında peletlerin kalınlıkları incelendiğinde, ilk iki aşamadaki indirgenme sırasında peletin kalınlığı sadece %2 oranında azalma gösterirken, son aşamada (4-22 saat elektro-deoksidasyon sürelerinde) peletin kalınlığı %40 oranında azalmaktadır (Liu vd., 2019).



Şekil 4.1. Na<sub>2</sub>Ti<sub>3</sub>O<sub>7</sub>'nin akım-zaman grafiği. (b) Ergimiş CaCl<sub>2</sub> çözeltisi içerisinde Na<sub>2</sub>Ti<sub>3</sub>O<sub>7</sub>'nin elektro-deoksidasyonun ilerlemesinin şematik gösterimi (Liu vd., 2019).



Şekil 4.2. Ergimiş CaCl<sub>2</sub> çözeltisi içerisinde Na<sub>2</sub>Ti<sub>3</sub>O<sub>7</sub>'nin elektro-deoksidasyonun işleminin şematik gösterimi (Liu vd., 2019).

Ergimiş CaCl<sub>2</sub> çözeltisi içerisinde Na<sub>2</sub>Ti<sub>3</sub>O<sub>7</sub> peletlerinde meydana gelen elektrokimyasal indirgemenin aşama aşama gerçekleştiği Şekil 4.1 ve 4.2'de gösterilmiştir.

Şekil 4.1'de akım/zaman grafiğinde görülen A-B-C alanlarındaki hızlı indirgenme Şekil 4.1'de ilk üç aşamayla, D-E-F alanları indirgenme; Ti-O katı çözeltisinin peletin dış kısmından iç kısmına doğru ilerlemesiyle ortaya çıkan CaO, çözelti içerisinde hızlı hareket edemez ve indirgenme için gerekli  $\text{Ca}^{+2}$  iyonlarının titanyumlu ikincil oksitlerle reaksiyona girmesi zorlaşır.

$$i = nFCA \left( \frac{D}{\pi t} \right)^{1/2} \quad (4.1)$$

(4.1) Cottrell dekleminde  $i$ ; ölçülecek akım,  $n$ ; transfer olan elektron sayısı,  $F$ ; Faraday sabiti,  $96.485 \text{ } ^\circ\text{C/mol}$ ,  $A$ ; Elektrot alanı,  $C$ ; Analit Konsantrasyonu,  $D$ ; Difüzyon sabiti,  $t$ ; Süre olarak ifade edilmektedir. Elektro-deoksidasyon süresi uzadıkça peletin iç kısmından dış kısmına doğru oksijen miktarının gittikçe azalmasıyla indirgenme yavaş ilerler. Elektro-deoksidasyon yukarıda bahsedilen aşamaların yanında,  $\text{O}_2$  iyonlarının peletin dışına kütle aktarımı ile kontrol edilen ve Cottrell denklemi; Denklem (4.1) ile tanımlanabilen elektrokimyasal bir süreçtir. Cottrell denklemi kullanılarak elektron transferi ve iyon taşıma mekanizmaları açıklanabilir (Liu vd., 2019).

## 5. MATERİYAL VE YÖNTEM

Bu çalışmada birinci grup  $Ti_{1,85}Zr_{0,15}Ni$ ,  $Ti_{0,5}Zr_{0,5}Ni$  alaşımları ve 2. grup  $LaNi_5$  alaşımına atomca 0,5 ve 0,33 oranlarında titanyum eklenmesiyle elde edilen  $La_{0,5}Ti_{0,5}Ni_5$  ve  $La_{0,67}Ti_{0,33}Ni_5$  alaşımlarının elektro-deoksidasyon yöntemiyle üretilerek hidrojen depolama özellikleri incelenmiştir. Çalışmada tozlar elektro-deoksidasyon yöntemi ile üretilmiş ve X-ışını kırınımı ve taramalı elektron mikroskopu ile belirlenmiştir. Üretilen tozların ergimiş tuzda çevrimsel voltametri deneyleri uygulanarak özellikleri belirlenmiştir. Elektro-deoksidasyon yöntemiyle üretilen tozlara hidrojen depolama deneyleri uygulanarak şarj-deşarj kapasiteleri ve çevrim kararlılıklarları araştırılmıştır.

### 5.1. Elektro-deoksidasyon Deney Tasarımı

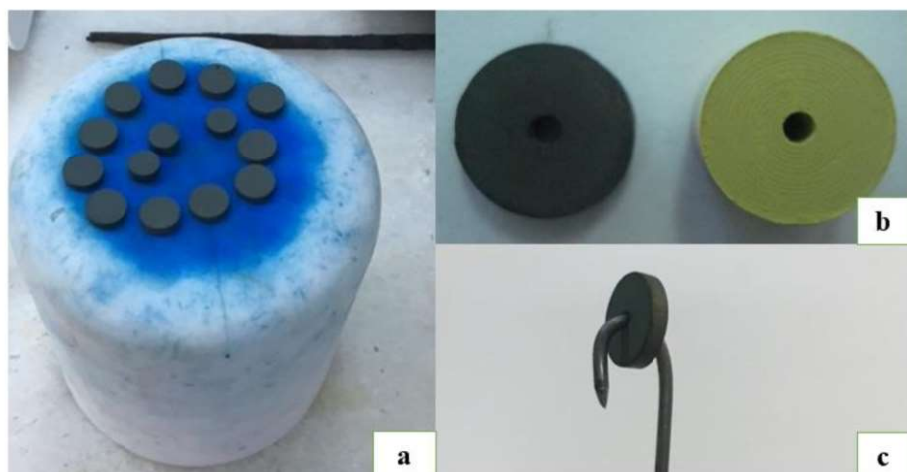
Elektro-deoksidasyon deney tasarımı oksit tozlarının hazırlanarak pelet numuneler haline getirilmesi, elektrolit hazırlanması, ön elektroliz ve elektro-deoksidasyon işlemi, numunenin temizlenmesi, hidrojen depolama deneyleri ve karakterizasyon aşamalarından oluşmaktadır.



Şekil 5.1. (a) Elektro-deoksidasyon deney tasarımlı b) Hücre görüntüsü c) Pota görüntüsü.

### 5.1.1. Metal oksit peletlerin hazırlanması

Çalışmada kullanılan oksit malzemelerin hazırlanması için teknik kalite Alfa Aesar işletmesinden;  $TiO_2$  (%99,7 saflikta),  $ZrO_2$  ve  $NiO$  (% 99 saflikta),  $La_2O_3$  (99,99 saflikta) tozları temin edilmiştir. Toz halindeki bu malzemeler 1. grup  $Ti_{0.5}Zr_{0.5}Ni$ ,  $Ti_{1.85}Zr_{0.15}Ni$  ve 2. grup  $LaNi_5$ ,  $La_{0.5}Ti_{0.5}Ni_5$ ,  $La_{0.67}Ti_{0.33}Ni_5$  kompozisyonlarına elde edilecek miktarlarda karıştırılmıştır. Oksit tozlarına ağırlıkça %3 polietilen glikol (PEG) organik bağlayıcı eklenmiş ve Fritsch, Pulverisette öğütücüsünde 100dev/dak. 4 saat karıştırılmıştır. Karıştırılan tozlar oda sıcaklığında alkol uçuruluncaya kadar kurutulmuş ve yine oda sıcaklığında 24 saat bekletilmiştir. Oksit tozlar  $1,5 \text{ ton/cm}^2$  (140MPa) basınç altında preslenerek 1 cm çaplı peletler elde edilmiştir. Peletlerin özellikleri; 0,8 g ila 1 g arası kütle, 1 cm çap, teorik yoğunluk % 68 ila % 71 iken pelet işleme uygun mukavemete sahiptir.

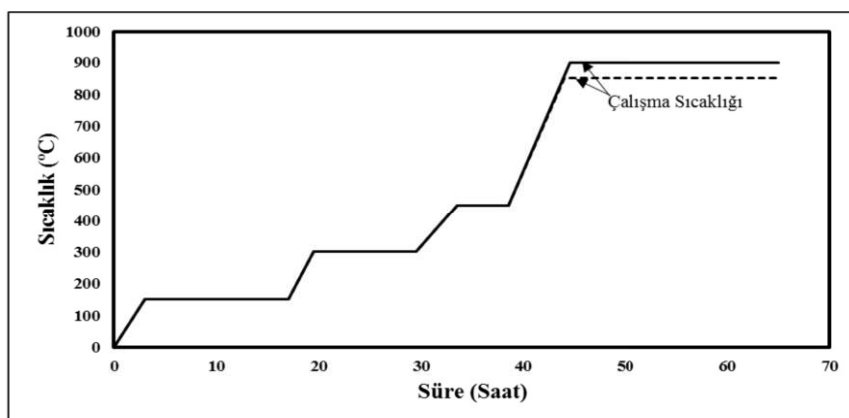


Şekil 5.2. a) Sinterlenmiş numuneler b) sinter numunesi yakın görüntüsü  
c)sinter sonrası deneye hazır katot tasarımlı.

Peletlerden 1. grup numuneler  $2 \text{ }^\circ\text{C/dak}$ . hızla  $250 \text{ }^\circ\text{C}$  1,5 saat tutulup yine  $2 \text{ }^\circ\text{C/dak}$ . hızla ısıtılıarak  $1100 \text{ }^\circ\text{C}$  'de 2 saat, 2. grup numuneler  $1200 \text{ }^\circ\text{C}$  'de 2 saat sinterlenmiştir. Hazırlanan peletler elektro-deoksidasyon işleminde katot olarak kullanılmıştır.

### 5.1.2. Elektrolitin hazırlanması

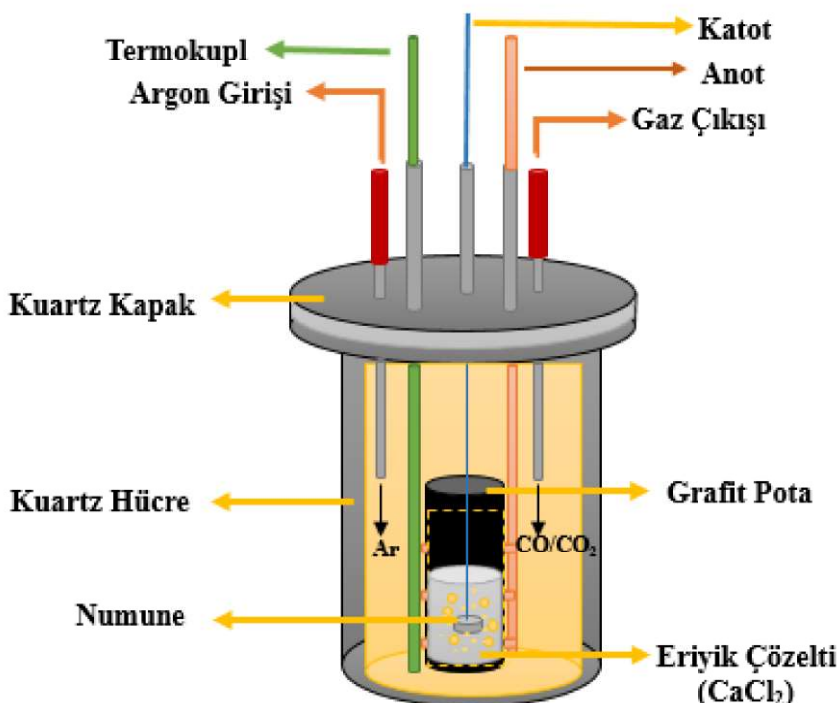
Elektro-deoksidasyon deneylerinde kullanılmak üzere grafit potanın içeresine, teknik kalite Alfa Aesar CaCl<sub>2</sub> (%99,95 saflıkta) + ağ.% 1 CaO (%99,95 saflıkta) + NaCl (%99,95 saflıkta) tozu kullanılmıştır. CaCl<sub>2</sub> tozunun aşırı nem çekme özelliğinden dolayı belli sıcaklarda kademeli olarak ısıtma suretiyle elektro-deoksidasyon deneylerine başlamadan önce 48 saat kurutma işlemi gerçekleştirilmiştir. Kalıntı nemin yavaş ısıtma ile kaldırılabileceği ve ergime noktasının altında bir sıcaklıkta uzun süre bekletileceği varsayımdan hareketle argon atmosferi altında Şekil 5.3'deki grafikte gösterildiği gibi 2°C/dak. hız ile ilk olarak oda sıcaklığından 50°C'ye, 50°C'den 150°C'ye, 150°C'den 450°C'ye, 450°C'den son olarak deney sıcaklığına (Ti-Zr-O deneyleri için 900°C, La-Ti-Ni-O deneyleri için 850 °C) çok yavaş ısıtma gerçekleştirilmiştir (Şekil 5.3.).



Şekil 5.3. Elektro-deoksidasyon deneylerinde kullanılan elektrolitin çalışma sıcaklığına ilerleyen kurutma adımları.

### 5.1.3. Ön elektroliz ve elektro-deoksidasyon deney koşulları

İlk grup elektro-deoksidasyon deneyleri kuvars, sızdırmaz paslanmaz çelik ve grafit hücre içerisinde denenerek gerçekleştirilmiştir (Şekil 5.4.). İkinci grup deneylerin tamamı akım verimliliğinin yüksek olması sebebiyle grafit pota kullanılmıştır. Ön elektroliz işlemi sırasında grafit pota (15cm uzunluğunda ve 6,5cm iç çapında) kullanıldığından potanın kendisi anot olacağından dolayı 2. bir grafite (katot) ihtiyaç duyulmazken; alümina ve paslanmaz çelik pota kullanıldığından bir katot ve bir anot grafit kullanılmıştır.



Şekil 5.4. Kuvars hücre şematik gösterimi.

Katotlardan biri ön elektroliz işlemi sonunda sistemden çıkarılmıştır. Sistem ön elektroliz ve elektro-deoksidasyon deneyleri tamamlanıncaya kadar sürekli olarak ( $\text{CaCl}_2 + \text{ağ. \% 1 CaO} + \text{NaCl}$  kurutma işlemi dahil) argon gazı ile beslenmektedir. Sistemin sıcaklığı potayı çevreleyen bir fırın ve buna bağlı kontrolör yardımıyla sağlanmıştır. Deoksidasyon potansiyostat (Parstat, 2273) yardımı ile alternatif akım kullanılarak gerçekleştirilmiştir. Akım değerleri potansiyostat üzerindeki yazılım yardımıyla bilgisayardan kontrol edilmiştir.

Deoksidasyon deneylerine geçmeden önce sisteme olabilecek diğer kirliliklerin giderilmesi amacıyla ön elektroliz işlemi  $900^\circ\text{C}$ 'de 1. katodun sisteme daldırılması ile grafit anotla 1.5V potansiyel altında 1-3 saat süre ile gerçekleştirilmiştir. Ön elektroliz işleminde uygulanan potansiyelde kalsiyum metali oluşumu imkansız iken, sudaki mevcut hidrojeni ya da mevcut kalsiyum hidroksit gibi yapıları ortadan kaldırmak için yeterlidir.

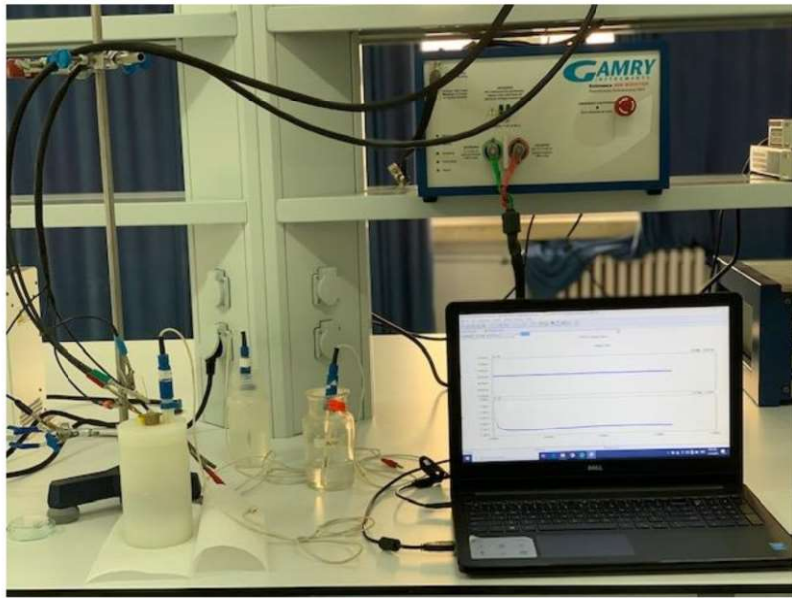
Ön elektroliz işleminde; 0,8 cm çapında grafit bir çubuk katot olarak kullanılmış işlemden sonra, grafit çubuk hücreden çıkarılmış ve elektro-deoksidasyon deneyleri için önceden hazırlanarak Şekil 5.2'de görüldüğü gibi ortalarından delinmiş olan oksit peletler rezistans teli yardımıyla hücreye indirilmiştir. Ön elektroliz sonrasında katot elektrolit üzerinden çekilmiş ve oksit karışımı peletin bağlı olduğu katot ergiyik çözeltiye daldırılmış ara vermeden deoksidasyon işlemine geçilmiştir. Elektro-deoksidasyon deneyleri kompozisyonlara göre belirlenen çalışma sıcaklıklarında  $900^{\circ}$  ve  $830^{\circ}\text{C}$ 'de programlanabilir doğru akım kaynağı ile (GWINSTEK PPH-1503) 3,2V potansiyelde gerçekleştirılmıştır.

#### **5.1.4. Numunelerin temizlenmesi**

Deney sonunda pelet elektrolit seviyesinin üstüne çekilmiş ve argon atmosferi altında fırında soğumaya bırakılmıştır. Sistemin kapağı açılarak peletin takılı olduğu paslanmaz çelik tel çıkarılmış, peletin üzerinde kalan  $\text{CaCl}_2$  katı kalıntılar kaynatılmış saf su ile üzerinden çıkarılmıştır. 1M HCl çözeltisinde 15-20 dak. tutularak temizlenen pelet, desikatörde  $100^{\circ}\text{C}$ 'de 24 saat kurutulmuştur.

#### **5.1.5. Hidrojen depolama**

Hidrojen depolama deneylerinde kullanılmak üzere elektro-deoksidasyon yöntemiyle üretilen çalışma elektrotları 0,1 gr alaşım ile 0,3 gr nikel tozu (Alfa Aesar firmasından temin edilmiş (%99,9 saflıkta) karıştırılmış sonrasında  $10 \text{ ton/cm}^2$  (980 MPa) basınç altında 15 dakika süre ile preslenerek 10 mm çapında numune elde edilmiştir. Elde edilen elektrotlar 6 M potasyum hidroksit (KOH) bulunan üç elektrotlu hücreye yerleştirilmiştir (Şekil 5.5). Hidrojen depolama deneyleri Gamry model Referans 3000 potansiyostat/galvanostat ünitesinde gerçekleştirılmıştır. Şarj akım yoğunluğu 100 mA/g, deşarj akım yoğunluğu 25 mA/g'dır ve deşarj  $-0,5 \text{ V}_{\text{Hg/HgO}}$  potansiyelinde durdurulmuştur.



Şekil 5.5. Hidrojen Depolama Deney Düzeneği (Gamry model Referans 3000 potansiyostat/galvanostat unite ve üç elektrotlu hücre).

### 5.1.6. Karakterizasyon

Elektro-deoksidasyon deneyleri sonucunda üretilen alaşımlardan alınan toz numunelerin karakterizasyonunda; alaşımın faz yapısı Cu K $\alpha$  radyasyonu kullanılarak X-Işını kırınımı (XRD) (Panalytical EMPYREAN marka) ve taramalı elektron mikroskopu (SEM) (JEOL JSM 5600 marka) cihazları kullanılmıştır.

## **6. BULGULAR VE TARTIŞMA**

Bu bölümde, birinci grup  $Ti_{0,5}Zr_{0,5}Ni$  ve  $Ti_{1,85}Zr_{0,15}Ni$  alaşımları ve ikinci grup  $LaNi_5$ ,  $La_{0,5}Ti_{0,5}Ni_5$ ,  $La_{0,67}Ti_{0,33}Ni_5$  alaşımlarının elektro-deoksidasyon yöntemiyle üretimi sinter yapısı, alaşım gelişimi ve hidrojen depolama deneysel çalışmalarının sonuçları gösterilmektedir.

### **6.1. $Ti_{0.5}Zr_{0.5}Ni$ Alasının Elektro-deoksidasyon Yöntemiyle Üretimi**

### **6.1.1. Ergimiş tuz elektrolizi**

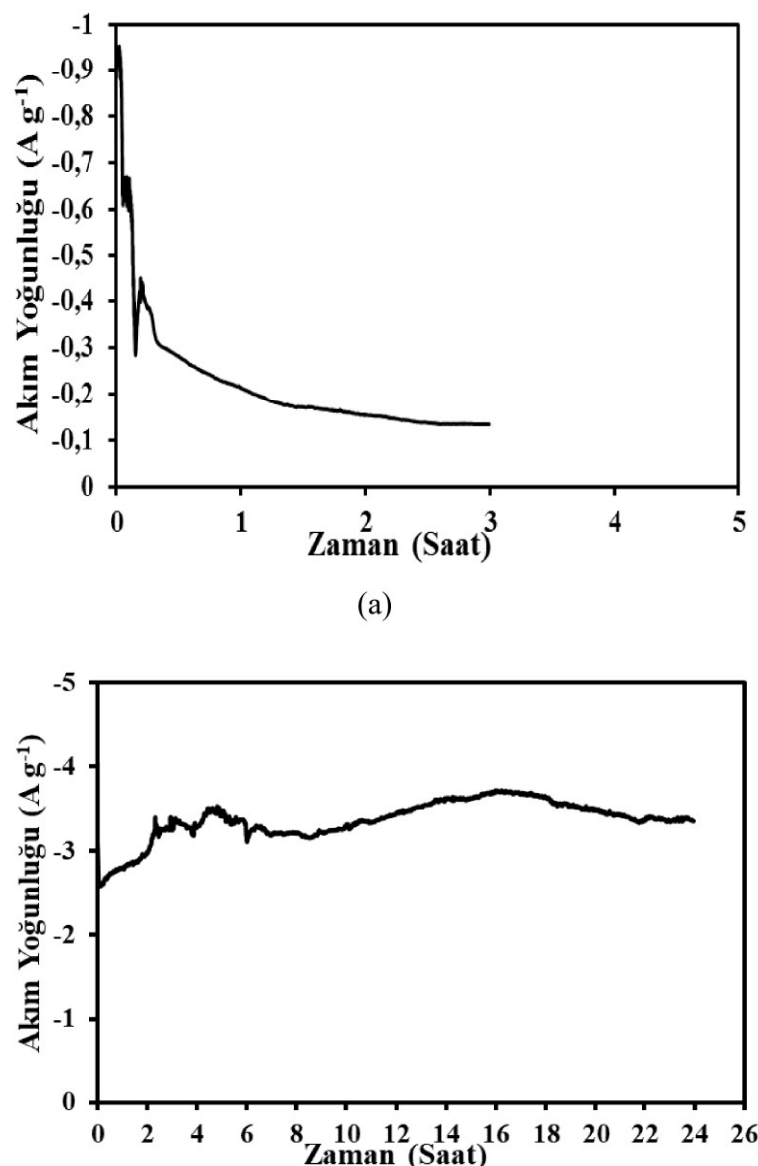
Elektro-deoksidasyon ve öncesinde katodik akım üreterek istenmeyen kirliliklerin ortadan kaldırılması amacıyla ön elektroliz olarak adlandırılan işlem sırasında ve elektro-deoksidasyon deneyleri sürecinde elde edilen akım-zaman eğrileri Şekil 6.1.a ve b' de gösterilmektedir.

-1.0 A gr<sup>-1</sup> akım yoğunluğunda başlayan ön elektroliz, 20 dakika içinde -0.3 A gr<sup>-1</sup> akım yoğunluğuna ardından, 2 ile 2.5 saatlik süreçte akım değeri -0.10 A gr<sup>-1</sup>'a düşerek bu değerde sabitlenmektedir.

Ön elektroliz işleminin tamamlanmasının ardından, grafit katot çıkartılmış, elektrodeoksidasyon sürecine başlanmıştır. Bu çalışmadaki en uzun süre olan 24 saatlik elektrodeoksidasyon sürecinde elde edilen akım-zaman eğrisi Şekil 6.1.b' de sunulmuştur. İlk elektrolizle akım  $-4.0 \text{ A gr}^{-1}$  akım yoğunluğuna çıkmakta ancak kısa bir süre sonra  $-2.5 \text{ A gr}^{-1}$ , a düşmekte olduğu görülmektedir.

Reaksiyon prosesi metal oksit numunenin temas ettiği paslanmaz çelik tel üzerinde başlar; grafik akımın önce hızla arttığını ve kısa bir sürede tepe noktasına erişikten sonra düşüğünü ve zamanla bir plato değerinde sabitlendiğini ve akım bu zamandan sonra nispeten küçük kalır ve zamanın bir fonksiyonu olarak az miktarda değiştğini göstermektedir (Abdelkader vd., 2013, Chen vd., 2004, K.Liu vd., 2019).

Başlangıçta gözlemlenen hızlı akım artışı oksit yüzeylerin ilk aşamadaki hızlı metalleşmesine bağlanmaktadır. Bu sistemdeki pik oksijen çözünürlüğünün başladığı anlamına geldiği göstermektedir (Chen vd., 1999). Zamanla numune içerisindeki oksijenin uzaklaşması için difüzyon mesafeleri artacağından akım zaman eğrisi belli bir stabil değerde devam ettiği görülmektedir (Anık vd., 2014).



Şekil 6.1. (a)  $\text{Ti0,5Zr0,5Ni}$  Alaşımının ön elektroliz işleminde (b) 24 saatlik elektro deoksidasyon işleminde elde edilen akım – zaman eğrisi.

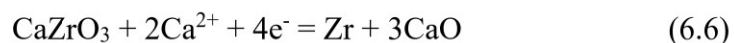
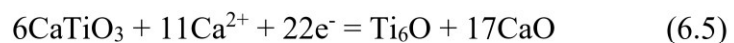
### 6.1.2. $Ti_{0,5}Zr_{0,5}Ni$ alaşımının yapısal ve morfolojik gelişimi

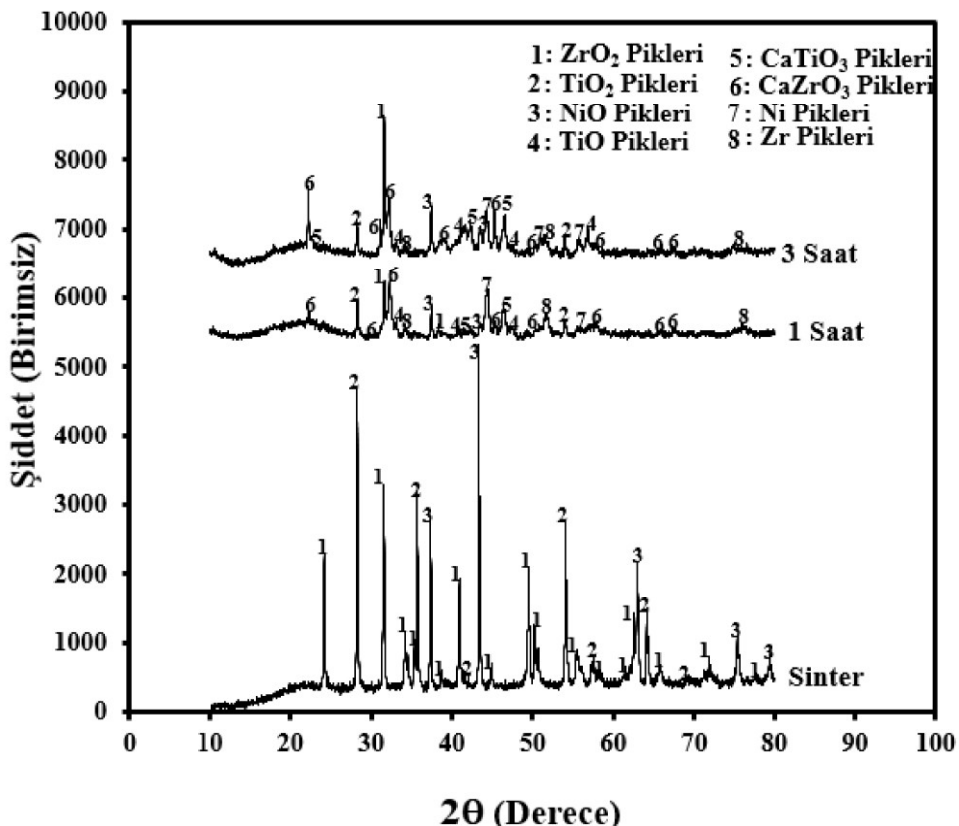
$Ti_{0,5}Zr_{0,5}Ni$  alaşımın elde edileceği şekilde hazırlanan ve sinterlenmiş oksit numunelerin farklı saatlerde elektro-deoksidasyon işlemi uygulandıktan sonraki XRD sonuçları Şekil 6.2, 6.3, 6.4'de gösterilmiştir. Sinterlenmiş numunenin X-Işın kırınım deseninde sadece  $TiO_2$ ,  $ZrO_2$  ve  $NiO$  pikleri mevcutken, elektro-deoksidasyonun başlamasıyla birlikte  $CaTiO_3$  ve  $CaZrO_3$  fazlarının ortaya çıktığı görülmüştür.

Metal oksitlerin ergiyik çözelti içerisinde metalik hale indirgenmesini amaçlayan elektro-deoksidasyon deneylerinin sonuçları, iyi tanımlanan reaksiyon adımlarının belirlenmesi aracılığı ile devam etmektedir. Alaşımın oluşum mekanizması aşağıdaki reaksiyonlarla ifade edilebilir. 3 saatlik elektro-deoksidasyon sürecinde gerçekleşen reaksiyonlar ((6.1), (6.2), (6.3)) aşağıdaki gibi verilebilir:



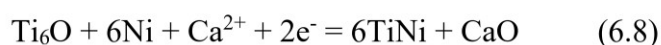
6-9 saatlik elektro-deoksidasyon süreleri sonunda oksitlere ( $TiO_2$ ,  $ZrO_2$ ,  $NiO$ ) ait piklerin tamamı,  $TiO$ ,  $CaTiO_3$ , ve  $CaZrO_3$  piklerinin büyük çoğunluğu 6 saatlik süreçte kaybolmakta ve sadece  $Ti_6O$ ' e ait pikler elektro-deoksidasyon ürünü olarak görülmektedir. Gerçekte bu tür oksitlerin pik pozisyonları birbirlerine çok yakın olduğu için XRD analizinde ayırt etmek çok zordur. Ancak deneysel sonuçlarla elde edilen verilere göre kesin olan indirgenme süreci boyunca titanyumun da oksijeni uzaklaşmaktadır. 9 saatlik elektro-deoksidasyon sürecinde gerçekleşen reaksiyonlar ((6.4), (6.5), (6.6)) aşağıdaki gibi verilebilir:

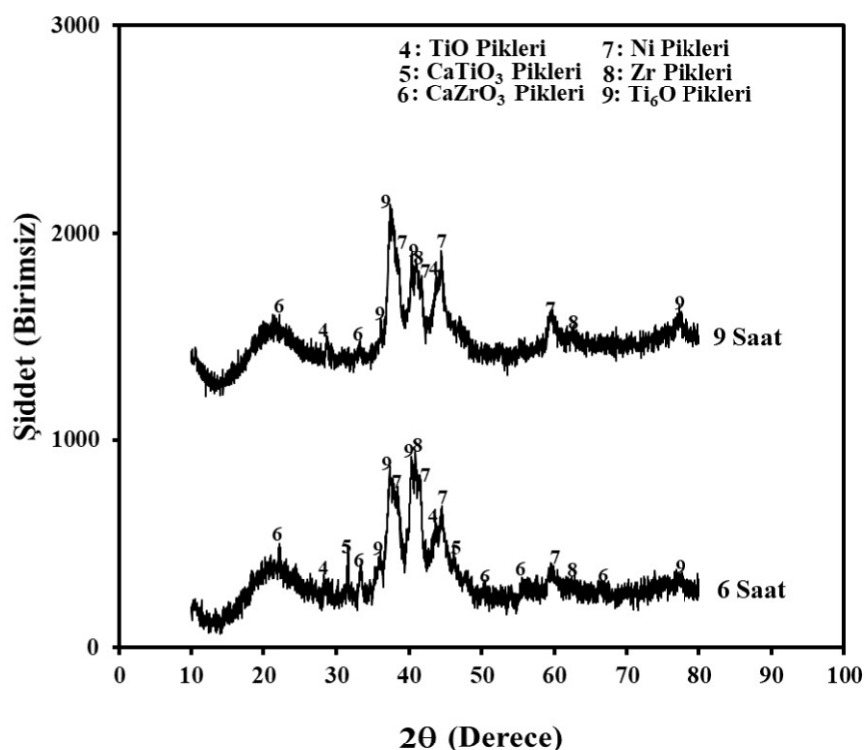




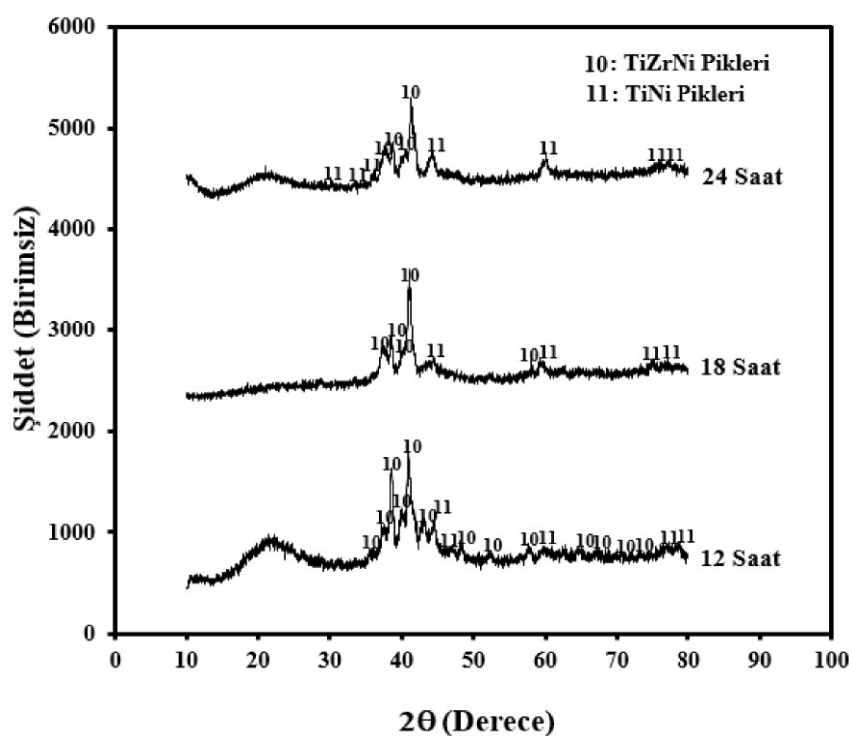
Şekil 6.2. Sinterlenmiş numune, 1 saat ve 3 saat elektro-deoksidasyona uğratılmış numunelere ait X-İşin desenleri.

Deoksidasyon sürecinin 12 saate ilerlemesiyle oksit numune yapısında değişimler oluşmaktadır. Şekil 6.4' de görüleceği üzere X-işin desenlerinde TiNi ve TiZrNi fazlarına ait pikler ortaya çıkmaktadır. Deoksidasyonun 24 saat kadar uzatılmasıyla farklı bir faza ait pik görülmemektedir ancak TiZrNi fazına ait pik sayısı azalmaktadır. TiO<sub>2</sub>-ZrO<sub>2</sub>-NiO sisteminin son elektro-deoksidasyon sürecinde gerçekleşen reaksiyonları ((6.7), (6.8), (6.9)) aşağıdaki gibi verilebilir:

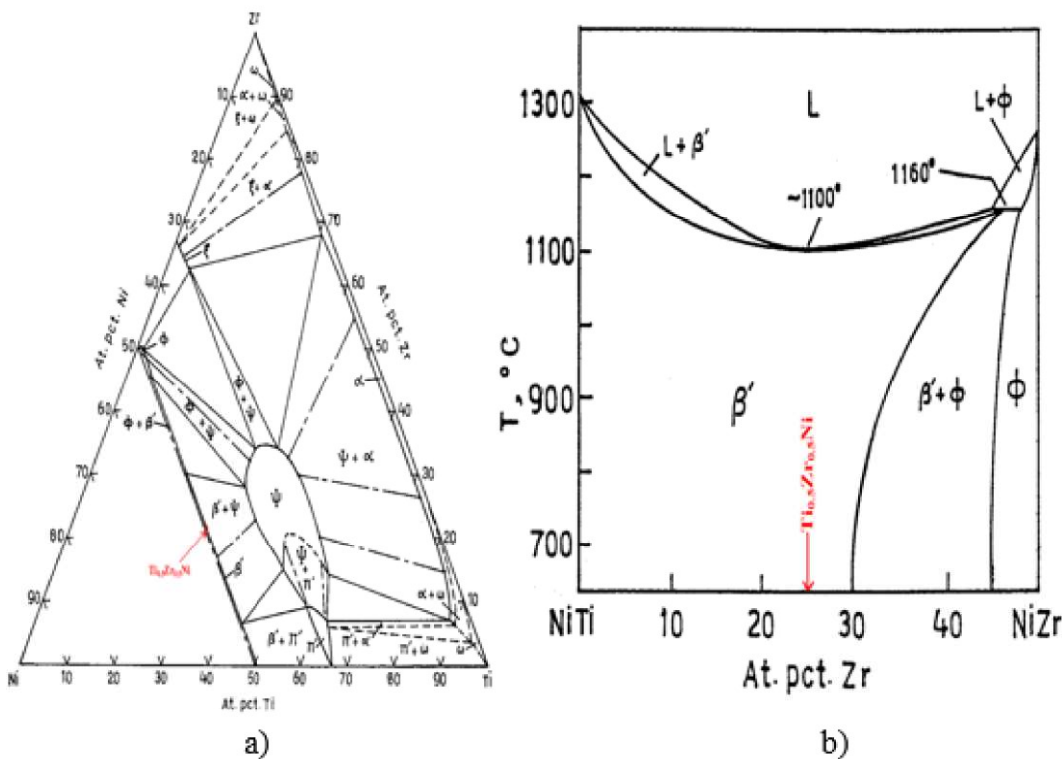




Şekil 6.3.6 saat ve 9 saat elektro-deoksidasyona uğratılmış numunelere ait X-Işın desenleri.



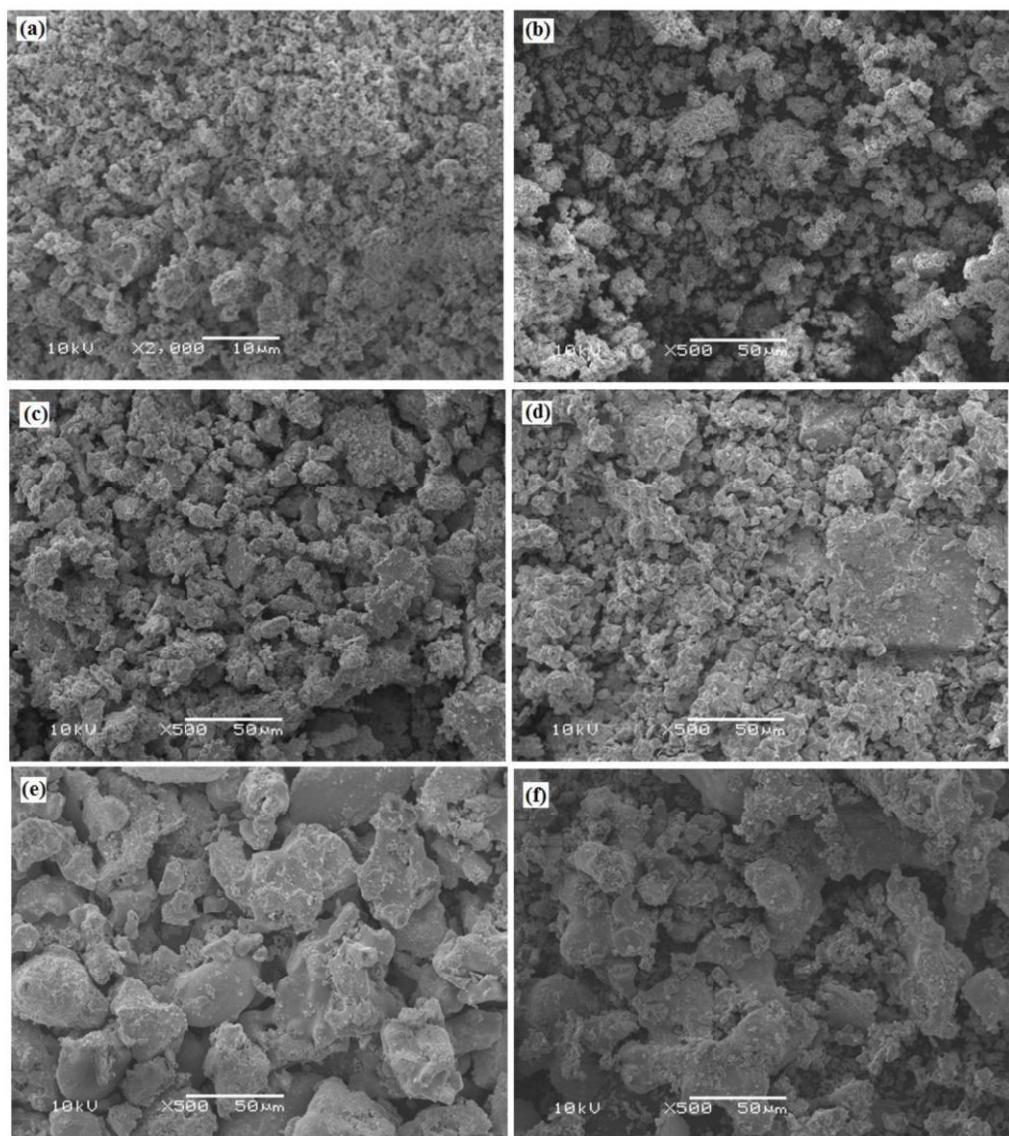
Şekil 6.4. 12 saat, 18 saat ve 24 saat elektro-deoksidasyona uğratılmış numunelere ait X-Işın desenleri.



Şekil 6.5. (a) 700°C'de Ti-Zr-Ni üçlü faz diyagramı. (b) NiTi-NiZr diagramının bir bölümü. (Gupta, 1999).

900°C'de elektro-deoksidasyon yöntemiyle üretilen amaçlanan Ti<sub>0.5</sub>Zr<sub>0.5</sub>Ni alaşımı Şekil 6.5'da faz diyagramlarından görüldüğü gibi tek fazlı bir alaşımdır ve oluşması beklenen denge fazı TiNi fazıdır ( $\beta'$  fazı). Zirkonyum elementinin bu faz içinde 900°C deki çözünürlüğü atomca %30'dan fazladır. Üretilen amaçlanan Ti<sub>0.5</sub>Zr<sub>0.5</sub>Ni alaşımı içerisindeki Zr miktarı atomca % 25 olduğu için tüm Zr elementinin bu faz içinde çözünmesi beklenmesine rağmen, Şekil 6.5'den anlaşılacağı üzere Zr tamamen çözünmemekte ve reaksiyon 6.9'daki gibi denge dışı TiZrNi faz oluşumuna sebep olmaktadır ( $\Psi$  fazı). Tam termodinamik dengeye ulaşmış bir alaşım yapısını elde etmek çok zor olduğu için bu tür yarı kararlı faz oluşumları diğer üretim yöntemlerinde de sıkılıkla karşımıza çıkmaktadır. 12 ile 24 saat arasında gerçekleşen elektro-deoksidasyon sürecinde TiZrNi fazına ait piklerin sayısında azalma görülmesi alaşım yapısının dengeye ulaşmaya çalıştığını göstermektedir.

$\text{TiO}_2$ ,  $\text{ZrO}_2$  ve  $\text{NiO}$  toz karışımı sonucu hazırlanan oksit peletler  $1100^\circ\text{C}$ 'de 2 saat sinterlenmiş ve 3, 6, 12, 18, 24 saatlik elektro-deoksidasyon uygulanmış numunelerin toz morfolojisinde meydana gelen değişim Şekil 6.6 (a,b,c,d,e,f)'de gösterilmektedir. Sinterlenmiş numunedeki oksit tozları (Şekil 6.6 (a)) nano boyutlarda iken elektro-deoksidasyon sürelerine bağlı olarak tozlar tipik metalik görünüm kazanmaya başlayarak ve büyümektedirler (Şekiller 6b - 6f). Bu farklılaşma özellikle 12 saat ve daha uzun süre (Şekiller 6.6. d - f) elektro-deoksidasyon'a uğrayan numunelerde daha açık görülmektedir.

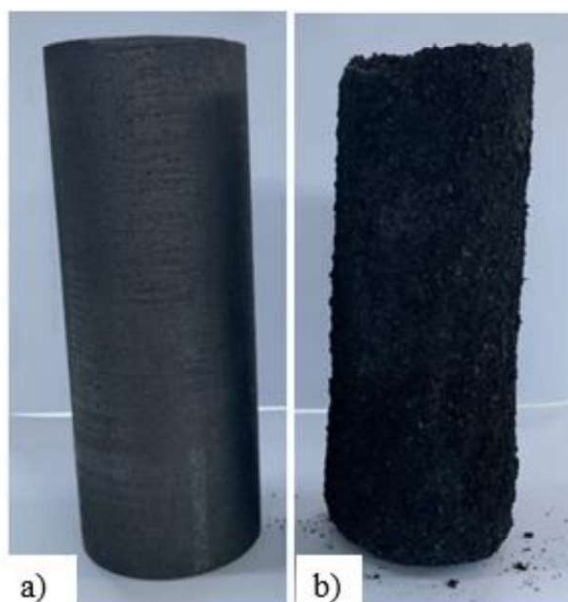


Şekil 6.6. Toz morfolojileri: (a) Sinterlenmiş numune ile (b) 3 saat (c) 6 saat  
(d) 12 saat (e) 18 saat ve (f) 24 saat elektro-deoksidasyon uygulanmış numuneler.

Ergimiş elektrolit çözeltisi içerisinde reaksiyon 6.7 ve 6.8 sonucu oluşan CaO aşağıdaki katodik reaksiyonu vermektedir:



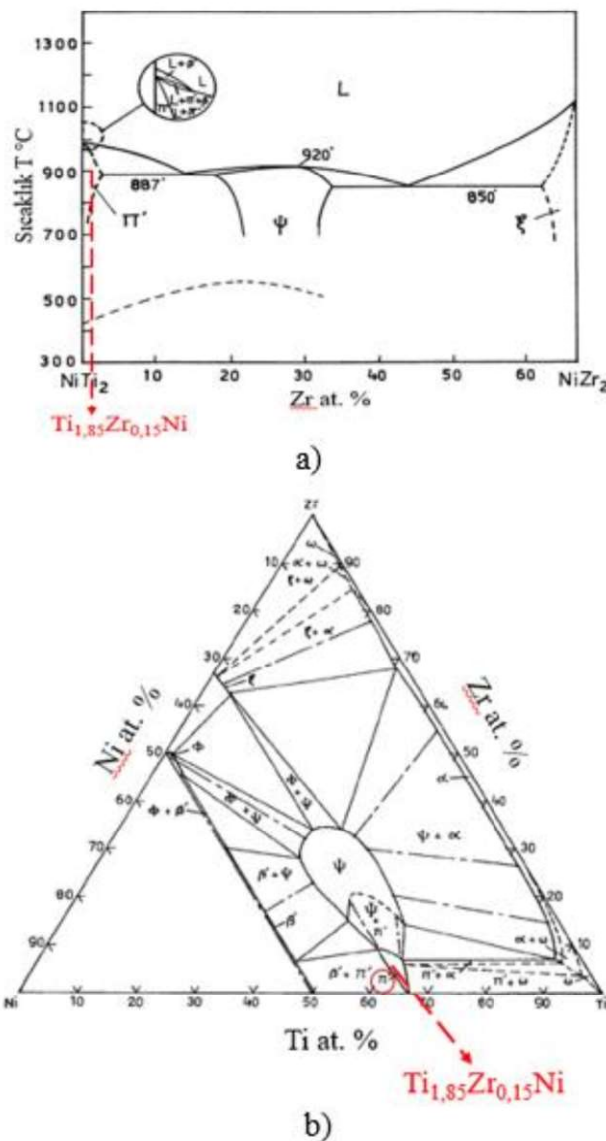
Elektro-deoksidasyon deneylerinde ergimiş tuz içerisinde gerçekleşen katodik reaksiyonlar sonucu oluşan oksijen iyonu grafit anotta aşağıdaki (6.11) ve (6.12) anodik reaksiyonu vermektedir. (6.11) ve (6.12) reaksiyonları anot olarak kullanılan grafit potanın tüketilmesine neden olmaktadır (Şekil 6.7).



Şekil 6.7. . Elektro-deoksidasyon deneylerinde a) deney öncesi b) deney sonrası potanın görünümü.

## 6.2. $Ti_{1.85}Zr_{0.15}Ni$ Alaşımının Elektro-deoksidasyon Yöntemiyle Üretilimi

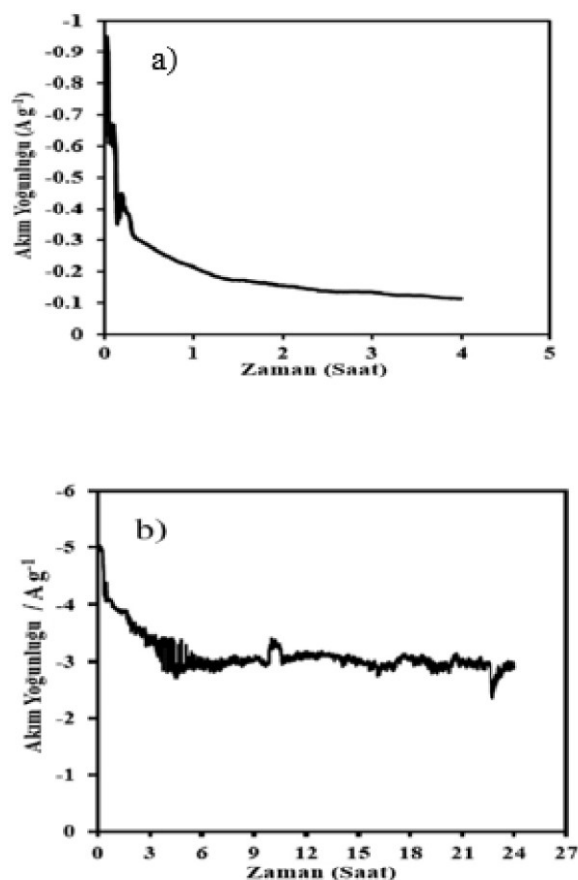
$Ti_{1.85}Zr_{0.15}Ni$  kompozisyonunda hazırlanan Ti-Zr-Ni oksit karışımı  $1100^{\circ}C$ 'de 2 saat sinterleme işlemine tabi tutulmuştur. Şekil 6.8 (a) ve (b)'de verilen faz diyagramına baktığımızda  $Ti_{1.85}Zr_{0.15}Ni$  tek fazlı bir alaşımdır ve oluşması beklenen faz denge  $Ti_2Ni$  fazıdır ( $\pi'$  fazı).



Şekil 6.8. (a)  $NiTi_2 - NiZr_2$  faz diyagramı. (b)  $700^{\circ}C$  için  $Ti-Zr-Ni$  üçlü faz diyagramı (Gupta, 1999).

### 6.2.1. Ergimiş tuz elektrolizi

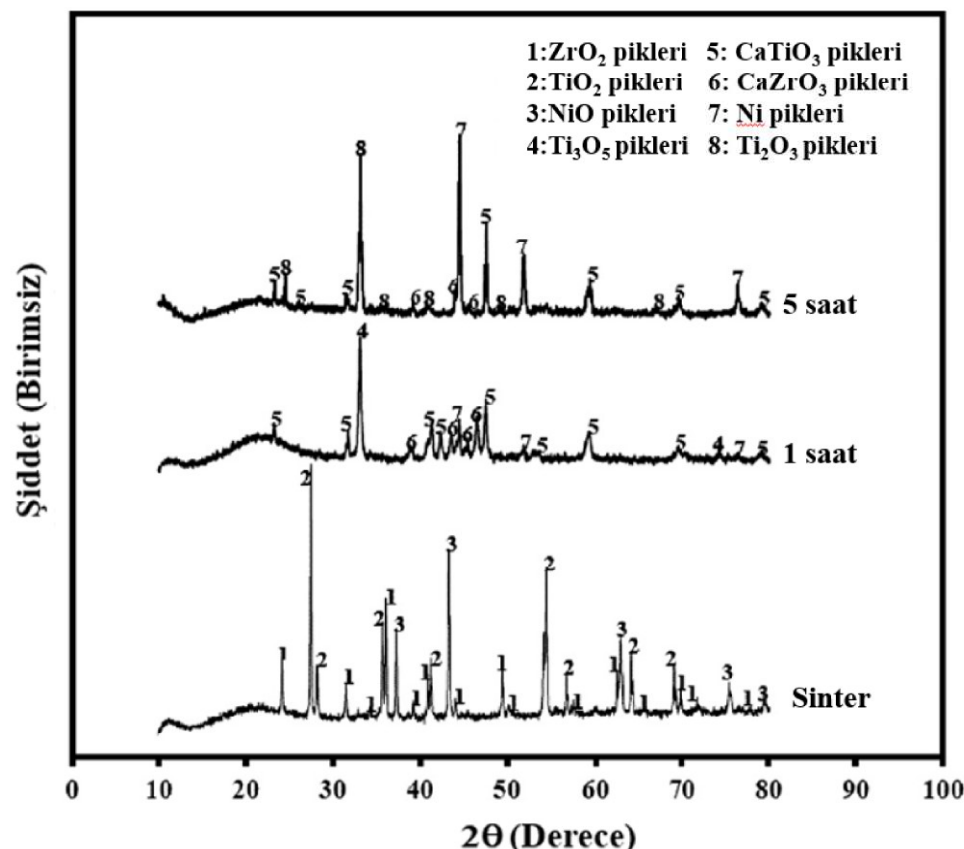
Elektro-deoksidasyon deneyleri öncesinde sistemdeki olası kirlilikleri önlemek amacıyla her deney öncesi gerçekleştirilen ön elektroliz işlemi ve elektro-deoksidasyon deneyleri sürecinde elde edilen akım zaman grafiği Şekil 6.9 (a)'da gösterilmektedir.  $-1.0 \text{ A gr}^{-1}$  akım yoğunlığında başlayan ön elektroliz  $-0.3 \text{ A gr}^{-1}$  akım yoğunluğuna sonrasında yavaşlayarak yaklaşık 3 saatin sonunda  $0.10 \text{ A gr}^{-1}$ 'a düşerek bu değerde sabitlenmektedir.  $\text{Ti}_{1.85}\text{Zr}_{0.15}\text{Ni}$  alaşımının 24 saatlik elektro-deoksidasyon sürecine elde edilen akım-zaman eğrisi Şekil 6.9 (b)'de verilmiştir. Mevcut akım  $-5.0 \text{ A gr}^{-1}$  başlamakta 3 saatlik elektro-deoksidasyon sonrasında  $-3.0 \text{ A gr}^{-1}$ 'a düşerek proses süresince bu akım değerinde devam etmektedir.



Şekil 6.9.  $\text{Ti}_{1.85}\text{Zr}_{0.15}\text{Ni}$  Alaşımının (a) Ön elektroliz işleminde (b) 24 saatlik elektro-deoksidasyon işleminde elde edilen akım – zaman eğrisi.

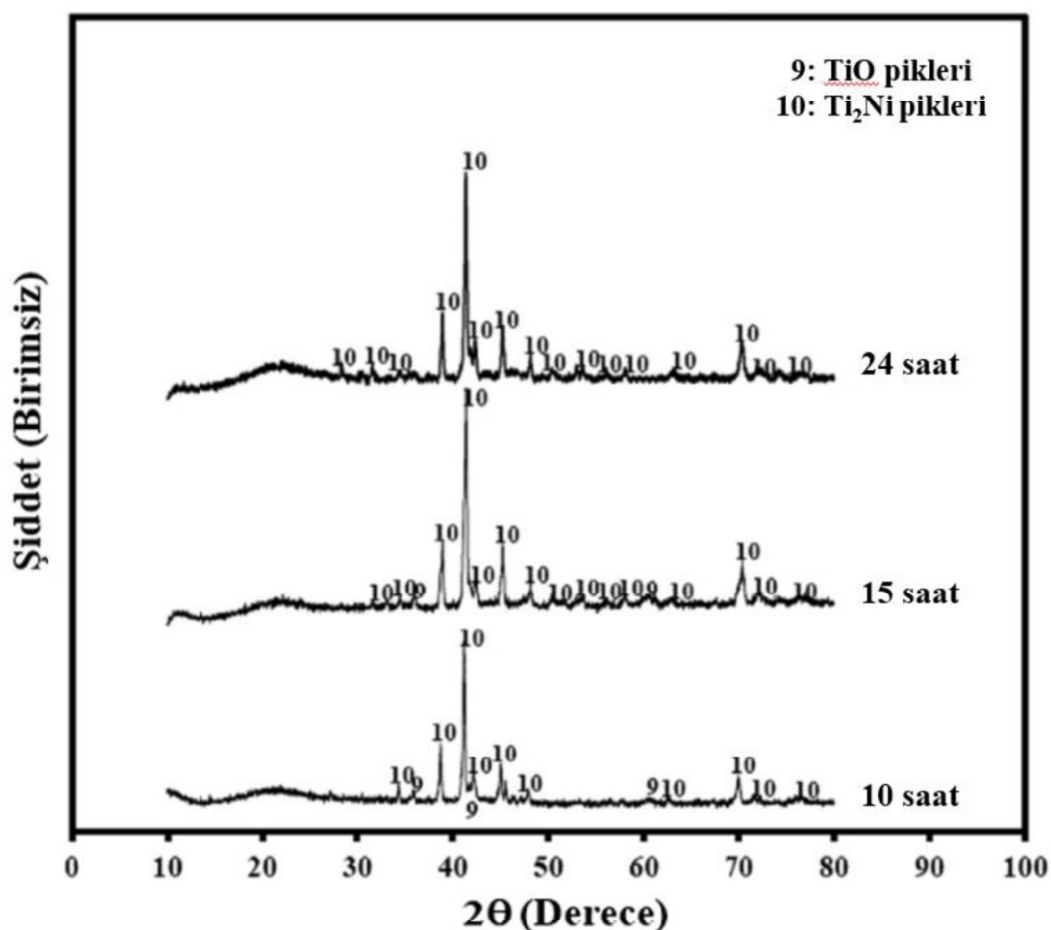
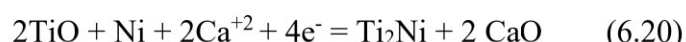
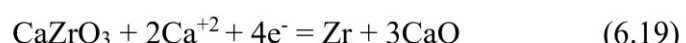
### 6.2.2. $Ti_{1.85}Zr_{0.15}Ni$ alaşımının yapısal ve morfolojik gelişimi

$Ti_{1.85}Zr_{0.15}Ni$  alaşım üretimi amaçlanarak hazırlanan oksit karışımının  $1100^{\circ}C$ 'de 2 saat sinterleme sonrası elde edilen XRD sonuçları Şekil 6.10'da gösterilmektedir. Sinter sonrası  $TiO_2$ ,  $ZrO_2$  ve  $NiO$  pikleri bulunmaktadır. Şekil 6.10'de bu piklerin yoğunluğunun elektrodoksidasyonun başlamasıyla birlikte 5. saatten sonra azaldığı ve bazlarının tamamen kaybolduğu görülmektedir. 1. saatin sonunda  $Ti_3O_5$ ,  $CaTiO_3$ ,  $CaZrO_3$  ve  $Ni$  fazları ve 5. Saatin sonunda bu fazların yanı sıra  $Ti_2O_3$  fazı görülmektedir ve muhtemel oluşum reaksiyonları ((6.13), (6.14), (6.15), (6.16)) aşağıdaki gibidir:



Şekil 6.10. Sinterlenmiş numune, 1 saat ve 5 saat elektro-deoksidasyona uğratılmış numunelere ait X-Işın desenleri.

10, 15 ve 24 saat elektro-deoksidasyon deneylerinin sonucunda elde edilen XRD sonuçları Şekil 6.11'de gösterilmektedir. 10 saatin sonunda yapıda TiO ve Ti<sub>2</sub>Ni fazları görülmektedir. Elektro-deoksidasyon deneylerinin süresi 15 saatte uzatıldığında Ti<sub>2</sub>Ni piklerinin sayısı arttığı ve 24 saatlik elektro-deoksidasyon deneylerinin sonunda yapının tamamen Ti<sub>2</sub>Ni fazından oluştuğu görülmektedir. Bu süreçteki muhtemel oluşum reaksiyonları ((6.17), (6.18), (6.19), (6.20)) aşağıdaki gibidir:



Şekil 6.11. 10, 15 ve 24 saat elektro-deoksidasyon uğratılmış numunelere ait X-ışın desenleri.

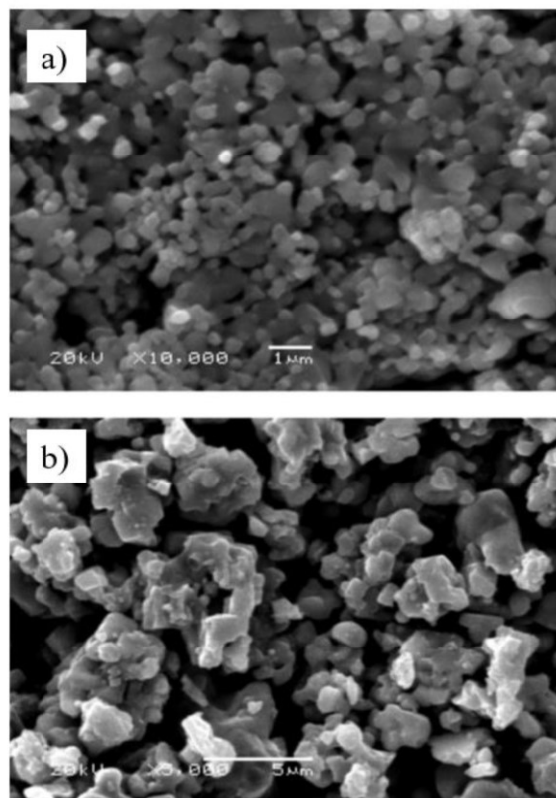
Çizelge 6.1. Farklı sitokiyometrideki Ti-Zr-Ni alaşımlarının elektro-deoksidasyon işlemi sonucunda süreye bağlı oluşan fazlar.

Oksit Toz Karışıımı	Süre (Saat)	$Ti_{0,5}Zr_{0,5}Ni$	$Ti_{1,85}Zr_{0,15}Ni$
	Sinter	$TiO_2$ , $ZrO_2$ , $NiO$ ,	$TiO_2$ , $ZrO_2$ , $NiO$
$TiO_2$	1	$TiO_2$ , $ZrO_2$ , $NiO$ , $TiO$ , $CaTiO_3$ , $CaZrO_3$ , $Ni$ , $Zr$	$CaTiO_3$ , $CaZrO_3$
	3	$TiO_2$ , $ZrO_2$ , $NiO$ , $TiO$ , $CaTiO_3$ , $CaZrO_3$ , $Ni$ , $Zr$	
$ZrO_2$	5		$CaTiO_3$ , $CaZrO_3$ , $Ni$ , $Ti_2O_3$
$NiO$	6	$TiO$ , $CaTiO_3$ , $CaZrO_3$ , $Ni$ , $Zr$ , $Ti_6O$	$TiO$ , $Ti_2Ni$
	9	$TiO$ , $CaZrO_3$ , $Ni$ , $Zr$ , $Ti_6O$	
	12	$TiZrNi$ , $TiNi$	
	15		$TiO$ , $Ti_2Ni$
	18	$TiZrNi$ , $TiNi$	
	24	$TiZrNi$ , $TiNi$	$Ti_2Ni$

(6.14) ve (6.19) numaralı reaksiyonların sonucunda oluşan Zr fazı Şekil 6.10 ve 6.11'de XRD sonuçlarında görülmemektedir. Bu durum az miktardaki Zr varlığının X-ışınları yöntemiyle görülememesinden ya da ana faz içerisinde Zr çözünmüştür olmasından kaynaklanabileceği düşünülmektedir. Ti-Zr-Ni faz diyagramından görüleceği gibi,  $Ti_2Ni$  fazı ( $\pi'$  fazı) içerisindeki Zr çözünürlüğü atomik olarak %8 civarındadır.  $Ti_2Ni$  alaşımı içerisinde maksimum Zr çözünürlüğünü elde edebilmek amacıyla  $Ti_{1,85}Zr_{0,15}Ni$  alaşımı seçilmiştir. Elektro-deoksidasyon sonrası istenilen yapının elde edildiği Şekil 6.11'de görülmektedir.

Reaksiyon (6.13)-(6.20)'e göre 1 gramlık elektrot ( $X_{TiO_2} = 0,6133$ ,  $X_{ZrO_2} = 0,0767$ ,  $X_{NiO} = 0,3100$ ) için 24 saatlik elektro-deoksidasyon işleminde gereken teorik yük miktarı  $96,10978 \text{ Cg}^{-1}$  olarak hesaplanmıştır. Şekil 6.9 (b)'de deney süresinin 24 saatte uzamasıyla birlikte elektro-deoksidasyon için harcanan yük miktarı  $266,400 \text{ Cg}^{-1}$  hesaplanmıştır. Buradan anlaşıldığı gibi, elektrodeoksidayon yöntemiyle  $Ti_2Ni$  alaşımının sentezlenebilmesinin verimliliği %36 civarındadır. Zr çözünmesine rağmen  $Ti_2Ni$  alaşımının sentezlenebilmesi  $TiNi$ 'den %20 daha fazla olduğu görülmektedir (Anık vd., 2014).

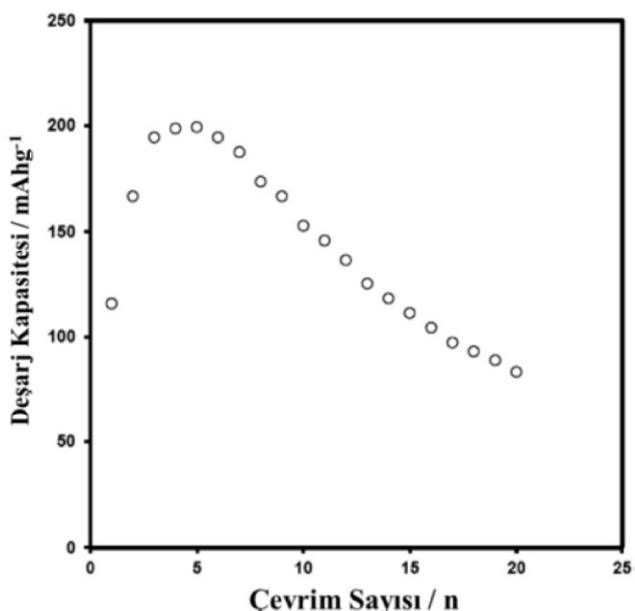
Sinterlenen ve 24 saat elektro-deoksidasyon işlemi uygulanan numunelere ait SEM görüntüleri Şekil 6.12'de verilmiştir. 1100°C'de 2 saat sinterlenmiş tozlar metalik oksit toz görünümüne sahip olduğu görülmektedir. 24 saatlik elektro-deoksidasyon prosesinin sonunda tanelerin büyüğü boşluklu ve metalik bir görünüm kazandığı görülmektedir.



Şekil 6.12. Toz morfolojileri: (a) Sinterlenmiş numune ile (b) 24 saat elektro-deoksidasyon uygulanmış numuneler.

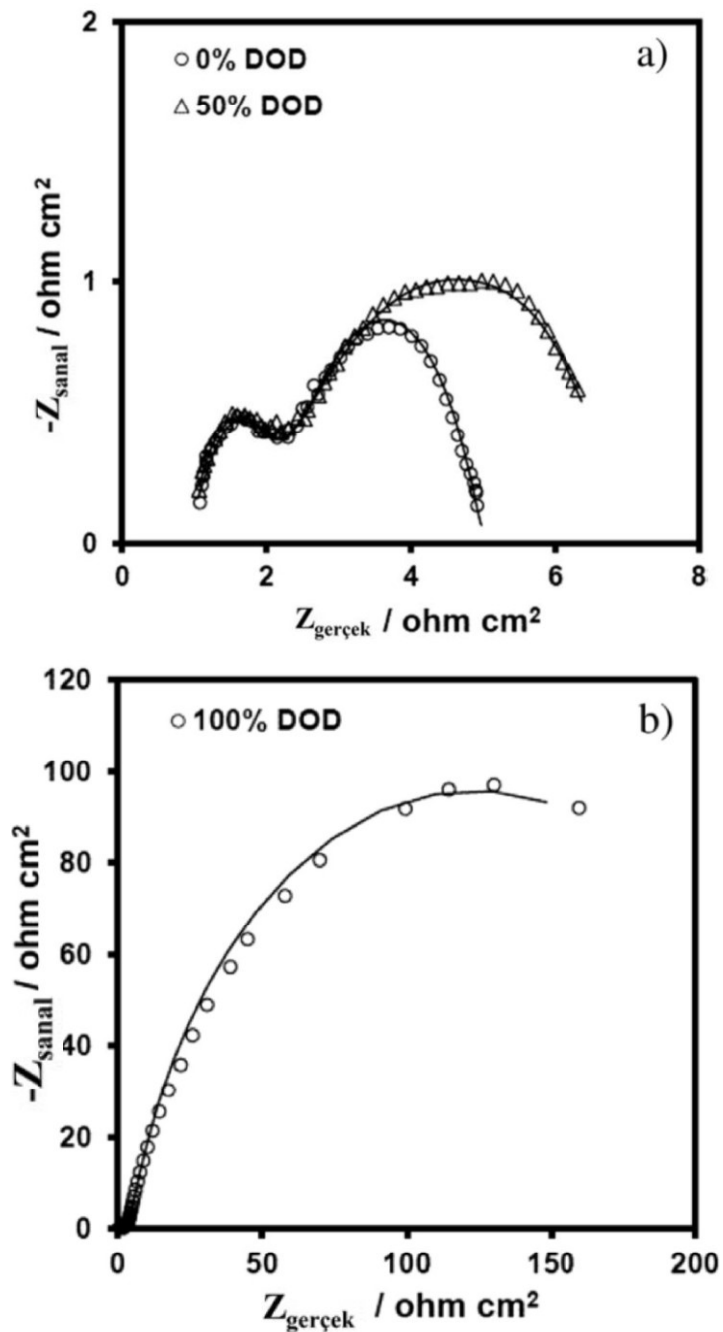
### 6.2.3. Üretilen $Ti_{1.85}Zr_{0.15}Ni$ alaşımın hidrojen depolama karakteristikleri

24 saat elektro-deoksidasyon prosesi uygulanmış numunelerin şarj/deşarj çevrim sayısına bağlı olarak deşarj kapasitesindeki değişiklikler Şekil 6.13'de gösterilmektedir. Alaşım ( $Ti_2Ni$ ) 5 çevrim sonrasında maksimum deşarj kapasitesine ulaştıktan sonra, belli bir sabit deşarj kapasite bölgesi bulunmadığından  $200 \text{ mAhg}^{-1}$  maksimum deşarj kapasitesine ulaştıktan sonra 20 çevrim sonunda bu kapasite  $85 \text{ mAhg}^{-1}$  değerine kadar düşürülmektedir. Sabit bir deşarj kapasite bölgesinin bulunmaması şarj/deşarj çevrimleri sırasında  $Ti_2Ni$  alaşımının çözeltiden etkilenip bozunduğunu göstermektedir.  $Ti_2Ni$  alaşımının bu hızlı bozunmasını konu alan literatür çalışmaları yer almaktadır (Zavaliv vd., 2001, Zhao vd., 2012).



Şekil 6.13. elektro-deoksidasyonla üretilen  $Ti_2Ni$  alaşımının şarj deşarj çevrim sayısına bağlı olarak deşarj kapasitesindeki değişim.

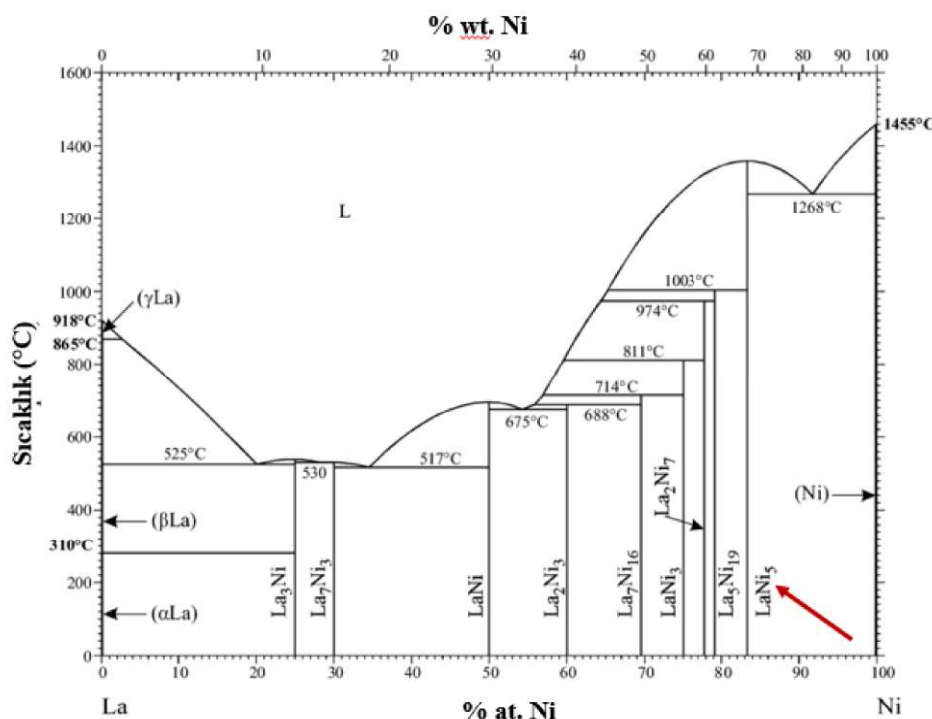
$Ti_2Ni$  alaşımının bozunma karakteristikleri, çeşitli deşarj derinliklerinde (DOD'lar) AC empedans spektroskopi ölçülmeyeyle gözlemlenebilmektedir. % 0 DOD ve % 50 DOD'da toplanan empedans verileri Şekil 6.14 (a), (b)'de gösterilmektedir. Yüksek frekanslı küçük sığ çevrimlerin kondansatör ve alaşım numunesi arasındaki akım toplanmasından kaynaklandığı düşünülmektedir (Anık vd.,2014). Düşük frekanslı sığ çevrimler ise, çift katmanlı ve oksit/hidroksit filminin üst üste gelen sığ çevrimlerini gösterdiği düşünülmektedir. Yüksek frekanslı kapasitif çevrim deşarj derinliğine duyarlı olmasa da, deşarj seviyesi arttıkça düşük frekanslı (üst üste binmiş) kapasitif çevrim Şekil 6.14 (a)'da büyür. Şekil 6.14 (b)'deki % 100 DOD'da düşük frekans kapasitif çevrimdeki genişleme çok daha yüksektir.Yüzey oksit / hidroksit filmi deşarjin sonuna doğru daha kalındır. Şekil 5'teki deşarj kapasitesindeki keskin düşüş, Şekil 6.14 (a) ve (b)' deki empedans verilerinden de anlaşılacağı üzere oksit / hidroksit tabakasının kalınlaşmasının bariyer etkisi sonucu, hidrojenin içeri ve dışarı hareketini yavaşlatarak difüzyonu zorlaştırdığını düşündürmektedir. Elektrot şarj / deşarj çevrim sayısı arttıkça  $Ti_2Ni$ -hidrür üzerindeki oksit / hidroksit tabakası kalınlaşmaya devam eder ve bu durumun elektrotun performansını düşürdüğü görülmektedir. Oksit / hidroksit tabakasına bağlı olarak elektrot performansındaki bu düşüş birçok alaşım sisteminde çok yaygın olarak görülmektedir.



Şekil 6.14. 24 saat elektro-deoksidasyon uygulanan numunelerin deneysel ve hesaplanmış empedans grafikleri.

### 6.3. LaNi<sub>5</sub> Alaşımının Elektro-deoksidasyon Yöntemiyle Üretilimi

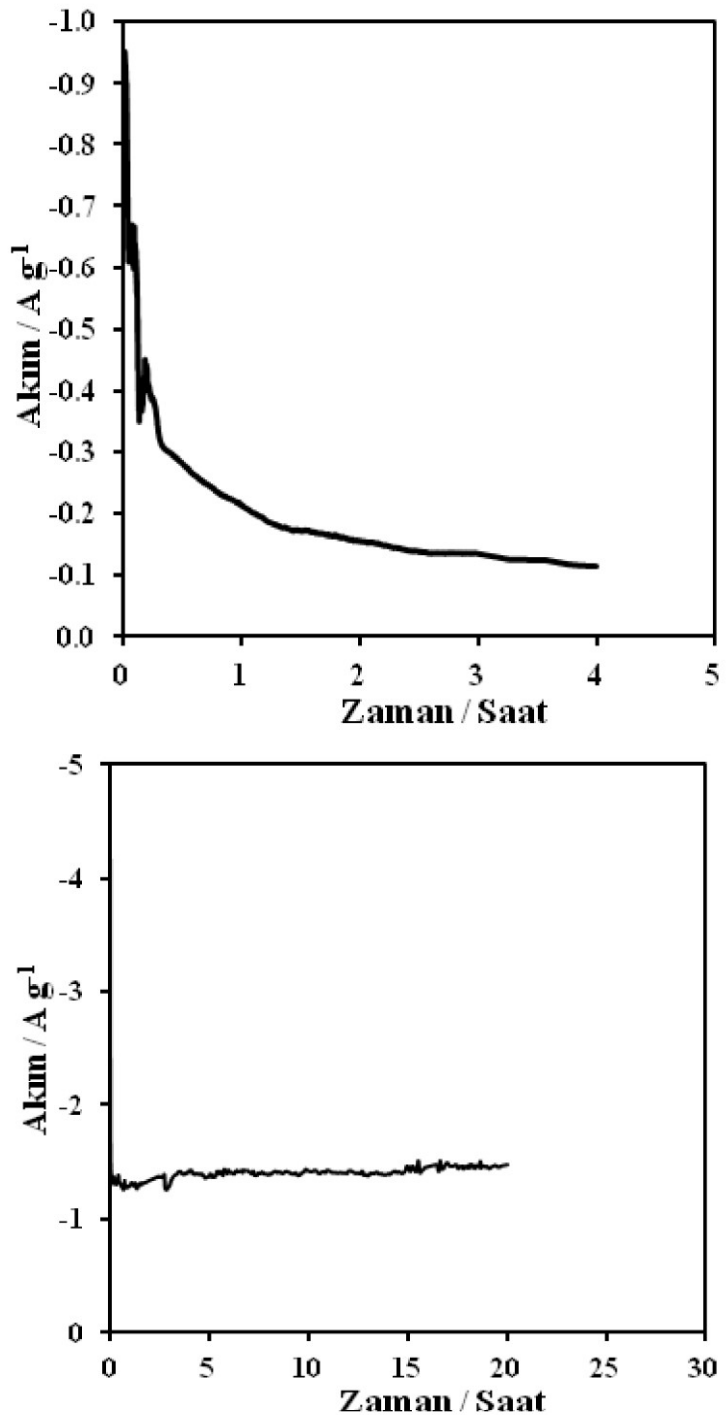
Şekil 6.15'deki La-Ni faz diyagramına göre hazırlanan LaNi<sub>5</sub> alaşımın sentezlenmesinde elektro-deoksidasyon deneyleri çeşitli sürelerde 830°C'de gerçekleştirılmıştır.



Şekil 6.15. Lantanyum-Nikel ikili faz diyagramı (Okatamo, 2020).

#### 6.3.1. Ergimiş tuz elektrolizi

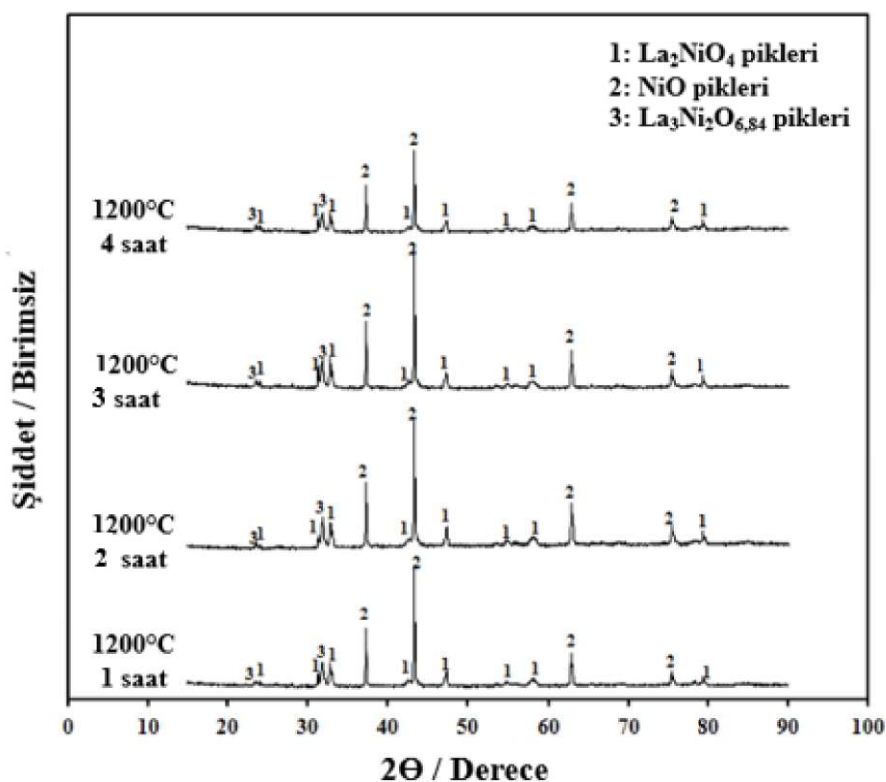
LaNi<sub>5</sub> alaşımının üretiminde, redoks aktif safsızlıkların uzaklaştırılabilmesi amacıyla ön elektroliz işlemi ve sonrasında uygulanan elektro-deoksidasyon deneyleri sürecinde elde edilen akım zaman grafiği Şekil 6.16 (a) ve (b)'de gösterilmiştir. Şekil 6 (a)'da, ön elektroliz akım değerleri -1,0 A/g<sup>-1</sup> değerinden başlayıp hızlıca -0,3 A/g<sup>-1</sup> değerine düşüğü ve daha sonra yavaşlayarak -0,1 A/g<sup>-1</sup> civarında sabitlendiği, 20 saatlik elektro-deoksidasyon deneyleri süresince yaklaşık -1,3 A/g<sup>-1</sup> akım değerleri gözlenmiştir.



Şekil 6.16. (a) Ön elektroliz işleminde elde edilen akım – zaman eğrisi  
(b) 20 saatlik elektro-deoksidasyon işleminde elde edilen akım – zaman eğrisi.

### 6.3.2. LaNi<sub>5</sub> alaşımının yapısal ve morfolojik gelişimi

LaNi<sub>5</sub> alaşımının elde edilebileceği kompozisyonda hazırlanan oksit peletler uygun sinter süresinin belirlenmesi için 1200°C'de 1,2,3 ve 4 saat sinterlenmiştir. Sinterleme sonrası elde edilen XRD sonuçları Şekil 6.17 'de verilmiştir. 1200°C'de 1,2,3 ve 4 saat sinterleme sonucunda XRD sonuçlarında neme duyarlı La<sub>2</sub>O<sub>3</sub> fazı kaybolurken yerine La<sub>2</sub>NiO<sub>4</sub>, NiO, La<sub>3</sub>Ni<sub>2</sub>O<sub>6,84</sub> fazları olduğu görülmektedir. Değişen sinter sürelerine rağmen faz çeşitliliğinde bir değişim görülmediğinden, pelet numunelerin delme işlemindeki mukavemetleri de göz önünde bulundurularak mümkün olabilecek en kısa sinter süresi olan 2 saat belirlenmiştir.

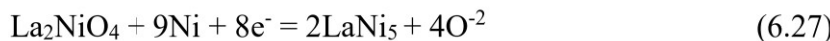
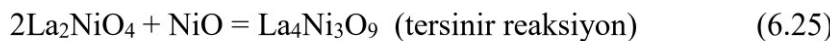


Şekil 6.17. 1200°C'de farklı sürelerde uygulanan sinter işleminin XRD sonuçları.

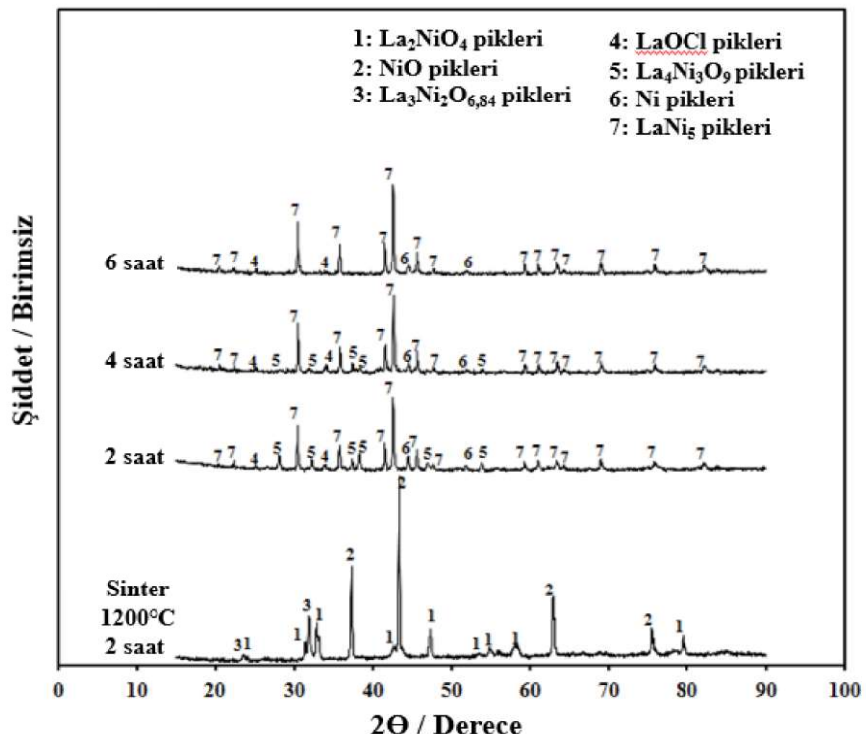
Sinterleme sonrasında gerçekleşen muhtemel reaksiyonlar ((6.21), (6.22)) aşağıdaki gibi verilebilir:



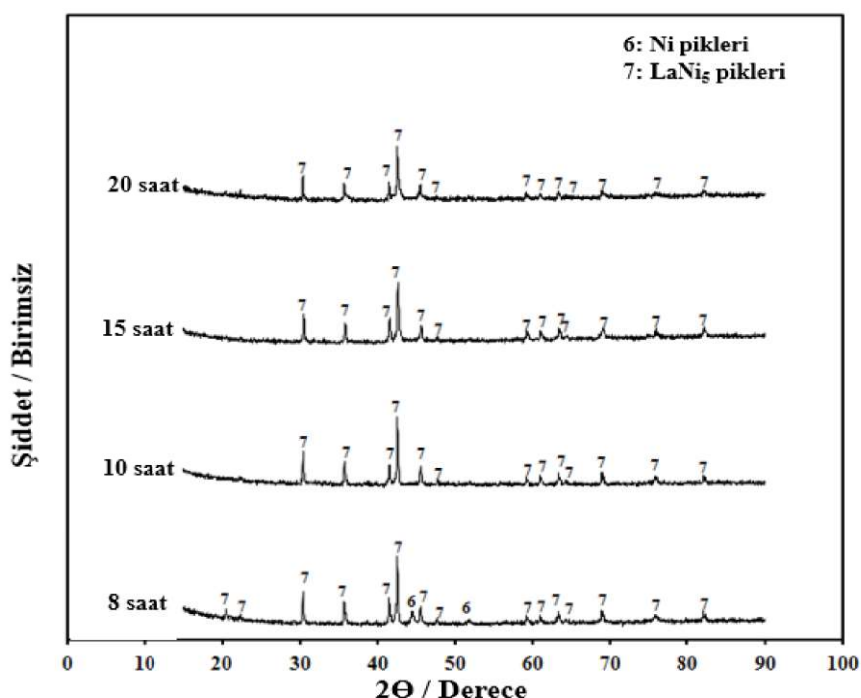
$\text{LaNi}_5$  alaşımının sentezlenmesi için  $1200^\circ\text{C}$ 'de 2 saat sinter işlemi sonrası farklı elektro-deoksidasyon sürelerinde deney sonucu elde edilen XRD sonuçları Şekil 6.19 ve 6.20'de gösterilmektedir. Stokiyometrik olarak istenilen miktarda  $\text{La}_2\text{O}_3$  ve  $\text{NiO}$  karışımının sinter sonucunda yapıda  $\text{La}_2\text{NiO}_4$ ,  $\text{NiO}$  ve  $\text{La}_3\text{Ni}_2\text{O}_{6.84}$  fazları elde edilmiştir. Alaşım gelişimine baktığımızda sinter sonucu elde edilen  $\text{La}_2\text{NiO}_4$  fazı 2 saat elektro-deoksidasyon sonrasında reaksiyon (6.23) sonucunda kararlı  $\text{LaOCl}$  fazını oluşturmaktadır. Buna ek olarak, 2 saatin sonunda yapıda  $\text{La}_4\text{Ni}_3\text{O}_9$ ,  $\text{LaNi}_5$ ,  $\text{LaOCl}$  ve  $\text{Ni}$  fazları görülmektedir. 2 saatlik elektro-deoksidasyon işlemi sonunda, sinter sonucu oluşan  $\text{La}_3\text{NiO}_{6.84}$  fazı görülmemekte ve reaksiyon (6.25) sonucunda  $\text{La}_4\text{Ni}_3\text{O}_9$  fazını oluşturmaktadır. 4. Saatlik elektro-deoksidasyon işlemi sonunda yapıdaki fazlar aynı kalmaktadır. 6. Saatin sonunda  $\text{La}_4\text{Ni}_3\text{O}_9$  fazı tersinir reaksiyon 6.24 ile  $\text{La}_2\text{NiO}_4$  fazına ve (6.23) reaksiyonu ile  $\text{LaOCl}$  fazını oluşturduğu düşünülmektedir. 8. saatin sonunda reaksiyon (6.26), (6.27), (6.28) sonucunda oluşan  $\text{LaNi}_5$  ve  $\text{Ni}$  fazları bulunmaktadır. Elektro-deoksidasyon sürecinde gerçekleşen reaksiyonlar aşağıdaki gibi verilebilir:



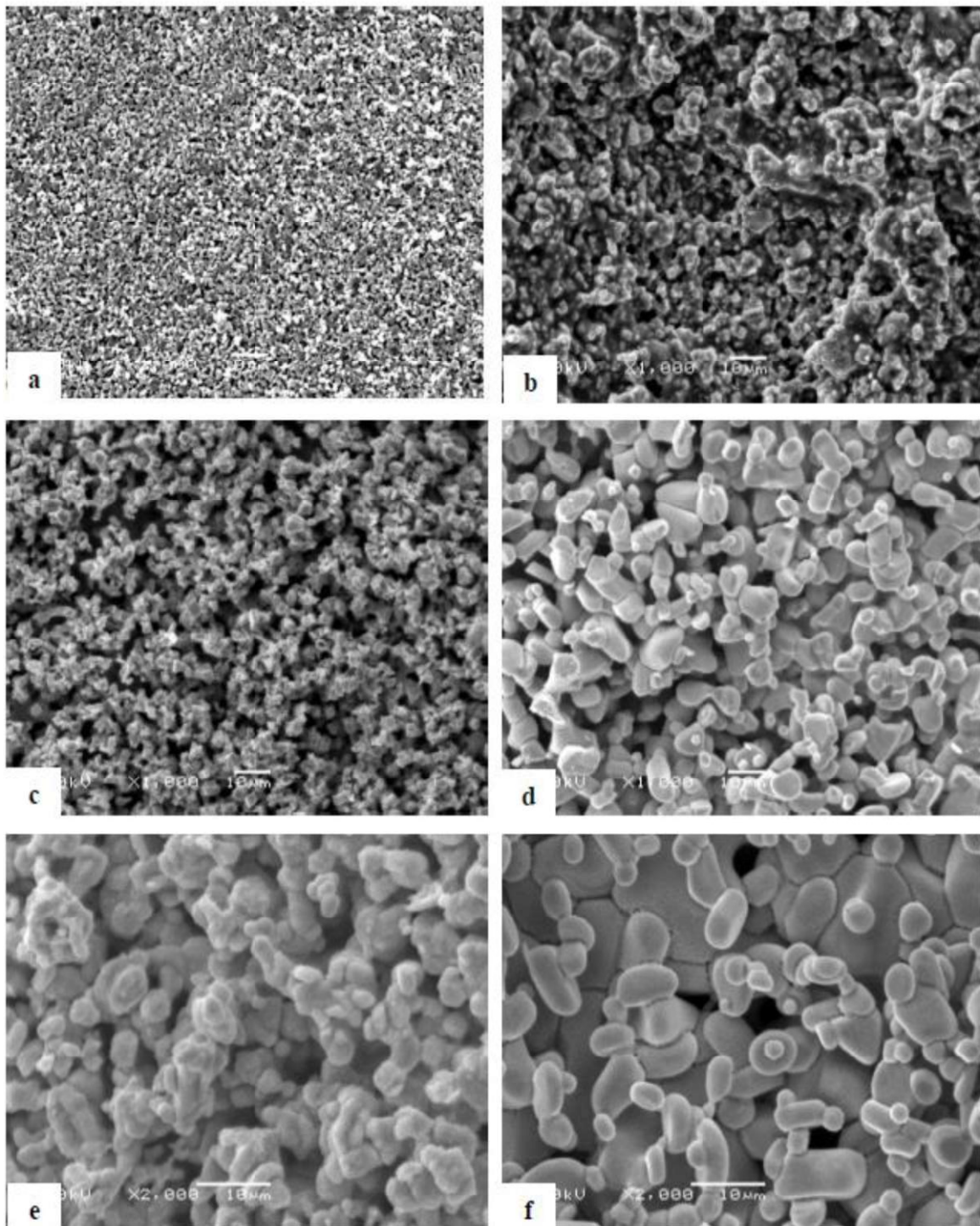
Sinterlenen yapıda bulunan  $\text{NiO}$  elektro-deoksidasyonun başlamasıyla birlikte  $\text{Ni}$  indirgenmekte ve 2. saatin sonunda elde edilen  $\text{LaOCl}$  ile  $\text{La}_2\text{NiO}_4$ , reaksiyon (6.27) ve (6.28) sonucunda  $\text{LaNi}_5$  fazını oluşturmaktadır. Elektro-deoksidasyonun uygulama süresi arttıkça 10. Saatten sonra yapıda tek fazlı yapının elde edildiği ve oksit yapının tamamen indirgenerek  $\text{LaNi}_5$  sentezlendiği görülmektedir.



Şekil 6.18. Sinterlenmiş numune ile 2, 4 ve 6 saat elektro-deoksidasyon uygulanan numunelerin X-ışın desenleri.

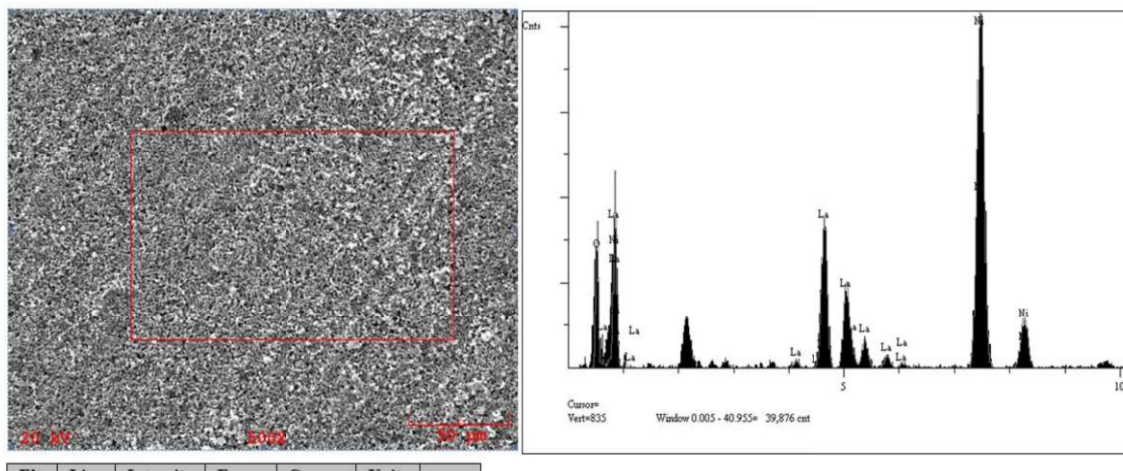


Şekil 6.19. 8, 10, 15 ve 20 saat elektro-deoksidasyon uygulanan numunelerin X-ışını desenleri.

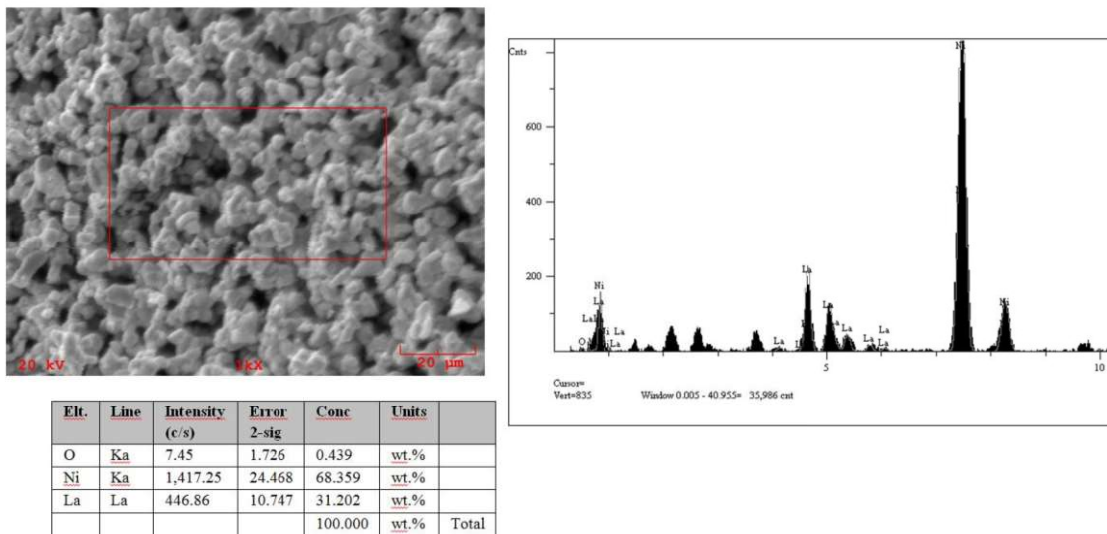


Şekil 6.20. 830°C'de elektro-deoksidasyon işlemi uygulanan LaNi<sub>5</sub> alaşımının; (a) 1200 °C'de 2 saat sinterlenmiş, (b) 2 saat, (c) 6 saat, (d) 10 saat, (e) 15 saat ve (f) 20 saat elektro-deoksidasyon işlemi uygulanan numunelerin SEM görüntüleri.

LaNi<sub>5</sub> alaşımının EDS analiz sonuçları Şekil 6.21'de verilmiştir. LaNi<sub>5</sub> alaşımına ait EDS sonuçları sinter sonucu oksitli yapıların içindeki yüksek miktardaki oksijenin varlığının 20 saat elektro-deoksidasyon sonucunda yok sayılabilecek değerlere indiğini göstermektedir.



(a)

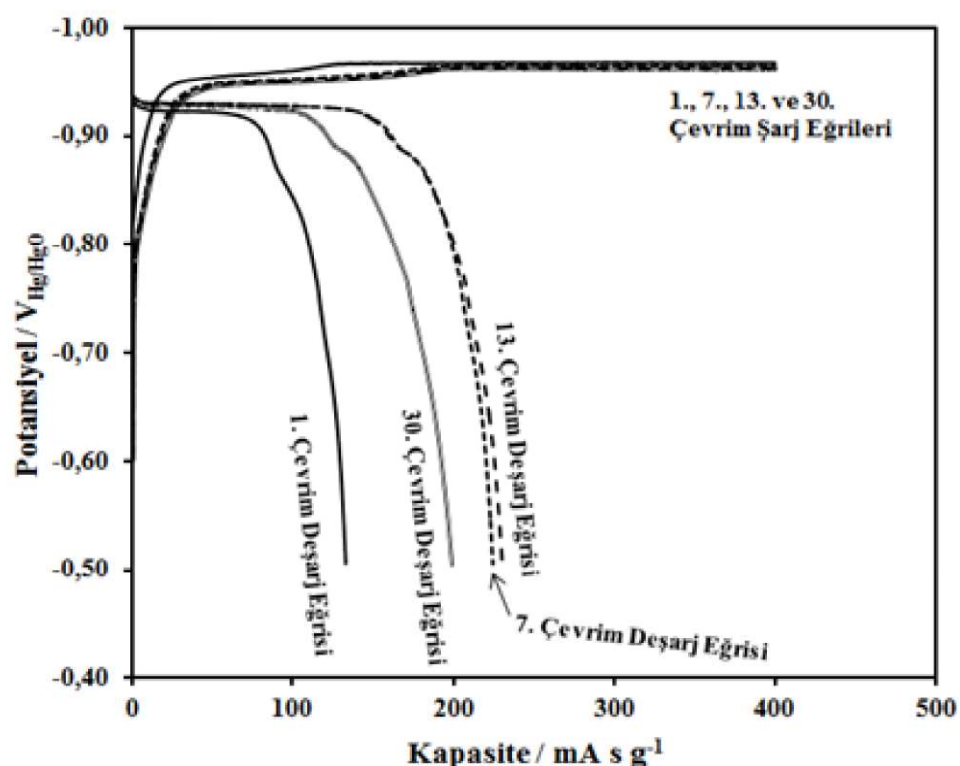


(b)

Şekil 6.21. (a) Sinterlenmiş ve (b) 20 saat elektro-deoksidasyon numunelerinin EDS sonuçları.

### 6.3.3. LaNi<sub>5</sub> alaşımının hidrojen depolama özellikleri

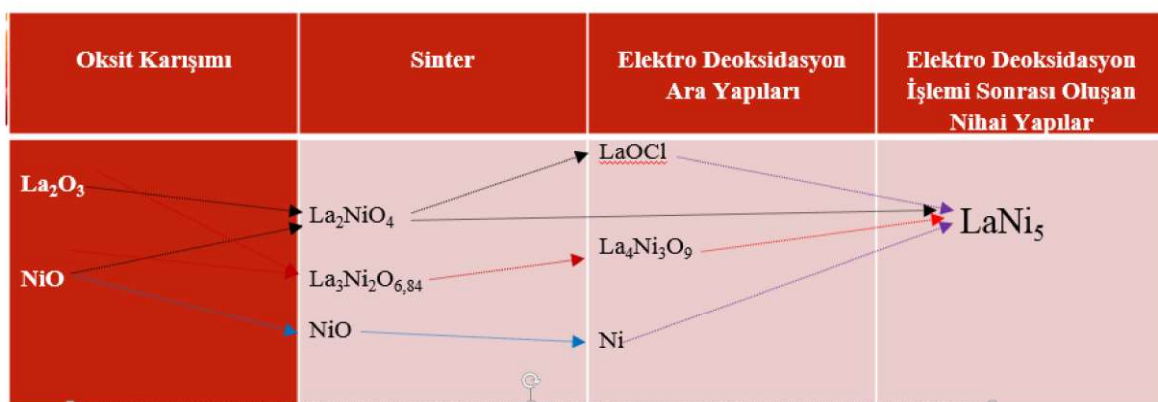
20 saat elektro-deoksidasyonla sonucunda üretilen LaNi<sub>5</sub> alaşımının şarj/deşarj çevrim sayısına bağlı olarak deşarj kapasitesi değişimi Şekil 6.22'de verilmiştir. Maksimum deşarj kapasitesine ulaşabilmesi için LaNi<sub>5</sub> alaşımının başlangıçta birkaç çevrim aktivasyona ihtiyaç duyduğu en yüksek çevrim kararlılığına 13. Şarj/deşarj çevrimi sonucunda ulaşmıştır. LaNi<sub>5</sub> alaşımı çevrim kararlılığı hidrojen depolama deneylerinde hızla düşmüştür. Bunun sebebi olarak şarj/deşarj çevrim sayılarını artmasıyla birlikte ve bu çevrim sırasında La oksitlenerek yüzeyde La(OH)<sub>3</sub> tabakasının oluşmasına alaşımın uflatılması olarak açıklanmıştır. (Jurczyk vd., 1999; Tliha vd., 2014).



Şekil 6.22. 20 saat elektro-deoksidasyonla üretilmiş LaNi<sub>5</sub> alaşımının 1, 7, 13 ve 30 çevrimlerdeki şarj/deşarj eğrileri.

Çizelge 6.2. LaNi<sub>5</sub> alaşımlarının elektro-deoksidasyon işlemi sonucunda süreye bağlı oluşan fazlar.

Oksit Toz Karışımlı	Sinter (1200°C 2 saat)	Süre (Saat)	Elektro-deoksidasyon Ara Yapıları	Nihai Yapı
$\text{La}_2\text{O}_3$	$\text{La}_2\text{NiO}_4$	2	Ni, $\text{LaOCl}$ , $\text{La}_4\text{Ni}_3\text{O}_9$ , $\text{LaNi}_5$	
		4	Ni, $\text{LaOCl}$ , $\text{La}_4\text{Ni}_3\text{O}_9$ , $\text{LaNi}_5$	
$\text{NiO}$	$\text{La}_3\text{Ni}_2\text{O}_{6.84}$	6	Ni, $\text{LaOCl}$ , $\text{LaNi}_5$	
		8	Ni, $\text{LaNi}_5$	
$\text{NiO}$	NiO	10	$\text{LaNi}_5$	
		15	$\text{LaNi}_5$	
		20	$\text{LaNi}_5$	$\text{LaNi}_5$

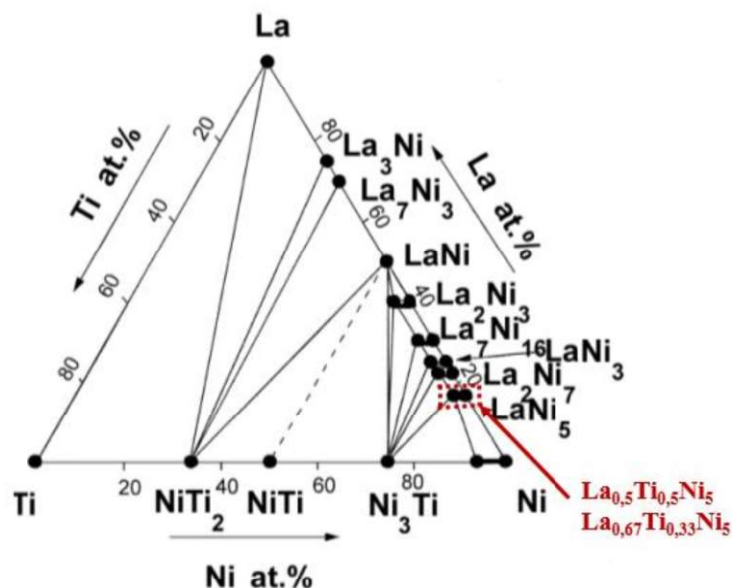


Şekil 6.23. LaNi<sub>5</sub> alaşımının elektro-deoksidasyon yöntemiyle sentezeleme adımları.

#### 6.4. La<sub>0,5</sub>Ti<sub>0,5</sub>Ni<sub>5</sub> ve La<sub>0,67</sub>Ti<sub>0,33</sub>Ni<sub>5</sub> Alaşımlarının Elektro-deoksidasyon Yöntemiyle Üretimi

Lantanyum – Titanyum - Nikel faz diyagramı Şekil 6.24'de verilmiştir. Titanyumun nikel içinde maksimum katı çözünürlüğü 400°C'de yaklaşık % at. 6'dır. Titanyumun 400°C'de LaNi<sub>5</sub>, La<sub>2</sub>Ni<sub>7</sub>, LaNi<sub>3</sub>, La<sub>7</sub>Ni<sub>16</sub> ve La<sub>2</sub>Ni<sub>3</sub> de sırasıyla katı çözünürlüğü, % 2,5 at Ti, % 3,0 at Ti, % 3,2 at Ti, %3,2 at Ti , %3,5 at Ti olduğu hesaplanmıştır (Jingqui, 2000).

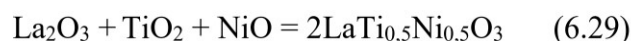
$\text{La}_{0,5}\text{Ti}_{0,5}\text{Ni}_5$  alaşımı ağırlıkça %8,07 Ti atomik olarak %8,3 Ti içermekte,  $\text{La}_{0,67}\text{Ti}_{0,33}\text{Ni}_5$  alaşımı ise ağırlıkça %3,92 Ti, atomik olarak %5,5 Ti içermektedir. Seçilen alaşımlardan  $\text{La}_{0,5}\text{Ti}_{0,5}\text{Ni}_5$  LaNi<sub>5</sub> içerisinde teorik olarak çözünebilen Ti miktarının çok üzerinde ancak  $\text{La}_{0,67}\text{Ti}_{0,33}\text{Ni}_5$  için Şekil 6.24'de 400°C'de elde edilen çözünürlük değerinin (%2,5 at) çalışma sıcaklığı (830°C) düşünülerek bu alaşım seçilmiştir.



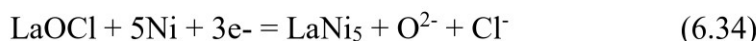
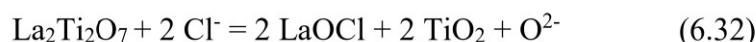
Şekil 6.24. Lantanyum-Titanyum-Nikel üçlü faz diyagramı (Jingqi vd., 2000).

#### 6.4.1. $\text{La}_{0,5}\text{Ti}_{0,5}\text{Ni}_5$ alaşımının yapısal ve morfolojik gelişimi

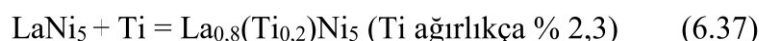
$\text{La}_2\text{O}_3$ - $\text{TiO}_2$ - $\text{NiO}$  toz karışımı, alaşımın elde edileceği stokiyometride hazırlarak 1200 °C'de 2 saat sinterlenmiştir. 2, 4, 6, 10, 15 ve 20 saat surede deoksidasyon işlemi uygulanan numunelerin XRD sonuçları Şekil 6.26 ve 6.27'de verilmiştir. Sinterlenmiş numunenin XRD analizinde  $\text{LaTi}_{0,5}\text{Ni}_{0,5}\text{O}_3$ ,  $\text{La}_2\text{Ti}_2\text{O}_7$  ve  $\text{NiO}$  fazları bulunmaktadır (Şekil 6.19).  $\text{LaTi}_{0,5}\text{Ni}_{0,5}\text{O}_3$ ,  $\text{La}_2\text{Ti}_2\text{O}_7$  ve  $\text{NiO}$  fazlarının oluşumu aşağıdaki reaksiyonlarla açıklanmaktadır ((6.29), (6.30)).



Elektro-deoksidasyon süresinin ilerlemesiyle 2 saatin sonunda LaOCl, La<sub>2</sub>NiO<sub>4</sub> fazları ve NiO piklerinin şiddetinin azaldığı ve LaNi<sub>5</sub> faz oluşumun başladığı (6.31), (6.32), reaksiyonlarıyla oluşmuştur. LaOCl fazı (6.31) reaksiyonu sonucunda sinter fazının eriyik ile temas etmesi sonrasında termodinamik olarak kendiliğinden oluşan bir fazdır (Anık vd., 2015; Anık vd., 2016). 4 saatlik elektodeoksidasyon işleminin sonucunda XRD analizlerinde, LaOCl fazının tamamen (6.34) reaksiyonuyla kaybolduğu, LaNi<sub>5</sub> fazlarının arttığı gözlenmiştir. 6 saatin sonunda LaOCl fazının tamamen kaybolması (6.34) nolu reaksiyonla, TiNi, Ti<sub>0,1</sub>Ni<sub>0,9</sub> ve LaNi<sub>5</sub> fazlarının oluşumu (6.34), (6.35) ve (6.36) reaksiyonlarıyla açıklanmıştır.



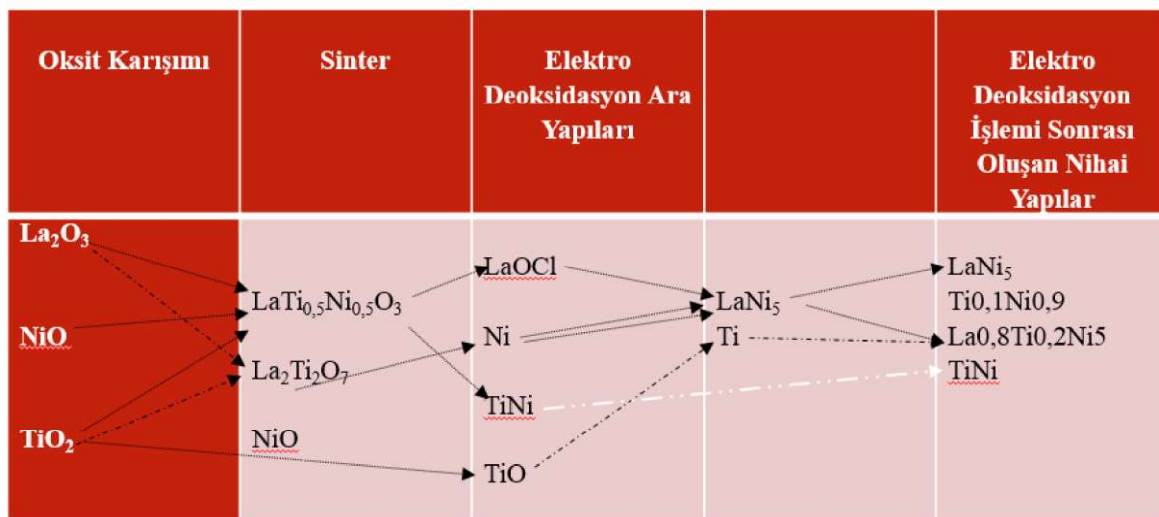
10, 15 ve 20 saatlik deoksidasyon uygulanmasının sonucunda XRD analizlerinde LaNi<sub>5</sub>, La<sub>0,8</sub>Ti<sub>0,2</sub>Ni<sub>5</sub>, TiNi ve Ti<sub>0,1</sub>Ni<sub>0,9</sub> fazları görülmüştür. Elemental Ti, 400°C'de LaNi<sub>5</sub> içerisinde ağırlıkça yaklaşık %2,5 çözünür (Jingqui, 2000).



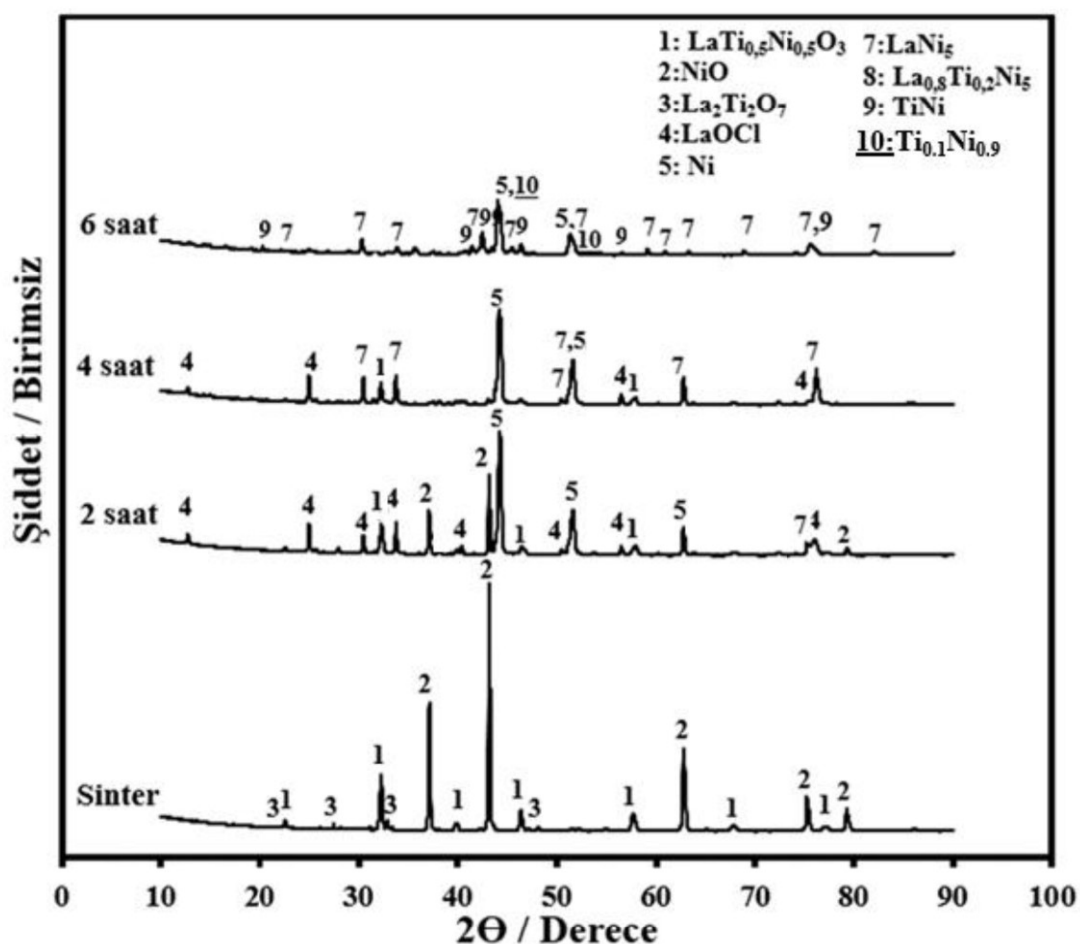
Ni içerisinde kalan Ti çözündüğü ve Ni<sub>0,9</sub>Ti<sub>0,1</sub> fazını oluşumu Reaksiyon (6.39) açıklanmıştır.



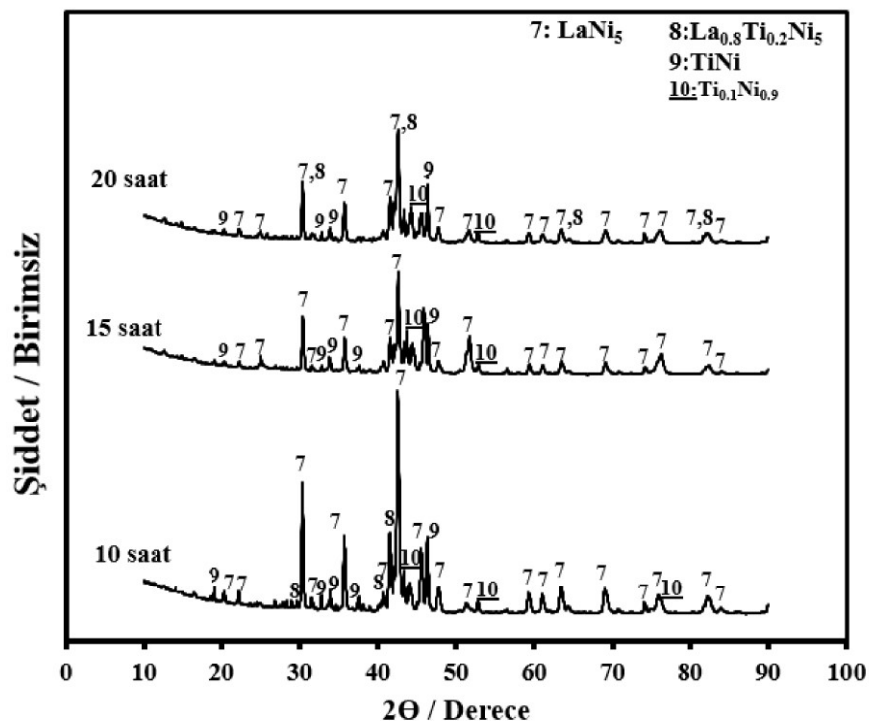
Şekil 6.25'de LaTi<sub>0,5</sub>Ni<sub>0,5</sub>O<sub>3</sub> alaşımının oluşum mekanizması şematik gösterilmiştir.



Şekil 6.25.  $\text{La}_{0,5}\text{Ti}_{0,5}\text{Ni}_5$  alaşımının elektro-deoksidasyon yöntemiyle sentezeleme adımları.

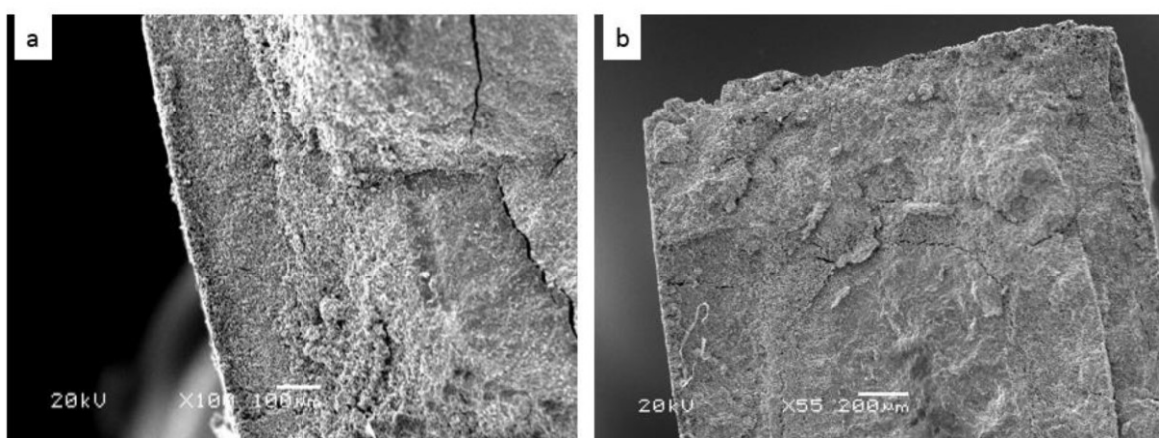


Şekil 6.26. Sinterlenmiş numune ile 2, 4 ve 6 saat elektro-deoksidasyon uygulanan numunelerin X-ışın desenleri.

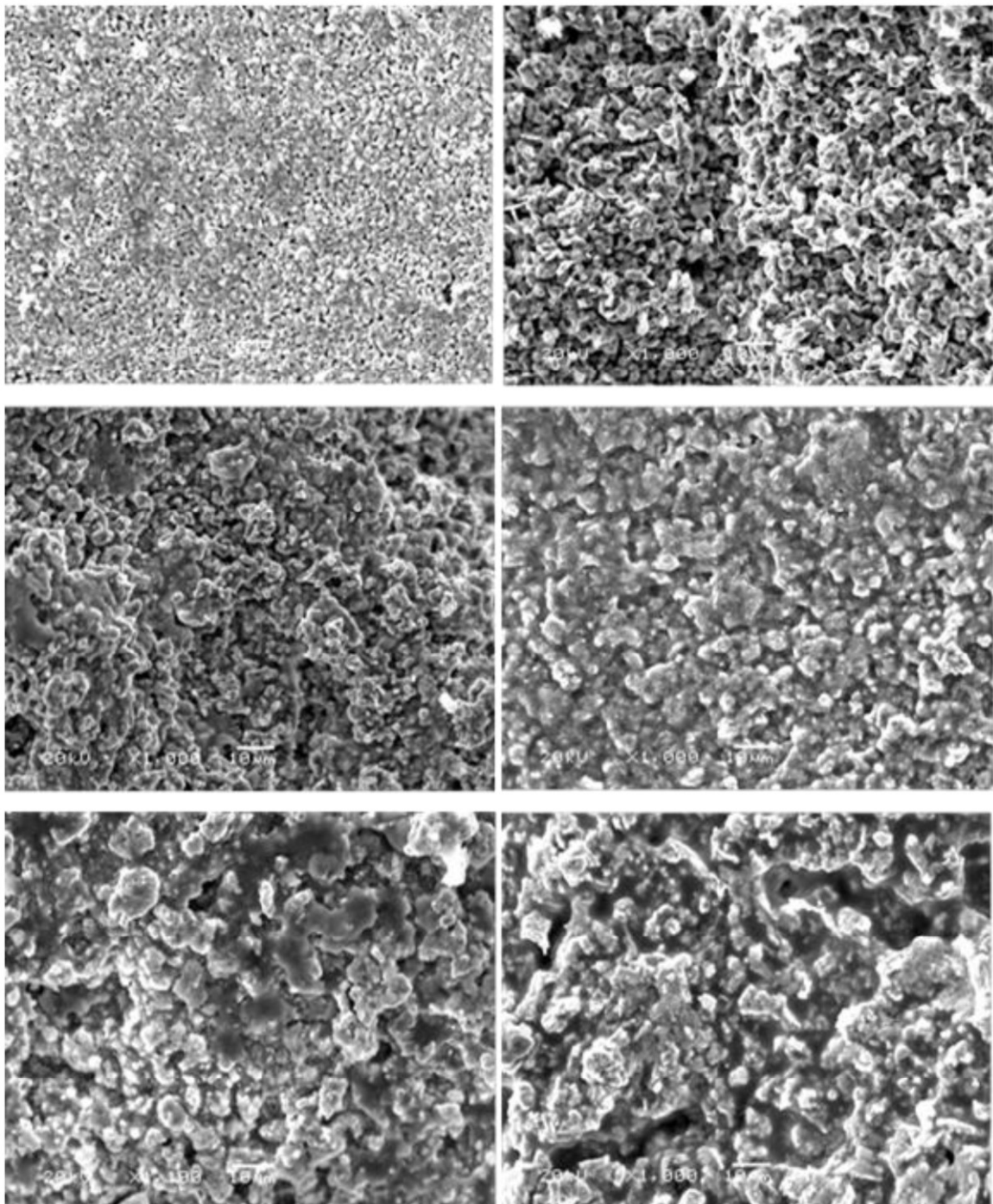


Şekil 6.27. 10, 15 ve 20 saat elektro-deoksidasyon uygulanan numunelerin X-ışın desenleri.

Oksit pelet numunenin ergimiş tuz çözeltisine daldırılmasıyla telin çevresinde başlamasıyla hızlı indirgenme ve yüksek akım değerleri okunmaktadır. 3PI olarak tanımlanan faz sınırları deoksidasyon sırasında yüzeyde indirgenme tamamlandıktan sonra merkeze doğru ilerlemeye başladığı Şekil 6.28'de görülmektedir.



Şekil 6.28. (a) 2 saat (b) 4 saat elektro-deoksidasyon uygulanmış  $\text{La}_{0.5}\text{Ti}_{0.5}\text{Ni}_5$  kesit deney numunesinin taramalı elektron mikroskopu görüntüsü.

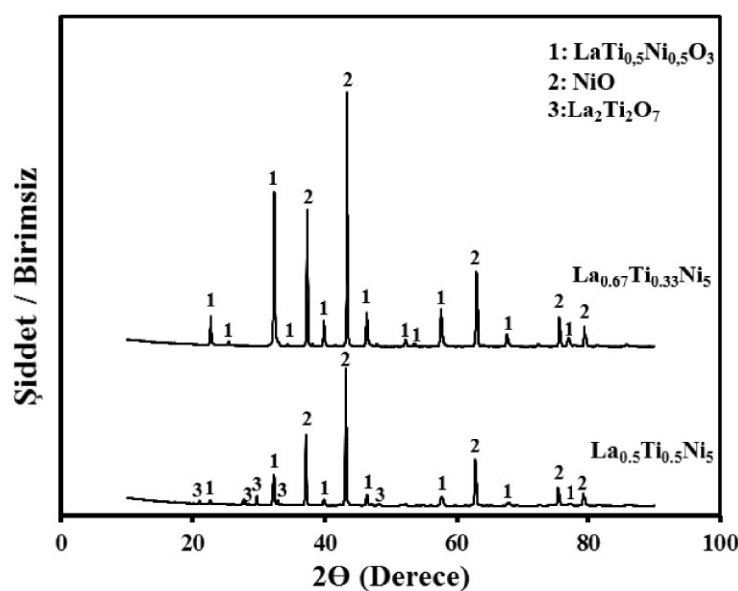


Şekil 6.29. Toz morfolojileri: (a) Sinterlenmiş numune ile (b) 2 saat (c) 4 saat (d) 8 saat (e) 15 saat ve (f) 20 saat elektro-deoksidasjona uğratılmış numuneler.

Sinterlenen ve 2, 4, 8, 15, 20 saat elektro-deoksidasyon işlemi uygulanan numunelere ait SEM görüntülerini Şekil 6.29'da verilmiştir. 1200°C'de 2 saat sinterlenmiş tozlar metalik oksit toz görünümüne sahip olduğu görülmektedir. Deoksidasyon süresinin ilerlemesiyle oksijen atomu, metal atomundan daha büyük olduğu için indirgenme sırasında oksijen atomunun uzaklaşması boşluklu yapının oluşmasına ve ilerleyen süreyle tanelerin büyütülmeye metalik bir görünüm kazandığı görülmüştür. Şekil 6.29'da sinter sonrası deoksidasyon işlem süresinin artmasıyla ve 20 saatlik deoksidasyon sonucunda elde edilen yapının gözenekli olması, hidrojen depolama alaşımaları için önemli bir avantaj sağlamaktadır. Artan yüzey alanı hidrojen depolama kapasitesini gelişmesine olanak sağlamaktadır (Anık vd., 2015).

#### 6.4.2. $\text{La}_{0.67}\text{Ti}_{0.33}\text{Ni}_5$ alaşımının yapısal ve morfolojik gelişimi

$\text{La}_2\text{O}_3$ - $\text{TiO}_2$ - $\text{NiO}$  toz karışımı,  $\text{La}_{0.67}\text{Ti}_{0.33}\text{Ni}_5$  alaşımının üretimi hedeflenerek hazırlanmış, 1200 °C'de 2 saat sinterlenmiş numunelerin XRD sonuçları  $\text{La}_{0.5}\text{Ti}_{0.5}\text{Ni}_5$  alaşımıyla karşılaştırılarak Şekil 6.30'da verilmiştir. Sinterlenmiş numunenin XRD analizlerinde çözünürlük sınırının çok üzerinde Ti ilavesinin  $\text{La}_{0.5}\text{Ti}_{0.5}\text{Ni}_5$  kompozisyonundan farklı olarak  $\text{La}_{0.67}\text{Ti}_{0.33}\text{Ni}_5$  kompozisyonunda sinter yapısını değiştirmiştir. mevcuttur. Sinterleme sonucunda elde edilen  $\text{LaTi}_{0.5}\text{Ni}_{0.5}\text{O}_3$  ve  $\text{NiO}$  fazlarının oluşumu reaksiyon (6.29) ile açıklanmaktadır.



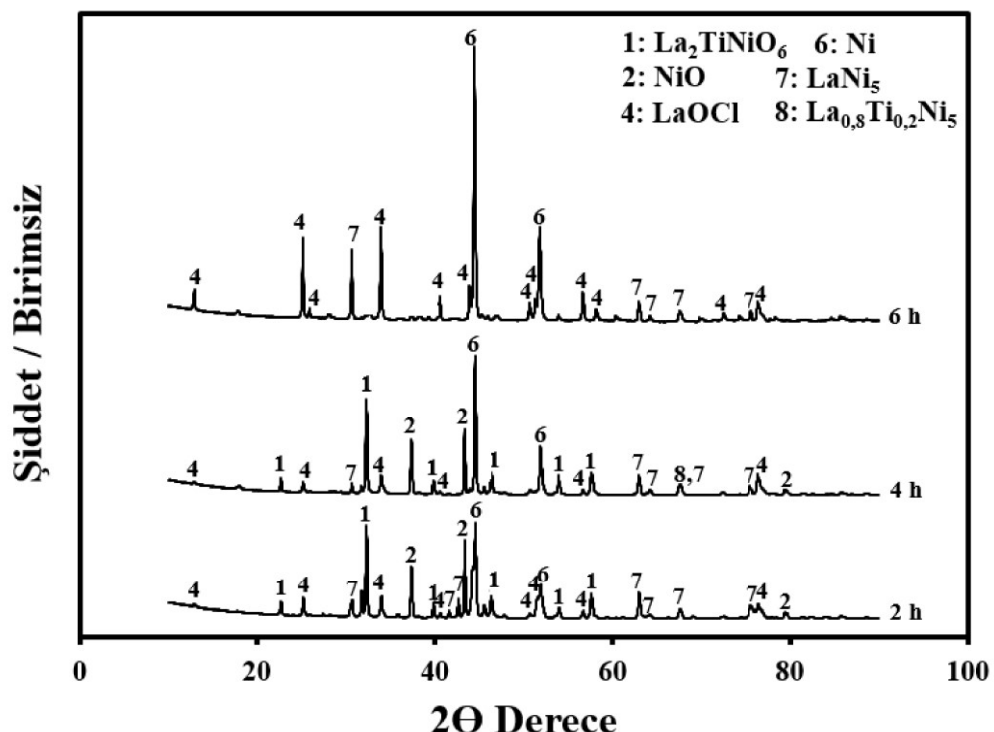
Şekil 6.30. Sinterlenen  $\text{La}_{0.5}\text{Ti}_{0.5}\text{Ni}_5$  ve  $\text{La}_{0.67}\text{Ti}_{0.33}\text{Ni}_5$  alaşımlarının X-ışın desenleri.



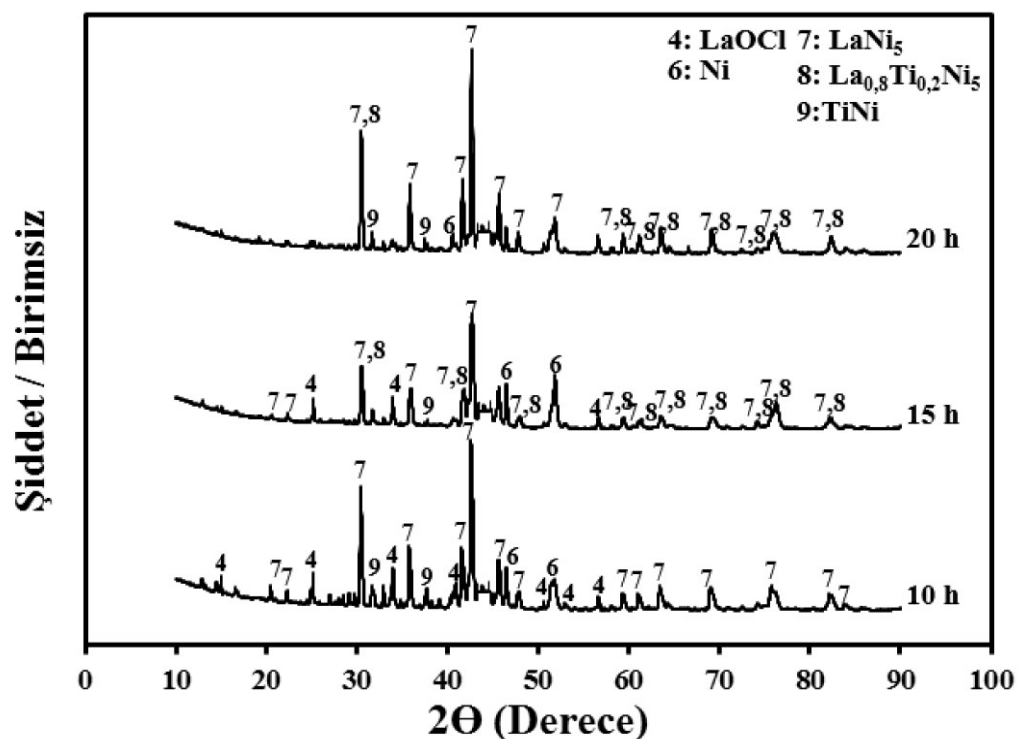
Deoksidasyon süresinin ilerlemesiyle 2 ve 4 saatin sonunda sinter ürünlerinin tamamının indirgenmediği, ( $\text{LaTi}_{0,5}\text{Ni}_{0,5}\text{O}_3$ ,  $\text{NiO}$ )  $\text{LaOCl}$  ve  $\text{LaNi}_5$  fazları görülmüştür. Elde edilen bu fazların oluşumu (6.31), (6.33), (6.34) reaksiyonları ile açıklanmaktadır. 6. saatin sonunda yapıda (6.32) ve (6.34) reaksiyonları sonucu oluşan  $\text{LaNi}_5$ ,  $\text{LaOCl}$  ve  $\text{Ni}$  pikleri bulunmaktadır.  $\text{LaNi}_5$ ,  $\text{La}_{0,5}\text{Ti}_{0,5}\text{Ni}_5$ ,  $\text{La}_{0,67}\text{Ti}_{0,33}\text{Ni}_5$ 合金larının reaksiyonlarla açıklanan elektro-deoksidasyon mekanizmasında  $\text{LaNi}_5$  oluşumunda kullanılan  $\text{LaOCl}$  fazı sinter fazının ergimiş  $\text{CaCl}_2$  çözeltisi ile teması sonucu termodinamik olarak kendiliğinden oluşur (Anık vd., 2015a; Anık vd., 2015b; Anık vd., 2016).

10 ve 15. saatin sonunda yapıda  $\text{LaOCl}$ ,  $\text{LaNi}_5$ ,  $\text{TiNi}$  fazları görülmektedir (Şekil 6.31).  $\text{LaOCl}$ 'nin 15. saatin sonunda yapıda bulunması elekto-deoksidasyon deneylerinde istenilen bir durum değildir.  $\text{La}_{0,67}\text{Ti}_{0,33}\text{Ni}_5$ 合金ının elektro-deoksidasyon deney başlangıcının yüksek potansiyellerde gerçekleşmesi sonucu reaksiyonların hızlı ilerlemesi ve  $\text{NiO}$  tanelerinin hızlıca  $\text{Ni}$  fazına indirgenerek boşluklarda  $\text{O}^{2-}$  konsantrasyonunun artmasına sebep olmaktadır. Diğer bir durum  $\text{LaNi}_5$ 合金ına çözünürlük sınırına yakın ve üstünde eklenen  $\text{TiO}_2$  hızlıca  $\text{Ti}$  indirgenerek  $\text{Ti-Ni}$  oluşan metalik tabakanın, peletin dış kısmından iç kısmına doğru ilerlemesiyle ortaya çıkan  $\text{CaO}$ 'nun, çözeltinin içerisinde hızlı hareket edememesine ve indirgenme için gerekli  $\text{Ca}^{+2}$  iyonlarının oksitlerle reaksiyona girmesi zorlaşmasına sebep olduğu ve bu durumda oksitli fazın indirgenme potansiyelini daha negatif değerlere yönettiği ile açıklanmaktadır (Liu vd., 2019; Abdelkader, 2013).

Stokiyometrik olarak  $\text{La}_{0,67}\text{Ti}_{0,33}\text{Ni}_5$ 合金ı için kullanılan  $\text{La}_2\text{O}_3$ - $\text{TiO}_2$ - $\text{NiO}$  toz karışımının reaksiyon eşitliklerine bakıldığından (6.37) reaksiyonu ile açıklanan  $\text{La}_{0,8}\text{Ti}_{0,2}\text{Ni}_5$  fazının oluşumunda kullanılan titanyumun (6.31) reaksiyonu sonucunda indirgenmiş  $\text{Ti}$ 'la mümkün olduğu görülmüştür. 20. saatin sonunda yapıda  $\text{LaNi}_5$ ,  $\text{TiNi}$  ve  $\text{LaNi}_5$  titanyumlu合金ının birbirinin üstüne geldiği Şekil 6.32'de görülmektedir.

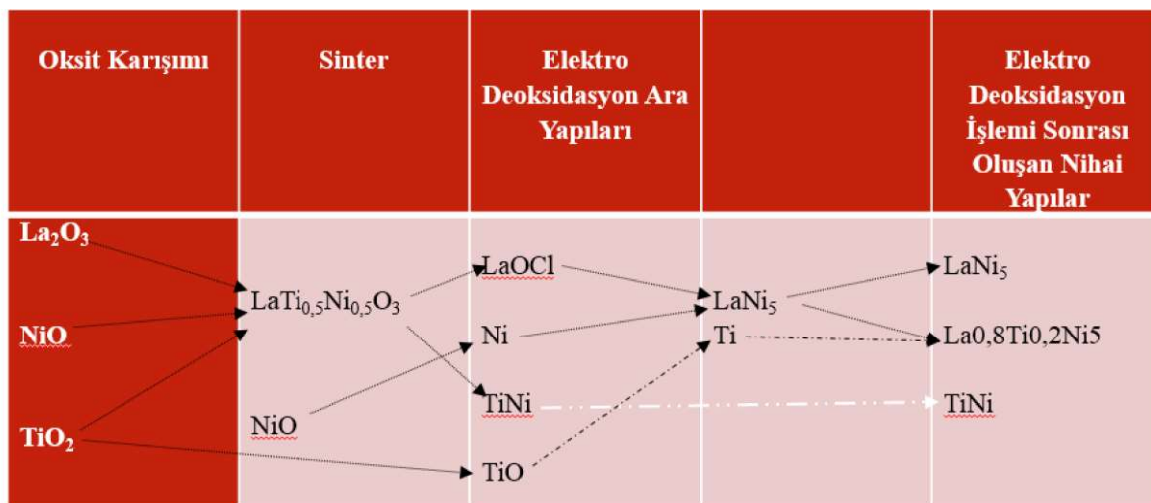


Şekil 6.31. 2, 4 ve 6 saat elektro-deoksidasyon uygulanan numunelerin X-ışın desenleri.



Şekil 6.32. 10, 15, 20 saat elektro-deoksidasyon uygulanan numunelerin X-ışın desenleri.

$\text{La}_{0,67}\text{Ti}_{0,33}\text{Ni}_5$  kompozisyonunu elde etmek için hazırlanan oksit karışımından elektro-deoksidasyon yöntemiyle nihai ürün elde edilmesini gösteren özet şema Şekil 6.33'de verilmiştir.

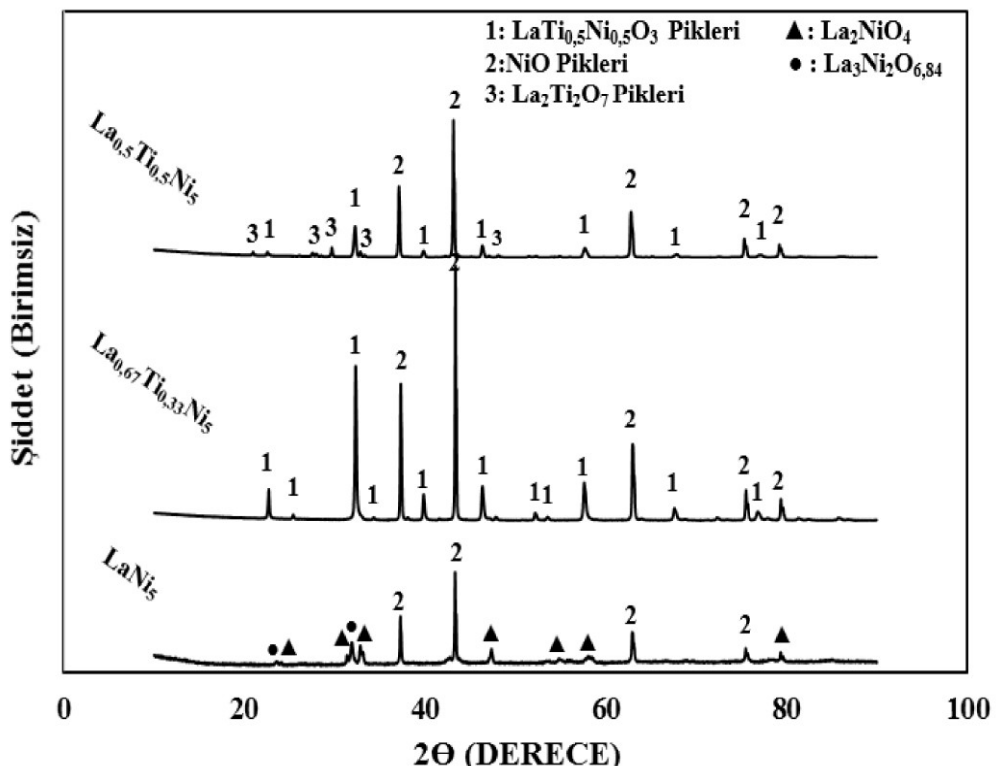


Şekil 6.33.  $\text{La}_{0,67}\text{Ti}_{0,33}\text{Ni}_5$  alaşımının elektro-deoksidasyon yöntemiyle sentezlenmesinin şematik gösterimi.

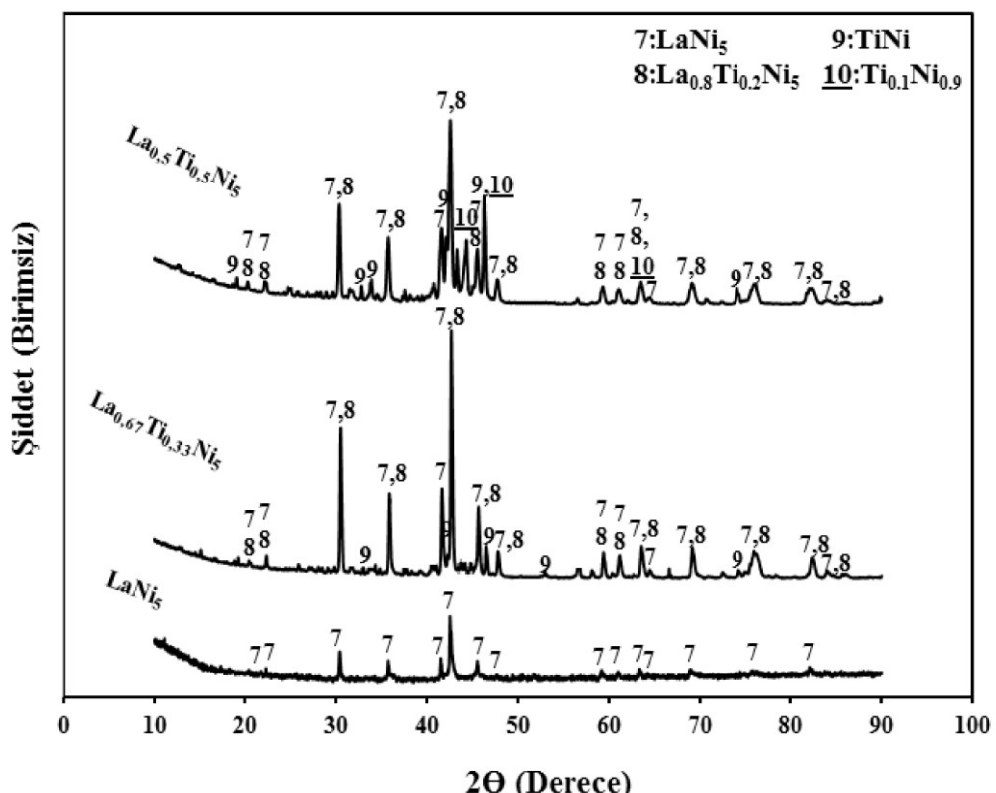
$\text{LaNi}_5$ ,  $\text{La}_{0,5}\text{Ti}_{0,5}\text{Ni}_5$  ve  $\text{La}_{0,67}\text{Ti}_{0,33}\text{Ni}_5$  alaşımlarının elektro-deoksidasyon işlemi sonucunda süreye bağlı oluşan fazların karşılaştırılması gösterilmiştir.  $\text{LaNi}_5$  oluşumundan farklı olarak,  $\text{La}_{0,5}\text{Ti}_{0,5}\text{Ni}_5$  ve  $\text{La}_{0,67}\text{Ti}_{0,33}\text{Ni}_5$  alaşımlarında 20. saatte elektro-deoksidasyon işleminin sonucunda oluşan fazlar sırasıyla  $\text{LaNi}_5$ ,  $\text{La}_{0,8}\text{Ti}_{0,2}\text{Ni}_5$ ,  $\text{TiNi}$ ,  $\text{Ti}_{0,1}\text{Ni}_{0,9}$  ve  $\text{LaNi}_5$ ,  $\text{La}_{0,8}\text{Ti}_{0,2}\text{Ni}_5$ ,  $\text{TiNi}$ 'dir.

Çizelge 6.3.de gösterilen fazların  $\text{La}_{(1-x)}\text{Ti}_x\text{Ni}_5$  ( $x: 0, 0,33, 0,5$ ) alaşımlarının elektro-deoksidasyon yöntemiyle üretiminde sinter fazlarının karşılaştırılmasını gösteren XRD analiz sonuçları Şekil 6.34'de gösterilmektedir.

$\text{La}_{(1-x)}\text{Ti}_x\text{Ni}_5$  ( $x: 0, 0,33, 0,5$ ) alaşımlarının elektro-deoksidasyon yöntemiyle 20 saatlik elektro-deoksidasyon sonucunda oluşan fazların karşılaştırılması gösteren XRD analiz sonuçları Şekil 6.35'de gösterilmektedir.



Şekil 6.34.  $\text{La}_{(1-x)}\text{Ti}_x\text{Ni}_5$  ( $x: 0, 0,33, 0,5$ ) Alaşımlarının Elektro-deoksidasyon Yöntemiyle Üretiminde Sinter Fazlarının Karşılaştırılması.



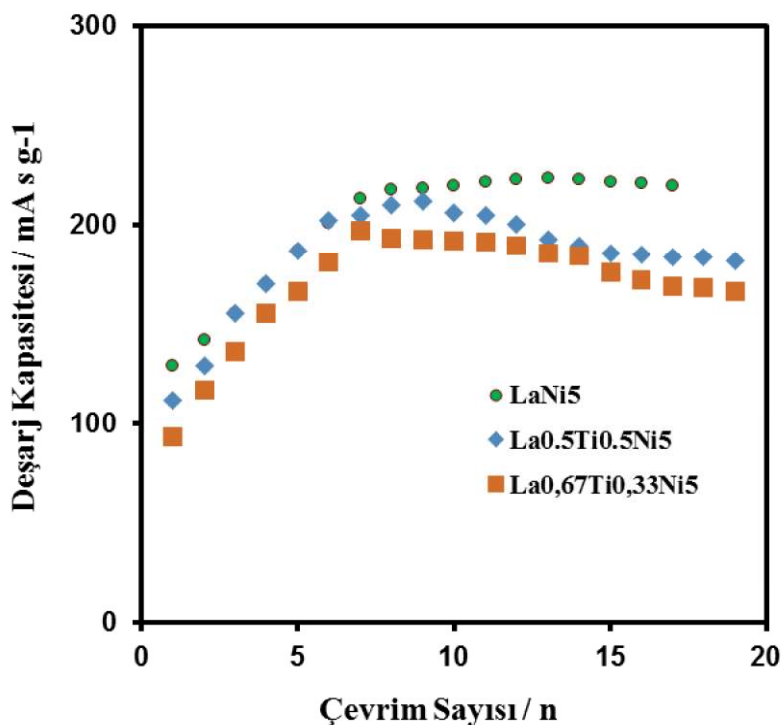
Şekil 6.35.  $\text{La}_{(1-x)}\text{Ti}_x\text{Ni}_5$  ( $x: 0, 0,33, 0,5$ ) Alaşımlarının Elektro-deoksidasyon Yöntemiyle Üretiminde 20 saatlik Elektro-deoksidasyon Sonucunda Oluşan Fazların Karşılaştırılması.

Çizelge 6.3.  $\text{La}_{0,5}\text{Ti}_{0,5}\text{Ni}_5$  ve  $\text{La}_{0,67}\text{Ti}_{0,33}\text{Ni}_5$  alaşımlarının elektro-deoksidasyon işlemi sonucunda süreye bağlı oluşan fazlar.

Oksit Toz Karışımı	Süre (Saat)	$\text{LaNi}_5$	$\text{La}_{0,5}\text{Ti}_{0,5}\text{Ni}_5$	$\text{La}_{0,67}\text{Ti}_{0,33}\text{Ni}_5$
	<b>Sinter (1200°C 2 saat)</b>	$\text{La}_2\text{NiO}_4$ , $\text{La}_3\text{Ni}_2\text{O}_{6.84}$ NiO	$\text{LaTi}_{0,5}\text{Ni}_{0,5}\text{O}_3$ $\text{La}_2\text{Ti}_2\text{O}_7$ NiO	$\text{LaTi}_{0,5}\text{Ni}_{0,5}\text{O}_3$ NiO
	<b>2</b>	Ni, $\text{LaOCl}$ , $\text{La}_4\text{Ni}_3\text{O}_9$ , $\text{LaNi}_5$	$\text{LaOCl}$ , $\text{LaTi}_{0,5}\text{Ni}_{0,5}\text{O}_3$ Ni, NiO	$\text{LaOCl}$ , $\text{LaTi}_{0,5}\text{Ni}_{0,5}\text{O}_3$ Ni, NiO, $\text{LaNi}_5$
	<b>4</b>	Ni, $\text{LaOCl}$ , $\text{La}_4\text{Ni}_3\text{O}_9$ , $\text{LaNi}_5$	$\text{LaOCl}$ , $\text{LaTi}_{0,5}\text{Ni}_{0,5}\text{O}_3$ Ni, $\text{LaNi}_5$	$\text{LaOCl}$ , $\text{LaTi}_{0,5}\text{Ni}_{0,5}\text{O}_3$ Ni, NiO, $\text{LaNi}_5$
<b><math>\text{La}_2\text{O}_3</math></b>	<b>6</b>	Ni, $\text{LaOCl}$ , $\text{LaNi}_5$	TiNi, Ni, $\text{LaNi}_5$ , $\text{Ti}_{0,1}\text{Ni}_{0,9}$	$\text{LaOCl}$ , Ni, $\text{LaNi}_5$
<b><math>\text{TiO}_2</math></b>	<b>8</b>	Ni, $\text{LaNi}_5$		
<b><math>\text{NiO}</math></b>	<b>10</b>	$\text{LaNi}_5$	La $\text{Ni}_5$ , $\text{La}_{0,8}\text{Ti}_{0,2}\text{Ni}_5$ , TiNi, $\text{Ti}_{0,1}\text{Ni}_{0,9}$	$\text{LaOCl}$ , Ni, $\text{LaNi}_5$ , TiNi
	<b>15</b>	$\text{LaNi}_5$	La $\text{Ni}_5$ , $\text{La}_{0,8}\text{Ti}_{0,2}\text{Ni}_5$ , TiNi, $\text{Ti}_{0,1}\text{Ni}_{0,9}$	$\text{LaOCl}$ , Ni, La $\text{Ni}_5$ , $\text{La}_{0,8}\text{Ti}_{0,2}\text{Ni}_5$ , TiNi
	<b>20</b>	$\text{LaNi}_5$	La $\text{Ni}_5$ , $\text{La}_{0,8}\text{Ti}_{0,2}\text{Ni}_5$ , TiNi, $\text{Ti}_{0,1}\text{Ni}_{0,9}$	La $\text{Ni}_5$ , $\text{La}_{0,8}\text{Ti}_{0,2}\text{Ni}_5$ , TiNi,

#### 6.4.3. $\text{LaNi}_5$ ve $\text{La}_{(1-x)}\text{Ti}_x\text{Ni}_5$ ( $x: 0, 0,33, 0,5$ ) alaşımlarının hidrojen depolama karakteristikleri

20 saat elektro-deoksidasyonla üretilen  $\text{La}_{0,5}\text{Ti}_{0,5}\text{Ni}_5$  ve  $\text{La}_{0,67}\text{Ti}_{0,33}\text{Ni}_5$  alaşımlarının çevrim sayısına bağlı deşarj kapasiteleri, AB<sub>5</sub>-tipi hidrojen depolama alaşımı  $\text{LaNi}_5$  ile karşılaştırılarak Şekil 6.36'da verilmiştir.  $\text{LaNi}_5$ ,  $\text{La}_{0,5}\text{Ti}_{0,5}\text{Ni}_5$  ve  $\text{La}_{0,67}\text{Ti}_{0,33}\text{Ni}_5$  alaşımları maksimum deşarj kapasitesi 6. çevrimin sonunda elde edilmiştir. Sırasıyla alaşımların maksimum deşarj kapasiteleri,  $223 \text{ mAhg}^{-1}$ ,  $210 \text{ mAhg}^{-1}$  ve  $196 \text{ mAhg}^{-1}$  elde edilmiştir.



Şekil 6.36. 20 saat elektro-deoksidasyon sonucunda üretilen LaNi<sub>5</sub>, La<sub>0,5</sub>Ti<sub>0,5</sub>Ni<sub>5</sub> ve La<sub>0,67</sub>Ti<sub>0,33</sub>Ni<sub>5</sub> alaşımlarının şarj-deşarj çevrim sayısına bağlı deşarj kapasiteleri

LaNi<sub>5</sub> alaşımına eklenen titanyum sonucunda La<sub>0,5</sub>Ti<sub>0,5</sub>Ni<sub>5</sub> ve La<sub>0,67</sub>Ti<sub>0,33</sub>Ni<sub>5</sub> alaşımının deşarj kapasitesinin düşmesi birçok sebeple açıklanabilir. Bunlardan ilki oksit/hidroksit tabakasına bağlı olarak elektrot performansında bu düşüşe sebep olmasıdır. Şarj/Deşarj çevrim performansa katkı sağlama amacıyla LaNi<sub>5</sub> alaşımına yapılan Ti ilavesinin alaşım korozyonunu gerekli şekilde engelleyememesi ile açıklanılmaktedir (Wang vd., 2009). İkinci olarak 20 saatlik elektro-deoksidasyon işlemi sonucunda yapıda elde edilen fazların çeşitliliğidir. Yapıdaki fazların farklı hacim değişimleri ve hidrojen depolama kapasitesine sahip olmaları kapasite koruma oranının düşmesine sebep olmaktadır (Hu vd., 2013).

## 7. SONUÇ VE ÖNERİLER

Bu araştırmada, titanyum zirkonyum esaslı  $Ti_{0,5}Zr_{0,5}Ni$  ve  $Ti_{1,85}Zr_{0,15}Ni$  alaşımaları ve AB<sub>5</sub> tipi hidrojen depolama alaşımı  $LaNi_5$  ve  $La_{(1-x)}Ti_xNi_5$  ( $x: 0, 0,33, 0,5$ ) alaşımaları ergimiş  $CaCl_2$  çözeltisi içerisinde elektro-deoksidasyon yöntemi ile üretilmiş, elektrokimyasal olarak sentezlenmiş alaşımaların hidrojen depolama özellikleri incelenmiştir. Bu çalışma sonucunda aşağıdaki bulgulara ulaşılmıştır.

- Stokiyometrik oksitler  $TiO_2$ ,  $ZrO_2$  ve  $NiO$ , 5 saat elektro-deoksidasyon sonucunda  $Ti_3O_5$ ,  $CaTiO_3$ ,  $CaZrO_3$ , Ni ve  $Ti_2O_3$  yapılarına indirgenmiştir.
- 24 saat süren elektro-deoksidasyondan işleminin sonucunda, maksimum Zr çözünürlüğüne sahip denge  $Ti_2Ni$  faz yapısına sahip alaşım elde edilmiştir. Sentezlenen alaşının maksimum deşarj kapasitesi  $200 \text{ mAhg}^{-1}$  elde edilmiştir. Şarj/deşarj çevrim sayısının artması deşarj kapasitenin düşmesine sebep olmuştur. Elektro-deoksidasyon yöntemiyle sentezlenen alaşının elektrot performansındaki hızlı düşüşün sebebi elektrot yüzeyinde oluşan bariyer oksit tabakası olduğu görülmüştür.
- Elektro-deoksidasonda  $LaNi_5$  oluşumunu  $La_2NiO_4$  fazın başlatmıştır. Bu faz temelde ana La-Ni-O fazı olduğu düşünülmektedir.
- $LaNi_5$  alaşının maksimum hidrojen depolama kapasitesi  $223 \text{ mAhg}^{-1}$  elde edilmiştir. Maksimum deşarj kapasitesine ulaşılabilmesi 13 çevrimde gerçekleşmiş ve 30 çevrim sonrasında bu kapasitenin yaklaşık %90'ını koruduğu görülmüştür.
- $La_{0,5}Ti_{0,5}Ni_5$  ve  $La_{0,67}Ti_{0,33}Ni_5$  alaşımaları maksimum deşarj kapasitesi 6. çevrimin sonunda elde edilmiştir. Sırasıyla alaşımaların maksimum deşarj kapasiteleri,  $210 \text{ mAhg}^{-1}$  ve  $196 \text{ mAhg}^{-1}$  dir.
- $La_{0,5}Ti_{0,5}Ni_5$  ve  $La_{0,67}Ti_{0,33}Ni_5$  alaşımlarının, 20 saatlik elektro-deoksidasyon işlemi sonucunda yapıda elde edilen fazların çeşili olması, farklı hacim değişimleri ve hidrojen depolama kapasitesine sahip olmaları kapasite koruma oranının düşmesine sebep olduğu düşünülmektedir.

Bu çalışma, TiNi,  $Ti_2Ni$ ,  $LaNi_5$  alaşımı ve bu alaşima titanyum ilavesiyle üretilmesi amaçlanan  $La_{0,5}Ti_{0,5}Ni_5$  ve  $La_{0,67}Ti_{0,33}Ni_5$  alaşımları elektro-deoksidasyon yöntemiyle üretiminin mümkün olduğunu göstermiştir.

$LaNi_5$  alaşımının deşarj kapasitesinin geliştirilmesi amacıyla titanyum ilavesinin çözünürlük sınırının çok altında seçilmesi ve nikelin hızlı indirgenmesi ve titanyumla yüzeyde tabaka oluşumunun önüne geçilmesinin yanı sıra Ti yanında hidrür yapıcı zirkonyum eklenmesinin iyileştirmeye katkısı olacağı düşünülmektedir.

Elektro-deoksidasyon deneylerinde 3PI (3 faz ara hattı) mekanizmasının  $LaNi_5$  alaşımına düşük miktarlarda eklenen titanyum sonrası alaşım için hesaplamaların yapılması ve deoksidasyon için faz oluşum mekanizmalarının açıklanması açısından önerilmektedir.

## KAYNAKLAR DİZİNİ

- Abdelkader A.M., Tripuraneni Kilby K., Cox A., Fray D.J., 2013, Voltammetry of electro-deoxidation of solid oxides, ACS Publications Chemical Review, 113, 2863-2886.
- Adzic G.D., Johnson J.R., Reilly J.J., McBreen J., Mukerjee S.; vd., 1995, Cerium content and cycle life of multicomponent AB<sub>5</sub> hydride electrodes, Journal of the Electrochemical Society, 142, 3429-3433.
- Alexander D.T.L., Schwandt C., Fray D.J., 2011, The electrodeoxidation of dense titanium dioxide precursors in molten calcium chloride giving a new reaction pathway, *Electrochimica Acta*, 56, 3286–3295.
- Anık, M., 2009b, Improvement of the electrochemical hydrogen storage performance of Mg<sub>2</sub>Ni by the partial replacements of Mg by Al, Ti and Zr, *J. Alloys and Compounds* 486 (1-2), 109-114.
- Anık, M, Akay, I., Özdemir, G., Baksan, B., 2009c, Electrochemical hydrogen storage performance of Mg-Ti-Zr-Ni alloys, *Int. J. Hydrogen Energy* 34 (24), 9765-9772.
- Anık, M., Baksan, B., Orbay, T.O., Kucukdeveci, N., Binal Aybar A., vd., 2014, Hydrogen storage characteristics of Ti<sub>2</sub>Ni alloy synthesized by the electro-deoxidation technique, *Intermetallics*, 46, 51-55.
- Anık, M., Binal Aybar, A., Küçükdeveci, N., Erken, H., Baksan, B., vd., 2015a, Synthesis of La<sub>2</sub>Ni<sub>7</sub> hydrogen storage alloy by the electro-deoxidation technique, *International Journal of Hydrogen Energy*, 40, 2248-2254.
- Anık, M., Binal Aybar, A., Hatırnaz, N.B., Özdemir, D., 2015b, Synthesis of La<sub>2</sub>(Ni<sub>1-x</sub>Co<sub>x</sub>)<sub>7</sub> (x: 0,05, 0,1, 0,2) hydrogen storage alloys by the electro-deoxidation technique, *Journal of The Electrochemical Society*, 162, 6, A1080-A1084.
- Anık, M., Binal Aybar, A., Hatırnaz, N.B., 2016, molten salt synthesis of La(Ni<sub>1-x</sub>Co<sub>x</sub>)<sub>5</sub> (x:0, 0.1, 0.2, 0.3) type hydrogen storage alloys, *International Journal of Hydrogen Energy*, 41, 361-368.
- Binal Aybar A., Anik M., 2017, Direct synthesis of La-Mg-Ni-Co type hydrogen storage alloys from oxide mixtures, *Journal of Energy Chemistry*, 26, 719-723.
- Burheim O., Haarberg G.M., 2010, Effects of inert anodes in the FFC Cambridge reduction of hematite, *Mineral Processing and Extractive Metallurgy*, 119, 77–81.

## KAYNAKLAR DİZİNİ (Devam)

- Chen G.Z., 2013, The FFC Cambridge process for metal production: principle, practice and prospect, Proceedings of the Third International Slag Valorisation Symposium, 217-233.
- Chen G.Z., 2013, Forming metal powders by electrolysis, Advances in powder metallurgy: Properties, processing and applications Chapter: Forming metal powders by electrolysis, 19-39.
- Chen G.Z., 2014, The FFC Cambridge process and its relevance to valorisation of ilmenite and titanium-rich slag, Mineral Processing and Extractive Metallurgy, 96-105.
- Chen G.Z., Fray D. J., 2001 a, Cathodic refining in molten salts: Removal of oxygen, sulfur and selenium from static and flowing molten copper, Journal of Applied Electrochemistry, 31, 155.
- Chen G.Z., Fray D. J., 2001 b, Electro-deoxidation of metal oxides, Light Metals 2001, 1147–1151.
- Chen G.Z., Fray D.J., 2002, Voltammetric studies of the oxygen-titanium binary system in molten calcium chloride, Journal of Electrochemical society, 149, 455.
- Chen G.Z., Fray D. J., Farthing T.M., 2000, Direct electrochemical reduction of titanium dioxide to titanium in molten calcium chloride, Nature, 407, 361-364.
- Chen G.Z., Fray D. J., Farthing T.M., 1998, Removal of oxygen from metal oxides and solid solutions by electrolysis in fused salt, WO 99/64638.
- Chen G.Z., Fray D. J., Farthing T.M., 2001, Cathodic deoxygenation of alpha case on titanium and alloys in molten calcium chloride, Metallurgical and Materials Transaction, 32B, 1041-1052.
- Chen G.Z., Gordo E., Fray D.J., 2004, Direct electrolytic preparation of chromium powder”, Metallurgical and Materials Transactions B, 35 223-233 (2004).
- Chen G.Z., Fray D. J., 2020, Invention and fundamentals of FFC Cambridge Process, Extractive Metallurgy of Titanium, Chapter 11, 227-286.
- Chen G.Z., Fray D. J., 2004, Understanding the electro-reduction of metal oxides in molten salts, Symposium of recent advances in non-ferrous metal processing, 881-886.

## KAYNAKLAR DİZİNİ (Devam)

- Chen J., Kuriyama N., Takeshita H.T., Tanaka H., Sakai T., vd., 2000, Hydrogen storage alloys with  $\text{PuNi}_3$ -type structure as metal hydride electrodes, *Electrochemical and Solid-State Letters*, 3, 249-252.
- Chen Z., Chen Z., Huang K., Huang P., 1999, Properties of  $\text{Zr Ti V Ni}$  alloy ball-milled with nanocrystalline 0.5 0.5 0.75 1.25  $\text{LaNi}_5$  powder, *Journal of Alloy and Compound*, 712-715.
- Cuevas F, Joubert J-M, Latroche M, (2001), Percheron-Guegan A Intermetallic compounds as negative electrodes of Ni/MHbatteries, *Applied Physics A*, 72, 225-238. 133
- Deng Y., Wang D.H., Xiao W., Jin X.B., Hu X.H. vd., 2005, Electrochemistry at conductor/insulator/electrolyte three-phase interlines: A thin layer model, *The Journal of Physical Chemistry B*, 109, 14043-14051.
- Dircks, H., 1863, Contribution towards a history of electro-metallurgy, voltammetry of electro-deoxidation of solid oxides, A.M. Abdelkader, K. Tripuraneni Kilby, A. Cox, and D. J. Fray (Eds.), ACS Publications Chemical Review, p. 2863-2886.
- Dring, K.; Dashwood, R.; Inman, D., 2005 Voltammetry of titanium dioxide in molten calcium chloride at 900°C, *Journal of Electrochemical Society*, 152, 104-113.
- Du Ji-hong, XI Z., Li Qing-yu, Xu Q., Tang Y., Li Z., 2007, Effect of  $\text{TiO}_2$  cathode performance on preparation of  $\text{Ti}$  by electro-deoxidation, *Trans. Nonferrous Met. Soc. China*, 17, 514-521.
- Erdoğan M., Akpinar B., Karakaya İ., 2017, Molybdenum Production by the Electrochemical Reduction of Solid Molybdenum Compounds, *Çukurova Üniversitesi Mühendislik-Mimarlık Fakültesi Dergisi*, 32, 207-214.
- Fenn A.J., Cooley G., Fray D., 2004, Exploiting FFC Cambridge Process, *Advanced Materials and Process*, 51-53.
- Fray D., Emerging Moltem Salt Technologies for Metals Production, 2001, Emerging Technologies Overview, *The Journal of The Minerals, Metals & Materials Society (TMS)*, 26-31
- Fray D.J., Chen G.Z., 2004, Reduction of titanium and other metal oxides using electrodeoxidation, 20, 295-300.
- Garche J., *Encyclopedia of electrochemical power sources*, 2009, Elsevier, p520.

## KAYNAKLAR DİZİNİ (Devam)

- Gibilaro M., Pivato J., Cassayre L., Massot L., Chamelot vd., 2011, Direct electro-reduction of oxides in molten fluoride salts, *Electrochimica Acta*, 56 5410-5415.
- Glohami T., irsaheb M., 2020, Review on effective parameters in electrochemical hydrogen storage, *International Journal of HyDrogen Energy*, In Press.
- Gordo, E., Chen, G.Z., Fray, D.J., 2004, Toward optimisation of electrolytic reduction of solid chromium oxide to chromium powder in molten chloride salts, *Electrochimica Acta*, 49, 2195-2208.
- Goto T., Araki Y. Hagiwara R., 2006, Oxygen gas evolution on the boron-doped diamond electrode in molten chloride system, *Electrochemical and Solid-State Letters*, 9, 5–7.
- Gupta, K.P., 1999, The Ni-Ti-Zr System, *Journal of Phase Equilibria* Vol.20 No.4, 441-448.
- Habashi, F., 1997, Handbook of extractive metallurgy, Voltammetry of electro-deoxidation of solid oxides, A.M. Abdelkader, K. Tripuraneni Kilby, A. Cox, and D. J. Fray (Eds.), ACS Publications Chemical Review, p. 2863-2886. 134
- Hirscher M., 2009, Handbook of hydrogen storage, Wiley, p.81.
- Hu D., Chen G.Z., 2017, Advanced extractive electrometallurgy, Springer Handbook of Electrochemical Energy, 814-824.
- Hu D., Dolganov A., Ma M., Bhattacharya B., Bishop M.T., Chen G.Z., 2018, Development of the Fray-Farthing-Chen Cambridge Process:towards the sustainable production of titanium and its alloys, *The Journal of The Minerals, Metals & Materials Society (TMS)*, 70, 129-137.
- Hu M., Zhengfeng Qu., Chenguang B., Hu D., Chen G.Z., 2017, Effect of changed electrolytic cell on the cuffed efficiency in FCC Cambrdige process, *Materials Transactions* 58, 322-325.
- Huang L.W, Elkedi O., Novk M., Chassagnon R., Jurczyk M., 2012,  $Mg_2L_xTi_xNi$  ( $x$  [ 0, 0.5) alloys prepared by mechanical alloying for electrochemical hydrogen storage: Experiments and first-principles calculations, *International Journal of Hydrogen Energy*, 37, 14248-14256.

## KAYNAKLAR DİZİNİ (Devam)

- Jiao S., Fray D.J., 2010, Development of an inert anode in electrowinning in calcium chloride-calcium oxide melts, *Metallurgical and Materials Transactions B*, 41B, 74–79.
- Jiang, J.J., Gasik, M., 2000, An electrochemical investigation of mechanical alloying of MgNi based hydrogen storage alloys, *J. Power Sources* 89, 117–124.
- Joubert J.M., Latroche M , Cerny R., Percheron-Guegan A., Yvon K., 2002, Hydrogen cycling induced degradation in LaNi<sub>5</sub>-type materials, *Journal of Alloys and Compounds*, 330–332, 208–214.
- Kaur M., Kaushik P., 2019, Review on hydrogen storage materials and methods from an electrochemical viewpoint, *Journal of Energy Storage*, 23, 234-249.
- Kang X. Xue Q., Ma S., Zhao L., Song Q., 2009, Mechanistic insight into elektrochemical synthesis of LaNi<sub>5</sub> in eutechitic CaCl<sub>2</sub>-NaCl melt at 850°C, *Electrochemistry*, 663-666.
- Kilby K.T., Jiao S., Fray D.J., 2010, Current efficiency studies for graphite and SnO<sub>2</sub> based anodes for the electrodeoxidation of metal oxides, *Electrochimica Acta*, 55, 7126–7133.
- Kilby K.C.T., Centeno L., Doughty G., Mucklejohn S., Fray D.J., 2006, The electrochemical Production of oxygen and metal via the FFC-Cambridge Process.
- Kim D.M., Kang J.J., Lee J.Y., 1999, *Journal of Alloys and Compounds*, 293-295, 583-592.
- Kleperis, J., Wojcik, G., Czerwinski, A., Skowronski, J., Kopczyk, M., vd., 2001, Electrochemical behavior of metal hydrides, *Journal of Solid State Electrochemistry*, 5, 229-24.
- Kurata M., Yahagi N., Kitawaki S., Nakayishi A. Fukushima M., 2008, Electrochemical reduction of MO<sub>x</sub> pellets in molten lithium chloride based on a practical operating condition, *Nuclear Technology* 164, 433–441.
- Lai P., Hu M., Qu Z., Gao L., Bai C., Zhang S., 2018, Transformation of the three-phase interlines during the electrochemical deoxidation of TiO<sub>2</sub>., *International and Journal of Electrochemical Science*, 13, 4763-4774.
- Liang G., Huot J., Schulz R., 2001, Hydrogen storage properties of the mechanically alloyed LaNi<sub>5</sub> -based materials, *Journal of Alloys and Compounds*, 320, 133-139

## KAYNAKLAR DİZİNİ (Devam)

- Liu R.S., Zhang L., Sun X., Liu H., Zhang J., 2012, Electrochemical technologies for energy storage and conversion, Wiley VCH, p175.
- Liu X., Hu M., Bai C., Lv X., 2017, Effect of electrical conductivity and porosity of cathode on electro-deoxidation process of ilmenite concentrate, Rare Metal Materials and Engineering, 46, 1176-1182.
- Liu K., Wang Y., Di Y., Peng J., 2019, Investigation of the electrochemical reduction of  $\text{Na}_2\text{Ti}_3\text{O}_7$  in  $\text{CaCl}_2$  molten salt, Electrochimica Acta, 318, 236-243.
- Ma M., Wang D., Wang W., Hu X., Jin X., Chen G.Z., 2005, Extraction of titanium from different titania precursors by the FFC Cambridge process, Journal of Alloys and Compounds, 420, 37-45.
- Mohandas, K.S., 2013, Direct electrochemical conversion of metal oxides to metal by molten salt electrolysis: a review, Mineral Processing and Extractive Metallurgy (Trans. Inst. Min Metall. C), 122, 4, 195-212.
- Mohandas K.S., Fray D.J., 2004, FFC Cambridge Process Removal of oxygen from metal-oxygen systems by molten salt electrolysis: an overview, Transactions of the Indian Institute of Metals, 57, 579-592.
- Mohandas, K.S., Fray, D.J., 2009, Electrochemical deoxidation of solid zirconium dioxide in molten calcium chloride, Metallurgical and Materials Transactions B, 40B, 685–699.
- Mohandas K.S., Fray D.J., 2011, Novel electrochemical measurements on direct electro deoxidation of solid  $\text{TiO}_2$  and  $\text{ZrO}_2$  in molten calcium chloride medium, Journal of Applied Electrochemistry, 41, 321-336.
- Mohandas K.S., Shakila L., Sanil N., Vishnu D.S., Nagarajan K., 2011, Studies on the electrochemical deoxidation of uranium oxide in molten calcium chloride, Proceedings of Fray International Symposium on ‘Metals and Materials Processing in a Clean Environment’, 3, 239–252.
- Nagesh CH., Ramachandran C.S., 2007, Electrochemical process of titanium extraction, Trans. Nonferrous Met. Soc. China, 17, 429-433.
- Nohira T., Yasuda K., Ito Y., 2003, Pinpoint and bulk electrochemical reduction of insulating silicon oxide to silicon, Nature Materials., 2, 397–401. 138.

## KAYNAKLAR DİZİNİ (Devam)

- Oesterreicher H., Clinton J., Bittner H., 1976, Hydrides of La-Ni compounds, Materials Research Bulletin, 11, 1241-1247.
- Okabe T. H., Dcura, T. N., Oishi, T., Ono, K., Sadoway, D., 1996, Electrochemical deoxidation of yttrium-oxygen solid solution, Journal of Alloys and Compounds, 237, 150-154.
- Okabe T.H., Ikezawa M., Suzuki R.O., Oishi T., Ono K., 1990, Preparation of TiAl and  $Ti_3Al$  powders by calciothermic reduction of oxides, Journal of Iron Institute of Japan (Proc Annual Meeting of the Iron), 3, 101.
- Okabe T.H., Oishi T., Ono K., 1992, Deoxidation of titanium aluminide by Ca-Al alloy under controlled aluminum activity, Metallurgical and Materials Transactions B, 23, 583.
- Okabe T.H., Oishi T., Ono K., 1993, Electrochemical deoxidation of titanium, Metallurgical and Materials Transactions B, 24, 449.
- Okabe T.H., Suzuki R.O., Oishi T., Ono K., 1991, Preparation of extra low oxygen titanium by calcium halide flux deoxidation, Journal of Iron Institute of Japan, 77, 93.
- Ovshinsky S.R., Fetcenko M.A., 2001, Development of high catalytic activity disordered hydrogen-storage alloys for electrochemical application in nickel–metal hydride batteries, Applied Physics A, 72, 239–244.
- Pan H., Liu Y., Gao M., Wang Q., 2011, Advanced hydrogen storage alloys for Ni/MH rechargeable batteries, Journal of Materials Chemistry, 21, 4743.
- Percheron-Guégan A., Lartigue C., Achard J., 1985, Correlations between the structural properties, the stability and the hydrogen content of substituted  $LaNi_5$  compounds, Journal of the Less Common Metals, 109, 287-309.
- Perry G.S., McDonald L.G., 1985, Role of  $CaCl_2$  in the reduction of  $PuO_2$ , Journal of Nuclear Materials, 130, 234-241.
- Peterson D.T., Hinkebein J.A., 1959, Equilibria in the reaction of barium with calcium chloride, Journal of Physical Chemistry, 63, 1360.
- Qiu G.H., Wang D.H., Jin X.B., Chen G.Z., 2006, A direct electrochemical route from oxide precursors to the terbium-nickel intermetallic compound  $TbNi_5$ , electrochimica Acta, 51, 5785-5793.

### KAYNAKLAR DİZİNİ (Devam)

- Qui A., Liu L., Pang W., Lu X., Li C., 2011, Calculation of phase diagram of Ti-Ni-O system and application to deoxidation of TiNi alloy, *Trans Nonferrous Met. Soc. China* 21, 1808-1816.
- Sakamura Y., 2012, Determination of E–pO<sub>2</sub>– diagram for lanthanum in LiCl melt at 923 K, *Electrochimica Acta*, 80, 308–315.
- Sakai T., Oguro K., Miyamura H., Kuriyama N., Kato A., Ishikawa H. 1991. Some factors affecting the cycle lives of LaNi<sub>5</sub>-based alloy electrodes of hydrogen batteries, *Journal of the Less-Common Metals*, 161: 193-202.
- Schwandt, C., Doughty, G.R., Fray, D.J., 2010, The FFC-Cambridge process for titanium metal winning, *Key Engineering Materials*, 436, 13-25. 140
- Schwandt, C., Fray, D.J., 2005, Determination of the kinetic pathway in the electrochemical reduction of titanium dioxide in molten calcium chloride, *Electrochimica Acta*, 51, 1, 66–76.
- Schwandt, C., Fray, D.J., 2007, The electrochemical reduction of chromium sesquioxide in calcium chloride under cathodic control, *Zeitschrift für Naturforschung.*, 62, 655–670.
- Schwandt, C., Alexander D.T.L., Fray, D.J., The electro-deoxidation of porous titanium dioxide precursors in molten calcium chloride under cathodic potential control 2009, *Electrochimica Acta*, 54, 3819-3829.
- Sharma R.A., 1970, Solubilities of calcium in liquid calcium chloride in equilibrium with calcium-copper alloys, *Journal of Physical Chemistry*, 74, 3896-3900.
- Shi M., Li S., Zahao H., 2018 High Current Efficiency of NiO Electro-Reduction in Molten Salt, *Journal of the Electrochemical Society*, 165, 768-772.
- Slepiski P., Darowicki K., Kopczyk M., Sierczynska A., Andrearczyk K., 2010, Electrochemical impedance studies of AB<sub>5</sub>-type hydrogen storage alloy, *Journal of Power Sources*, 195, 2457–2462.
- Song Q., Xu Q., Li S., Qi Y., Ni Z., vd., 2015, Direct Electrolytic preparation of RENi<sub>5-x</sub>Al<sub>x</sub> (RE = La, Ce, Pr, and Nd) from rare-earth oxides in molten CaCl<sub>2</sub>-NaCl, *International Journal of Electrochemical Science*, 10, 175 – 184.

### **KAYNAKLAR DİZİNİ(Devam)**

- D.Sri Maha Vishnu,N.Sanil, v.d., 2015 Electrochemical reduction of TiO<sub>2</sub> powders in molten calcium chloride., *Electrochimica Acta*, 124-130.
- Suzuki R.O., Inoue S., 2003, Calclothermic reduction of titanium oxide in molten CaCl<sub>2</sub>, *Metallurgical and Materials Transactions B*, 34, 277-285.
- Tan S., 2011, Direct synthesis of hydrogen storage alloys from their oxides, PhD. Thesis, Middle East Technical University.
- Tang D., Yin H., Cheng X., Xiao W., Wang D., 2016 Green production of nickel powder by electroreduction of NiO in molten Na<sub>2</sub>CO<sub>3</sub>-K<sub>2</sub>CO<sub>3</sub>, *International journal of hydrogen energy*, 41, 18699-18705.
- Örs T., Tan S., Tayfur Ö., Karakaya İ., 2009, Synthesis of Fe-4.6 wt% B alloy via electro-deoxidation of mixed oxides, *Material Science* 44, 3514-3519.
- Threadgill W.D., 1965, The calcium chloride-calcium oxide fused salt electrolytic system: solubilities, metal contents, and freezing points, *Journal of Electrochemical Society*, 112, 632-633.
- Tliha M., Mathlouthi H., Lamloumi J., Percheron-Guegan A., 2007, AB<sub>5</sub>-type hydrogen storage alloy used as anodic materials in Ni-MH batteries, *Journal of Alloys and Compounds*, 436, 221–225.
- Tliha M., Boussami S., Mathlouthi H., Lamloumi J., Percheron-Guegan A., 2010, Electrochemical characteristics of AB<sub>5</sub>-type hydrogen storage alloys, *Journal of Alloys and Compounds*, 506, 559–564.
- Tripathy P.K., Gauthier M., Fray D., 2007, Electrochemical Deoxidation of Titanium Foam in Molten Calcium Chloride, *Metallurgical and Materials Transactions B*, 38B, 893-900.
- Vishnu, D.S., Sanil, N., Shakila, L., Pannerselvam, G., Sudha, R., vd., 2013. A study of the reaction pathways during electrochemical reduction of dense Nb<sub>2</sub>O<sub>5</sub> pellets in molten CaCl<sub>2</sub> medium, *Electrochimica Acta*, 100, 51–62.
- Vishnu, D.S., Sanil, N., Shakila, L., Pannerselvam, G., Sudha, R., Mohandas K.S., 2015, Electrochemical reduction of TiO<sub>2</sub> powders in mmolten calcium chloride, *Electrochimica Acta*, 159, 124-130.

### **KAYNAKLAR DİZİNİ (Devam)**

- Vishnu D.S.M., Sanil N., Mohandas K.S., 2017, Measurement of Counter Electrode Potential during Cyclic Voltammetry and Demonstration on Molten Salt Electrochemical Cells, International Research Journal of Pure & Applied Chemistry, 15(A), 1-13.
- Wallace W.E., Karllcek R.F., Imamura Jr., Imamura H., 1979, Mechanism of Hydrogen Absorption by LaNi<sub>5</sub>, The Journal of Physical Chemistry, 83, 1708-1712.
- Wang D., Jin X., Chen G.Z., 2008, Solid state reactions: an electrochemical approach in molten salts, Annual Reports on the Progress of Chemistry, Section C, 104, 189-234.
- Wang B.X., Bhagat R., Lan X.Z., Dashwood R.J., 2011, Production of Ni-35Ti-15Hf Alloy via the FFC Cambridge Process, Journal of The Electrochemical Society, 158, 595-602.
- Wang B., Liu K., Chen J., 2011, Reaction mechanism of preparation of titanium by electro-deoxidation in molten salt, Transaction of Nonferrous Metals Society of China, 21, 2327-2331.
- Wang D., Xiao W., 2013, Inert Anode Development for High-Temperature Molten Salts, molten Salts Chemistry from lab to applications, Elsevier, p173-p174.
- Wang Y., Zahoor M., 2012, Distinct synergistic effect in Ti0.10Zr0.15V0.35Cr0.10Ni0.30+1.0 wt.% LaNi<sub>5</sub> hydrogen storage composite electrode, International Journal of Hydrogen Energy, 37, 3276-3282.
- Ward R.G., Hoar T.P., 1961, The electrolytic removal of oxygen, sulfur, selenium and tellurium from molten copper, Journal of Institute of Metals, 6-12.
- Wenz D.A., Johnson I., Wolson R.D., 1969, CaCl<sub>2</sub>-rich region of the CaCl<sub>2</sub>-CaF<sub>2</sub>-CaO system, Journal of Chemical Engineering Data, 14, 250-252.
- Wronski Z.S., Materials for rechargeable batteries and clean hydrogen energy sources, International Materials Review, 2001, 46, 1-46.
- Xiao W., Jin X.B., Deng Y., Wang D.H., Chen G.Z., 2007, Three-phase interlines electrochemically driven into insulator compounds: A penetration model and its verification by electroreduction of solid AgCl, Chemistry – A European Journal, 13, 604-612.

## KAYNAKLAR DİZİNİ (Devam)

- Yan X.Y., Fray D.J., 2005, Electrosynthesis of NbTi and Nb<sub>3</sub>Sn superconductors from oxide precursors in CaCl<sub>2</sub>-based melts, Advanced Functional Materials, 15, 1757-1761.
- Yan, X.Y., Fray, D.J., 2009, Synthesis of niobium aluminides by electro-deoxidation of oxides, Journal of Alloys and Compounds 486, 154–161.
- Yin H., Gao L., Zhu H., Mao X., Gan, F., vd., 2011a. On the development of metallic inert anode for molten CaCl<sub>2</sub>-CaO system, Electrochimica Acta, 56, 3296–3302.
- Yin H. Y., Tang D. Y., Zhu H., Zhang Y., Wang D. H., 2011b, Production of iron and oxygen in molten K<sub>2</sub>CO<sub>3</sub>-Na<sub>2</sub>CO<sub>3</sub> by electrochemically splitting Fe<sub>2</sub>O<sub>3</sub> using a cost affordable inert anode, Electrochemistry Communications., 13, 1521-1524.
- Yuan B.Y., Kongstein O.E., Haarberg G.M., 2009, Electrowinning of iron in aqueous alkaline solution using a rotating cathode, Journal of Electrochemical Society, 156, 64-69.
- Zaistev A.I., Mogutnov B.M., 2001, Thermodynamics of Ca-CaO-CaF<sub>2</sub> System, Metallurgical and Materials Transactions B, 32, 305.
- Zhang J., Zhou G., Chen G., Latroche M., Percheron-Guegan A., 2008, Relevance of hydrogen storage properties of ANi<sub>3</sub> intermetallics (A = La, Ce, Y) to the ANi<sub>2</sub> subunits in their crystal structures, Acta Materialia, 56, 5388–5394.
- Zhang W., Zhu Z., Cheng C.Y., A literature review of titanium metallurgical process, 2011, Hydrometallurgy, 108, 177-188.
- Zhao B.J., Lu X.G., Li C.H., Zhong Q.D., 2009, Direct electrochemical reduction of NiO-CeO<sub>2</sub> powder for preparation of CeNi<sub>5</sub> alloy by solid-oxygen-ion conducting membrane process, Acta Metallurgica Sinica, 45, 1255.
- Zhao B., Lu X., Zhong Q., Li C., Chen S., 2010, Direct electrochemical preparation of CeNi<sub>5</sub> and La<sub>x</sub>Ce<sub>1-x</sub>Ni<sub>5</sub> alloys from mixed oxides by SOM process, Electrochimica Acta, 55, 2996–3001.
- Zhao J., Qu X., Qu J., Zhang B., Ning Z., Xie H., Zhou X., Xing P., Yin H., 2019, Extraction of Co and Li<sub>2</sub>CO<sub>3</sub> from cathode materials of spent lithium-ion batteries through a combined acid-leaching and electro-deoxidation approach, Journal of Hazardous Materials, 379, 120817.

**KAYNAKLAR DİZİNİ (Devam)**

Zhou X., Young K., West J., Regalado J., Cherisol K., 2013, Degradation mechanisms of high-energy bipolar nickel metal hydride battery with  $AB_5$  and  $A_2B_7$  alloys, Journal of Alloys and Compounds, 580, 373–377. 144

Zhu, Y., Wang, D., Ma, M., Hu, X., Jin, X., vd., 2007, More affordable electrolytic  $\text{LaNi}_5$ -type hydrogen storage powders, Chemical Communications, 2515-2517.

## ÖZGEÇMİŞ

